

NSRRによる混合酸化物燃料の破損挙動に関する組織観察

Observation of Structure on Mox Fuel
for Fuel Failure Behaviour Study in NSRR

1987年1月

動力炉・核燃料開発事業団

東海事業所

この資料は、動燃事業団の開発業務を進めるため、限られた関係者だけに配布するものです。従って、その取扱いには十分注意を払って下さい。なお、この資料の供覧、複製、転載、引用等には事業団の承認が必要です。

配付限定
PNC ~~SN~~8410 87-19
1987年 1月

NSRRによる混合酸化物燃料の破損挙動に関する組織観察

Observation of Structure on Mox Fuel
for Fuel Failure Behaviour Study in NSRR

増田純男^{*1} 山口俊弘^{*1} 深川節男^{*1}
千田茂久^{*1} 細金達哉^{*1} 石井照明^{*2}
磯崎明智^{*3}

要旨

目的

ATR実証炉燃料の安全性評価に役立てる。

方法

原研のNSRRで照射した燃料をプルトニウム燃料施設に搬入し、グローブボックス内において燃料棒の健全性、燃料ペレットの組織観察及び物性測定を行った。

結果

本試験の結果より破損しきい値は、①Puスポットなし：192cal/g・MOX～217cal/g・MOX、②φ400μm Puスポット付：218cal/g・MOX～238cal/g・MOX、③φ1100μm Puスポット付：218cal/g・MOX以上であることが推定できた。

結論

本試験の結果でφ1100μm以下のPuスポットは、Puスポットなし燃料及びφ400μmスポット付燃料の破損しきい値(cal/g・MOX)とに有意な差のないことを確認した。

*1 プルトニウム燃料部 品質管理課
*2 " 非破壊検査(機)
*3 " 検査開発(機)

目 次

1. 試験概要	1
2. 試験試料	2
2.1 燃料仕様と製造データ	2
2.2 照射条件	3
3. 組織観察と物性測定	4
3.1 観察・測定項目及び内容	4
3.2 観察・測定結果	4
3.2.1 内部カプセル	4
1) 外観検査	4
2) 内部ガス圧力	4
3.2.2 燃料棒	4
1) 外観検査	4
2) 寸法・重量測定	6
3) エックス線透過検査	8
3.2.3 ペレット及び被覆管	8
1) 金相試験	8
2) 硬度測定	13
3) α オートラジオグラフィー測定	14
4) Pu分布測定	14
4. 供試体の照射後に於ける放射線量率推移	16
4.1 測定方法	16
4.2 測定結果	16
5. まとめ	17
5.1 内部カプセル及び燃料棒	17
5.2 燃料ペレット	18
5.3 Puスポット	18
5.4 被覆管	19
6. 謝辞	20
付表	84

1. 試験概要

NSRR (Nuclear Safety Research Reactor) を利用しての混合酸化物燃料の破損挙動観察に関する動燃と原研との共同研究は、昭和54年度よりスタートした。

昭和54年度～55年度の4回のウラン燃料による予備試験を経て、55年度から第1次照射試験を開始した。

試験は、55年度～56年度に試験計画及び照射燃料の製造、56年度～57年度にPWR標準燃料と同一形状のもの10本の照射試験を行った。57年度～58年度のPIE (Post Irradiation Examination) によりMOX燃料の破損しきい値は 250～256cal/g・MOX の間にあることを確認した。58年度からは第2次照射試験を開始した。本シリーズの試験は、ATR実証炉型仕様燃料棒12本 [Puスポットなし、Puスポット付 ($\phi 400$, $\phi 1100 \mu m$)] を照射するものである。

試験は、58年度に照射試験計画及び照射燃料の製造、58年度～60年度に照射試験を行い、59年度～61年度にPIEを実施した。PIEでは、内部カプセルの外観検査及び寸法検査を行った。燃料棒については、外観検査、寸法検査及びエックス線透過検査を行い、ペレットについては、金相試験、 α オートラジオグラフィー及びPu分布測定を行った。被覆管については、外観検査、金相試験及び寸法検査を実施した。

また、燃料ペレットの燃焼度分析については、動燃で試料採取を行い原研へ送り、同施設内で実施した。

本報告書は、第2次照射試験のPIE観察結果をまとめ報告するものである。

2. 試験試料

2.1 燃料仕様と製造結果

1) ATRサイズMOX燃料

第2次照射試験に供した試験体は、新型転換炉(ATR)実証炉に装荷される燃料と同一仕様の燃料である。

本照射試験燃料の主な寸法と原料粉の分析結果を以下に示す。

ペレット直径 $\phi 12.40 \pm 0.03$ mm

被覆管外径 $\phi 14.50 \pm 0.03$ mm

被覆管肉厚 0.9 mm

燃料有効長 117 ± 1 mm

$10\% U^{235} - 10\% Pu$ 95% T. D.

原料粉

Pu同位体組成 : Pu-238 0.44%

Pu-239 73.31%

Pu-240 18.35%

Pu-241 6.25%

Pu-242 1.65%

Am-241 3100ppm

Pu fissile : 79.56% (分析日: 1979.7)

Table 1にNSRR第2次照射試験燃料仕様を示す。

上記仕様は、燃料有効長を除いてはATR実証炉と同一であり、Fig 1にNSRR第2次照射試験燃料棒図(Puスポットなし)を示す。尚、燃料発熱部の両端の二酸化天然ウランペレットは、エッジ効果による燃料の両端部における出力ピーキングを抑えるため設けてある。また、燃料中のプルトニウム含有量については、NSRR最高装荷制限値に従い10%Puとした。

2) ATRサイズPuスポット付MOX燃料

本燃料は、上記(1)と同一仕様でPuO₂濃度100%のPuスポットを燃料ペレット表面の軸方向中心に $\phi 400 \mu m$ Pu、若は $\phi 1100 \mu m$ Puを各燃料ペレットに1個人工的に付着させ合計9個のPuスポットを設けた燃料棒である。

Fig 2にNSRR第2次照射試験燃料棒図(Puスポット付)をTable 1にNSRR

R 第 2 次照射試験燃料仕様を示す。

(i) 燃料製造データ

第 2 次照射試験分 MOX 燃料棒 12 本 (Pu スポットなし : 5 本、 $\phi 400 \mu\text{m}$ Pu スポット付 : 4 本、 $\phi 1100 \mu\text{m}$ Pu スポット付 : 3 本) は、 プルトニウム燃料部設計開発課で製造した。付表にペレット重量・燃料棒の全長及び重量を示す。

(詳述は S N 841 -84-32 参照)

燃料棒の計装としては、 熱電対を被覆管表面に溶着した。溶着位置は、 燃料棒中央部同一位置の 180° 2 方向、 下部側に一側面 (燃料棒番号刻印側) である。付表 2 にスケール・ルーペで測定した熱電対取付け位置の測定値を示す。

2. 2 照射条件

NSRR に於ける MOX 燃料照射試験は、 カプセルとしては、 2 重構造のカプセルを用い、 内部カプセルに試験燃料 1 本を所定の位置に支持した後、 内部カプセル内容積の約 80 % に純水を注入した。内部カプセルは、 NSRR 炉心の照射孔を通じ炉心の中央実験孔に装荷され、 種々の出力パルスで照射された。 Fig 3 に NSRR の炉心全体の概略図を、 Fig 4 には NSRR に装荷する照射カプセル構造図を示す。

照射カプセルには、 燃料棒の表面温度を計測するための熱電対、 内部カプセルの水温及び圧力等を測定するために必要な熱電対並びに圧力計が取付けられた。

照射終了後、 試験燃料棒は、 カプセルのまま F. P. を減衰させる目的で一ヶ月程度冷却された。

冷却後、 諸手続きを踏まえ試験・測定のため、 プルトニウム燃料第一開発室に搬入された。

Table 2 に NSRR 第 2 次照射試験内容一覧表を、 Table 3 に $\text{PuO}_2 - \text{UO}_2$ 燃料に対する NSRR 試験結果の概要を示す。

3. 組織観察と物性測定

3.1 観察・測定項目及び内容

N S R Rにおいて照射され約一ヶ月程度の冷却期間を経た試験体のうち、外部容器である標準水カプセルはN S R R試験内の解体セルで解体された。

内部カプセルについては、P M O X - 2型輸送容器に輸送物として梱包し、プルトニウム燃料部の施設内に搬入した。内部カプセルは、プルトニウム燃料部で解体し、照射済燃料棒を取り出して種々の照射後試験検査を行った。照射後試験検査項目と内容をTable 4に、また、N S R R照射後試験検査フローをFig.5に示す。

燃焼度分析試験は、試験番号702-01及び702-02のM O X燃料より、下部側からペレットNo.2、No.5、No.8の中央部から試料を採取し、細かく碎き、そこからサンプル各約1 gを採取して、サンプル瓶に入れて原研へ輸送し同施設内で試験検査を実施した。

照射後試験終了後の燃料ペレットは、塊状にして核物質貯蔵庫へ保管した。内部カプセルについては、放射性不燃物としてビニル梱包し、放射性固体廃棄物貯蔵庫へ保管した。

3.2 観察・測定結果

3.2.1 内部カプセル

1) 試験番号702-01～702-12を通じ、内部カプセルの内・外面共、照射の影響と思われるような顕著な形状変化、変色、着色は無い。

2) 内部ガス圧力

試験番号702-01～702-12について、内部ガス圧力を測定した。これはZrの水反応に起因する内部圧力上昇を期しての事であるが、初期値 $1\text{ kg}/\text{cm}^2$ であるのに對し、702-03($2.8\text{ kg}/\text{cm}^2$)、702-04($1.2\text{ kg}/\text{cm}^2$)、702-08($2.8\text{ kg}/\text{cm}^2$)であり、これら以外のカプセルについては、全て $1.0\text{ kg}/\text{cm}^2$ 以下であった。

3.2.2 燃料棒

目視及びマクロ写真撮影により、燃料棒の外観検査を行った。

以下、試験番号順に観察結果を示す。

1) 外観検査

• 試験番号 702-01

被覆管は破損及び変形もなく健全な状態を保っていたが、燃料棒有効長全域に

亘り黒色に変色していた。特に下部側の一部には、周方向にはく離が見られた。

この試験の発熱量は178cal/g・MOXであった。

- 試験番号 702-02

被覆管は破損及び変形もなく健全な状態を保っていたが、有効長全域に亘り斑点状に褐色に変色しており、一部下部側に黒色の変色領域が見られた。この試験の発熱量は133cal/g・MOXであった。

- 試験番号 702-03

被覆管は、破損（下部側肩管から約28mm、間口10mm）しており、MOX燃料の有効長全域に亘り黒色に変色していた。上部プレナム部にも一部褐色に変色しているのが見られた。更に破損部近傍には幅10mmのはく離及び局部的変形があった。また、燃料棒は破損部を頂点にして少し「くの字形」に曲がっていた。T/Cは3本が外れていて取付け部が貫通し、内部ペレットが見えた。この試験の発熱量は243cal/g・MOXであった。

- 試験番号 702-04

被覆管は、破損（下部側肩管から約30mm、間口7mm）していて、MOX燃料有効長全域に亘り黒色に変色している（一部変色無）とともに、はく離も見られた。

破損箇所は試験番号 702-03とほぼ一致している。この試験の発熱量は193cal/g・MOXであった。

- 試験番号 702-05

燃料棒は、中央部の熱電対取付け位置より下部側へ10mmの所を頂点に大きく曲がり（約5mm～7mm）、被覆管全体も変色（一部未変色箇所有）していた。熱電対の取付け状態も良好であった。この試験の発熱量は192cal/g・MOXであった。

- 試験番号 702-06

被覆管は、有効長全域に亘り黒色に変色していた。変色の程度は、試験番号702-01よりやや進んでいた。この試験の発熱量は192cal/g・MOXであった。

- 試験番号 702-07

被覆管は、有効長全域に亘り黒色に変色していた。また、下部側（肩管）より34mmの所で全周に膨らみが見られ、更に、はく離もあったことから破損寸前の状態と思われた。この試験の発熱量は217cal/g・MOXであった。

- 試験番号 702-08

被覆管は、破断しその周りに局部的変形があった。上部プレナム部近傍にも内圧による膨れがあり亀裂が生じていた。尚、この破断部は試験番号702-03, 702-04の破損部の位置とほぼ一致している。また、破断部のペレット（約1mm～5mm角程度の大きさ）が内部カプセル内に落ちていた。被覆管全体は、有効長全域に亘り黒色に変色（一部上部プレナム部にも有）していた。T/C取付け状態は、中央部のT/C取付け部に径方向に亀裂が生じていて、同取付け部2箇所は貫通し内部ペレットが見えた。この試験の発熱量は238cal/g・MOXであった。

- 試験番号 702-09

被覆管は、有効長全域に亘り黒色に変色していた（下部側肩管より50mmの位置に未変色箇所有）。また、下部側肩管より約50mmの所を頂点として数mm程度ではあるが、燃料棒が「くの字形」に曲がっていた。この試験の発熱量は218cal/g・MOXであった。

- 試験番号 702-10

被覆管は、有効長全域に亘り黒色に変色し、下部側に幅約5mm程度のはく離も見られた。これらの変色は試験番号702-06より進んでいた。この試験の発熱量は178cal/g・MOXであった。

- 試験番号 702-11

被覆管は、有効長全域に亘り黒色に変色し、下部プレナム部（I. P部）も一部変色していた。また、下部側にははく離も見られた。この試験の発熱量は198cal/g・MOXであった。

- 試験番号 702-12

被覆管は、有効長全域に亘り黒色に変色し、下部プレナム部も一部変色していた。また、下部側に熱影響と思われる膨れがあり幅2mmのはく離が周方向に見られた。この試験の発熱量は218cal/g・MOXであった。

2) 寸法・重量測定

イ) 寸法

プロフィロメータを用い照射後の燃料棒について、外径、曲がり測定及び母線トレース（外表面変形形状）を行った。使用したプロフィロメータは、He-Neのガスレーザ光で定格出力1mwのレーザ光線を被測定物に1000回／秒

の走査線により走査し測定する。

- 測定可能領域 30mm (レーザ走査幅)

- 測定範囲 (精度)

外径測定 : 10~20mm ($\pm 5 \mu\text{m}$) 再現性 $\pm 3 \mu\text{m}$

曲がり測定 (中心軸位置) : 0~ $\pm 4 \text{ mm}$ ($\pm 25 \mu\text{m}$)

再現性 $\pm 15 \mu\text{m}$

母線トレース (端面位置) : 0~ $\pm 15 \text{ mm}$ (変形量の $\pm 1\% \pm 25 \mu\text{m}$)

- 外径測定

照射後の燃料棒について、燃料棒上部側より 66mm の点 (上部インシュレータペレット付近) より 120mm の範囲を 10mm 毎に外径を測定し、更に燃料棒の偏心量を調べるため燃料棒を 0° , 45° , 90° , 135° 等と種々に回転させて外径を測定した。Fig 6 (1)~(11) に照射前・後外径測定結果を試験番号毎に示す。

ただし、試験番号 702-03 については、マイクロメータで測定し、702-08 については、測定前に破断していたため測定出来なかった。外径測定に関し全体を通じて言えることは、下部側に径の増加が見られた。

- 曲がり測定

照射後の燃料棒について、120mm の測定範囲中の曲がり測定を行った。Table 5 に燃料棒曲がり測定結果を示す。この測定データは、次図のチャートより読み取ったもので Fig 7 (1)~(10) に照射後の曲がりプロフィールを試験番号毎に示す。

- 母線トレース (外表面変形形状)

照射後の燃料棒の外表面変形形状を、120mm の範囲について観察した。Fig 8 (1)~(5) に照射後の外表面変形形状を示す。本トレースはペレット有効長 (120mm) 部について表面形状を プロフィロメータによりトレースしたもので、発熱量の増加に伴い膨れ、曲がりが発生し、その膨れが下部側に集中している。

- 重量測定

照射前・後の燃料棒について重量測定を行った。その測定値を付表 3 に照射前・後に於ける燃料棒重量差と共に示す。

破損等で燃料棒の中の水等が混入したこと…の理由から良い結果は得られない。照射前・後に於ける燃料棒重量差を被覆管温度の順に図示すれば Fig 9 の

様になる。

- γ スキャン

今回、試験番号702-04の燃料棒を用いて γ スキャンを実施した。その結果、エンドピークの高さは上・下端とも同じで、いずれもMOXペレットとUO₂ペレットの境界が最も高い。この傾向は、通常の照射でも見られるものと同じである。また、軸方向フラックスは、エンドピーク部を除いてほぼ平坦であることがわかる。エンドピーク部と比較して1.5～2.0倍の範囲内である。

Fig10に燃料ピンの γ スキャン測定結果を示す。

現在のパルス出力については、エンドピーキング効果も考慮していないが、破損しきい値評価の精度を向上させるためには、この効果を考慮する必要がある。

3) エックス線透過検査

照射後の燃料棒について、エックス線発生装置の管球電圧180～250KVp、管球電流5～10mAの条件でエックス線撮影を行った。試験番号702-08は、燃料棒が破断しており復元が非常に難しいため2分割になっている。

エックス線撮影の観察結果をTable 6に示す。

表に示す様に低発熱量領域では、燃料等に変化、変形が見つからないが、発熱量が178cal/g・MOX（試験番号702-01, 702-10）になると、ペレットの移動、ペレット破損等がエックス線フィルム上から観察できた。

3.2.3 ペレット及び被覆管

1) 金相試験

イ) 試料調整

金相試験観察試料は、試験番号702-01～702-12までの各々の燃料棒からペレット・被覆管5断面を選定し切削・埋込み・研磨・エッチング・観察の手順で処理した。

切削には、ダイヤモンドカッタを用い目的とする試料位置より切削採取し、エポキシ樹脂によってフェノール樹脂リング（1¼インチ）内に埋込まれた。

その試料は、自動回転研磨機（#600使用）により粗研磨し、ポリッシングディスクとポリッシングダイヤ液によって研磨面を仕上げた。

Table 7に研磨条件を示す。

仕上げ研磨を終えた試料は、四塩化炭素中で超音波洗浄後十分に乾燥させ As Polished(研磨面) の状態で観察し、更に燃料を電解腐食し As Etched (研磨面) の状態で観察した。尚、被覆管の As Etched の状態観察は、化学的に腐食させて行った。また、Pu分布測定に用いるElectron Probe Micro-analyzer (以下EPMAと記す) 試料の調製としては、カーボン蒸着に試料表面の導電処理を行った。

Table 8 に試料の電解腐食と化学腐食及び導電蒸着条件を示す。

ロ) 光学顕微鏡観察

光学顕微鏡観察では、被覆管とペレットの半径残留ギャップ、ペレットの平均結晶粒径、被覆管の平均結晶粒径、被覆管の熱影響に起因する変態相厚(酸化被膜厚)の測定及びペレット全体像の観察を行った。

以上の測定、観察項目は研磨面(As Polished)と腐食面(As Etched)により観察され、研磨面については、万能投影機によるマクロ観察(12.06倍)と高倍率顕微鏡によるミクロ観察(194.6倍)を行い、更に細い様相を知るために腐食面について高倍率顕微鏡により426.6倍の金相面観察を行った。

Fig11にペレット及び被覆管の結晶粒径測定点略図を、付表5(1)~(2)にペレット及び被覆管の結晶粒径測定値を示す。

ハ) 金相試験観察結果

- 試験番号 702-01

ペレットNo.1, No.2, No.5, No.8の試料について観察した。

各ペレット共中心を通る太いクラックにより2分割され、更に数本のクラックにより細分割されている。また、ペレット周辺部には細かいクラックが多数入っていた。(ペレットNo.8には円周方向にもクラックが走っていた。)

各ペレットのボイド分布は特に異常が見られない。また、この照射条件に於いてのペレット-被覆管の半径残留ギャップは、平均で約490μmであった。

各ペレット全体の平均結晶粒径は8μm程度であり、ペレットの軸方向及び径方向の位置の違いによる有意差は見られない。また、被覆管のエッティング面には全体平均95μmの結晶粒径が観察された。被覆管の酸化被膜厚は平均で約6μmであった。

• 試験番号 702-02

ペレット No. 1, No. 2, No. 5, No. 8, No. 9 の試料について観察した。

各ペレット共太いクラックにより 2 分割され、数本のクラックにより細分割されている。また、ペレット周辺部にも細かいクラックが多数入っているのが見られた。各ペレットのボイド分布は、特に異常が見られない。この照射条件に於いてのペレット一被覆管の半径残留ギャップは、平均で約 $50 \mu m$ であった。

各ペレット全体の平均結晶粒径は $12 \mu m$ 程度であり、被覆管の酸化被膜厚は平均で約 $1 \mu m$ 程度であった。

• 試験番号 702-03

ペレット No. 1, No. 2, No. 5, No. 8, No. 9 の試料について観察した。各ペレット共中央を通る太いクラックにより 2 分割され、更に数本のクラックで細分割されていた。また、ペレット周辺部には細かいクラックが多数入っており、溶融状態に達したと思われる跡が見られた。ボイド分布形状については、円形ポアが周辺部に多く見られた。この照射条件に於いてのペレット一被覆管の半径残留ギャップは平均で約 $170 \mu m$ であり被覆管の酸化被膜厚は $41 \mu m$ であった。

各ペレット全体の平均結晶粒径は $11 \mu m$ 程度であり、被覆管のエッチング面には全体平均 $180 \mu m$ の結晶粒径が観察された。

• 試験番号 702-04

ペレット No. 1, No. 2, No. 5, No. 8, No. 9 の試料について観察した。

各ペレット共中央を通る太いクラックにより 2 分割され、更に数本のクラックで細分割されていた。また、ペレット外周部にも細いクラックが見られた。

ペレット No. 1, No. 5 は溶融状態に達したと思われる跡が見られ、No. 5 は、ボイドが外周部に集合している。No. 1 は被覆管にもクラックが軸方向に走っていた。

この照射条件に於いてのペレット一被覆管の半径残留ギャップは、平均で約 $85 \mu m$ であり、被覆管の酸化被膜厚は平均で約 $21 \mu m$ 程度であった。

各ペレット全体の平均結晶粒径は約 $9 \mu m$ 程度で、被覆管のエッチング面

には全体平均 $115 \mu\text{m}$ の結晶粒径が観察された。

• 試験番号 702-05

ペレット No. 1, No. 2, No. 5, No. 8, No. 9 の試料について観察した。

各ペレット共中央を通る太いクラックにより 2 分割され、更に数本のクラックで細分割されている。また、ペレット外周部にもクラックが見られた。

ペレット No. 2 は周方向にクラックが走っている。

ボイド分布は外周部に多く見られた。この照射条件に於いてのペレット一被覆管の半径残留ギャップは平均で約 $110 \mu\text{m}$ であり、被覆管の酸化被膜厚は平均で約 $2 \mu\text{m}$ であった。

各ペレット全体の平均結晶粒径は $7 \mu\text{m}$ 程度であり、被覆管のエッチング面は、全体平均 $58 \mu\text{m}$ の結晶粒径が観察された。

• 試験番号 702-06

ペレット No. 1, No. 2, No. 5, No. 8, No. 9 の試料について観察した。

各ペレット共中央を通る太いクラックにより 2 分割され、更に数本のクラックで細分割されていた。特に、ペレット No. 1 はペレット中央のクラック内に溶融状態に達したと思われる跡が帶状になって現れていた。

ボイド分布、形状については、ペレット外周部に多く見られた。この照射条件に於いてのペレット一被覆管の半径残留ギャップは平均で約 $130 \mu\text{m}$ であり、被覆管の酸化被膜厚は平均約 $4 \mu\text{m}$ であった。

各ペレット全体の平均結晶粒径は $6 \mu\text{m}$ 程度であり、被覆管のエッチング面は、全体平均 $80 \mu\text{m}$ の結晶粒径が観察された。

• 試験番号 702-07

ペレット No. 1, No. 2, No. 5, No. 8, No. 9 の試料について観察した。

各ペレット共中央を通る太いクラックにより 2 分割され、更に数本のクラックで細分割されていた。特に、ペレット No. 1 は溶融状態に達したと思われる跡があり、被覆管にもクラックが生じ、燃料棒が破損寸前の状態であった。

ボイド分布、形状については、ペレット外周部に多く見られた。この照射条件に於いてのペレット一被覆管の半径残留ギャップは平均で約 $200 \mu\text{m}$ であり、被覆管の酸化被膜厚は平均で約 $16 \mu\text{m}$ 程度であった。

各ペレット全体の平均結晶粒径は $8 \mu\text{m}$ 程度であり、被覆管のエッチング

面には、全体平均 $105 \mu m$ の結晶粒径が観察された。

• 試験番号 702-08

ペレット No. 1, No. 2, No. 5, No. 8, No. 9 の試料について観察した。

各ペレット共中央を通る太いクラックにより 2 分割され、更に数本のクラックで細分割されていた。特に、ペレット No. 2 は被覆管が変形し、しかも一部被覆管が溶けてペレット内に流入している。細かいクラックが周方向に密集していた。

ペレット No. 5 は被覆管が溶けている。

ボイド分布状態については、外周部に多く見られた。この照射条件に於いてのペレット一被覆管の半径残留ギャップは平均で約 $50 \mu m$ であり、被覆管の酸化被膜厚は平均で約 $22 \mu m$ であった。

各ペレット全体の平均結晶粒径は $10 \mu m$ 程度であり、被覆管のエッチング面には、全体平均 $160 \mu m$ の結晶粒径が観察された。

• 試験番号 702-09

ペレット No. 1, No. 2, No. 5, No. 8, No. 9 の試料について観察した。

各ペレット共中央を通る太いクラックにより 2 分割され、更に数本のクラックで細分割されていた。全体に僅ではあるが周方向に溶融状態に達したと思われる跡が見られた。ボイド分布状態については、ポアが外周部に多く見られた。

この照射条件に於いてのペレット一被覆管の半径残留ギャップは平均で約 $200 \mu m$ であり、被覆管の酸化被膜厚は平均で約 $4 \mu m$ であった。

各ペレット全体の平均結晶粒径は $7 \mu m$ 程度であり、被覆管のエッチング面には、全体平均 $75 \mu m$ の結晶粒径が観察された。

• 試験番号 702-10

ペレット No. 1, No. 2, No. 5, No. 8, No. 9 の試料について観察した。

各ペレット共中央を通る太いクラックにより 2 分割され、更に数本のクラックで細分割されていた。特に、ペレット No. 8 では実際に埋込んだ約 $\phi 900 \mu m$ 程度の Pu スポットが確認されている ($\phi 1100 \mu m$ Pu スポット付)。

そのスポット部には、縦方向に細かいクラックが走っていた。ボイド分布状態については、ポアが外周部に多く見られた。この照射条件に於いてのペ

レットー被覆管の半径残留ギャップは平均で約 $60\text{ }\mu\text{m}$ (Puスポット部: $40\text{ }\mu\text{m}$) であり、被覆管の酸化被膜厚は平均で約 $8\text{ }\mu\text{m}$ (Puスポット側で $6.3\text{ }\mu\text{m}$) であった。

各ペレット全体の平均結晶粒径は $5\text{ }\mu\text{m}$ 程度であり、被覆管のエッティング面には、全体平均 $95\text{ }\mu\text{m}$ の結晶粒径が観察された。

- 試験番号 702-11

ペレット No. 1, No. 2, No. 5, No. 8, No. 9 の試料について観察した。

各ペレット共中央を通る太いクラックにより 2 分割され、更に数本のクラックで細分割されていた。ボイド分布は、ポアが外周部に多く見られた。

この照射条件に於いてのペレットー被覆管の半径残留ギャップは平均で約 $105\text{ }\mu\text{m}$ であり、被覆管の酸化被膜厚は平均で約 $7\text{ }\mu\text{m}$ であった。

各ペレット全体の平均結晶粒径は $6\text{ }\mu\text{m}$ 程度であり、被覆管のエッティング面には、全体平均 $100\text{ }\mu\text{m}$ の結晶粒径が観察された。

- 試験番号 702-12

ペレット No. 1, No. 2, No. 5, No. 8, No. 9 の試料について観察した。

各ペレット共中央を通る太いクラックにより 2 分割され、更に数本のクラックで細分割されていた。特に、ペレット No. 1 は周方向及び帯状(ペレット中央よりやや被覆管側)に溶融状態に達したと思われる跡が見られた。ボイド分布・形状については、円形ポアが周方向に多く見られた。

この照射条件に於いてのペレットー被覆管の半径残留ギャップは平均で約 $18\text{ }\mu\text{m}$ であり、被覆管外面の酸化被膜厚(平均で約 $8\text{ }\mu\text{m}$)。

各ペレット全体の平均結晶粒径は $10\text{ }\mu\text{m}$ 程度であり、被覆管のエッティング面には、全体平均 $110\text{ }\mu\text{m}$ の結晶粒径が観察された。

Fig15(1)～(2)に燃料ペレット結晶粒径分布の(半径方向)をまとめて示す。

2) 硬度試験

金相試験に供した被覆管について硬度測定を行った。測定点は Fig12 の硬度測定点略図に示すように試料番号を基準とし、断面 4箇所の外側、中心、内側の各々 5 点づつ測定した。測定荷重(圧痕荷重)は 500 g とした。測定値は付表 6(1)～(10)に被覆管硬度測定値、及び Fig13(1)～(4)の試験番号毎の硬度グラフに示す様に発熱量の増加に伴い、ビッカース硬度も増す傾向が見られた。

3) α オートラジオグラフィー測定

金相試験に供した燃料ペレットと同一試料について、 α オートラジオグラフィーによるPuスポット、Uスポットの測定を行った。

この測定方法は、現在多用しているニトロセルロース法によるもので、ペレット観察面を研摩した後、ニトロセルロースフィルムに密着させ、ペレットよりの α 放射線損傷を受けたフィルムをNaOHによりエッティングし、そのフィルムの拡大写真を観察し測定するものである。

Table 9 に試験番号702-01～701-12までの照射後Puスポット測定結果を示す。

4) Pu分布測定

諸条件で照射を行った燃料体について、被覆管とペレットの相互作用及びPuのペレット径方向の挙動を調べるためにPu、Zrの拡散状態、分布状態についてEPMAを用いて観察した。

イ) 試料調製

照射済燃料棒(702-03, -05, -09, -10, -11)の下部(MOX燃料部)に相当する位置から、試料を採取(金相試験試料と共に)した。また、EPMA試料の前処理としては、試料表面の導電性処理(帯電防止)が必要であり試料表面処理装置によりカーボン蒸着を行った。

蒸着条件についてはTable 8 電解腐食・化学腐食及び導電蒸着条件に示す。

ロ) 観察結果

試験番号702-03, -05, -09, -10, -11(ペレットNo.1のみ)

i) 特性エックス線像によるPu分布観察

ペレット及び被覆管の間には、多少ではあるがPuの濃度の高い部分が見られ、試験番号702-03及び702-09の被覆管表面にはPuの付着層(約5 μm程度)が認められた。

ii) エックス線分析によるPu分布及びPuのエックス線強度とペレットの結晶粒径の関係

エックス線分析によりPu分布の観察をした。

また、Puのエックス線強度とペレットの結晶粒径との関係について調べたところ、Puのエックス線強度の高い所は、ペレットの結晶粒径も大きかった。Fig14(1)～(5)にPuのエックス線強度と結晶粒径の関係を示す。ただ

し、試験番号702-10については、ペレット中心付近の試料が破損していたため結晶粒径が観察できなかった。

4. 供試体の照射後に於ける放射線量率推移

4.1 測定方法

照射後燃料の放射能強度、 γ 放射能の経時変化を調べるために、燃料体の放射線量率の測定を行った。

放射線量率の測定は大別して、ビニルバッグで包装した状態での内部カプセル、グローブボックス内で開梱後の燃料棒及びビニルバッグでシール後の燃料である。

測定対象の放射線量率に寄与する主な放射体は、燃料体中のMOX燃料、照射に起因するF、P、構造材中の放射化物質等と考えられる。

測定器は、 γ 線用電離箱サーベイメータの主な仕様を記す。

(イ) 検出放射能 γ 線(X線)

(ロ) 測定範囲 指示目盛 $0 \sim 1 \text{ mR/h}$

(レンジ X 1、X 10、X 100、X 1000)

(ハ) 校正線源 $^{220}\text{Ra} + \text{D} + \text{E}$ 校正線源

(二) 検出器 電離箱、窓厚5mm(ベーカライト)

4.2 測定結果

照射後に於ける燃料体の放射線量率をTable 10に示す。また、各測定点に於ける放射線量率を付録7(1)~(2)に示す。

大略、推定発熱量の増加に伴い放射線量率が増す傾向にある。

5. まとめ

NSRR第2次照射試験は、プルトニウムーウラン混合酸化物燃料の破損挙動、及び破損しきい値を調べる。また、プルトニウム・スポットの大きさが、燃料破損に及ぼす影響を調べ安全性評価に役立てる目的に、ATR実証炉型仕様燃料ピン12本（Puスポットなし：5本、Puスポット付 $\phi 400\mu m$ ：4本、Puスポット付 $\phi 1100\mu m$ ：3本）を用いて行った。

以下に、今まで行った照射後試験結果を発熱量についての関係を中心にして検査項目順にまとめる。

5.1 内部カプセル及び燃料棒

1) 内部カプセル

発熱量の増加に従い、ジルコニウム水反応により、カプセル内のガス圧が増大（今回の試験では、最高 2.8 kg/cm^2 ：試験番号702-03、-08）する傾向にある。

外観・寸法上は何等変化無し。

2) 燃料棒

(イ) 外観

photo 1に燃料ピン外観の発熱量依存性を示す。燃料ピンは、外表面もはく離現象を呈し、更に発熱量が高くなると亀裂が生じ破壊に至る。試験番号702-03（発熱量 $243\text{ cal/g \cdot MOX}$ ）及び702-04（発熱量 $217\text{ cal/g \cdot MOX}$ ）は破損、同じく702-08（発熱量 $238\text{ cal/g \cdot MOX}$ ）は破断していた。

(ロ) 寸法

発熱量の増加に伴い外径変化が増す。その変化量も下部側へ行くに従って大きく変化していた。

(ハ) エックス線透過観察結果

発熱量の増加に伴い、ペレット有効長におけるスタック長さも、ペレットの力ヶ等により伸びが生じていた。

(二) 照射後に於ける燃料体の放射線量率は、照射量の増加に伴い高い放射線量率を示す傾向にある。

5.2 燃料ペレット

燃料ペレットの観察として、クラック、ポア、結晶粒径について行った。

燃料ペレットのクラックについては、中心を通る太いクラックにより分断され、更に熱応力が働き内側から外側へ細かなクラックが見られた。ボイド分布、形状の観察からはポアの有無が見られポアの形状としては、円型ポアが多く見られた。

ペレットの結晶粒径については、発熱量の増大に伴い成長が見られる。径方向での結晶粒径について見ると、周辺部は内側に比べて小さくなっている。また、燃料中央部から中間部にかけては、急激な粒成長は見られなかった。photo 2 燃料棒断面金相の発熱量依存性（マクロ）、及びphoto 3(1)～(2)にペレット結晶粒径の発熱量依存性（ミクロ）について試験試料の代表を示す。

5.3 Puスポット

試験の結果から、 $\phi 400 \mu\text{m}$ のPuスポット付燃料の破損しきい値は $218 \sim 238 \text{ cal/g} \cdot \text{MOX}$ の範囲内にあり、 $\phi 1100 \mu\text{m}$ のPuスポット付燃料の破損しきい値は $218 \text{ cal/g} \cdot \text{MOX}$ 以上にあることが確認できた。これらの値は、Puスポットなし燃料の破損しきい値 $192 \sim 217 \text{ cal/g} \cdot \text{MOX}$ とその差はないものと思われる。また、702-10に於いて実際に埋込んだPuスポット($899 \mu\text{m}$)が観察され、スポット部と隣接している被覆管への影響を見るとPuスポットなし燃料と比較しても特異な差はない。

しかし、燃料はPuを埋込んだ部分に特異な変化が見られた。燃料製造時に於いて、Puを埋込むために側面穴を開けているが、この部分はほぼ α オートラジオグラフィーで黒色に観察される部の大きさであったが、金相での観察では、その部分は燃料によって埋まっている。

これは、瞬間にPuスポット部が高温となり、溶融を起こして周辺の燃料と結合し、球状のボイドとなって残ったものと思われる。

この詳細な挙動については、今後設計開発課で実施する解析により解明されるものと思われる。

全面金相写真をPhoto6に示し、 α オートラジオグラフィーの結果をPhoto7に示す。またPuスポット部の拡大金相写真をPhoto8に示す。

以上のことから、 $\phi 1100 \mu\text{m}$ までの大きさのPuスポットの燃料破損に及ぼす影響は、

本実験からでは、Puスポット周辺の燃料挙動に若干の違いはあるものの燃料要素としてその違いはなく、破損しきい値以下の燃料ピンは全て健全であった。

5.4 被 覆 管

被覆管について、結晶粒径、 ZrO_2 の酸化被膜厚及び硬度の観察、測定を行った。結晶粒径は、被覆管表面温度が高くなるに従がい大きくなり、酸化被膜厚は、被覆管表面温度が約 1000°C 程度から確認でき、その厚さも被覆管表面温度の上昇に従がい厚い相を形成している。photo 4 に被覆管結晶粒径の発熱量依存性（ミクロ）について試験試料の代表を示す。

また、マイクロビックカース硬度計を用い、500 g の圧痕荷重により照射後の被覆管横断面（外側、中心、内側の各々 20 点）の硬度測定を行い発熱量が増加するに従がい高い硬度を示すことが確認できた。

6. 謝　　辞

本試験の遂行にあたり、管理課、設計開発課及び放射線管理第1課の皆様には輸送、照射後試験計画及び被ばく管理等について、御協力をいただき感謝の意を表します。

Table 1 NSRR第2次照射試験燃料仕様

プルトニウム-ウラン混合酸化物燃料ペレット

- (1) 形 状 : 円筒型 ; ディッシュ&チャンファ付 (体積率 0.9%)
 (2) 尺 法 : 直 径 ; $\phi 12.40 \pm 0.03$ mm
 高 さ ; 13.00 ± 1.00 mm
 (3) 性 質 : 密 度 ; 95.0 ± 2% T. D. (理論密度 11.0 g/cc)
 組 成 ; 10%PuO₂ - 90%UO₂
 水 分 量 ; 30ppm 以下
 O/(Pu+U) 比 ; 1.98 ± 0.02
 蒸 発 性 不 純 物 ; 100 μl/g MOX 以下

二酸化天然ウランペレット

- (1) 形 状 : 円筒型 ; (ディッシュ&チャンファ付) (体積率 0.9%)
 (2) 尺 法 : 直 径 ; $\phi 12.3 \pm 0.03$ mm
 高 さ ; 10.0 ± 1.00 mm
 (3) 性 質 : 密 度 ; 94.0 ± 2.0% T. D. (理論密度 10.96 g/cc)
 水 分 量 ; 30ppm 以下
 蒸 発 性 不 純 物 ; 60 μl/g UO₂ 以下

プルトニウムスポット

- (1) 個 数 : 1ヶ/1ペレット (表面軸方向中心)
 (2) 径 : $\phi 400 \mu\text{m}^{+10\%}_{-0\%}$
 : $\phi 1100 \mu\text{m} \pm 100$ (100 %濃度換算)

被 覆 管

- (1) 材 質 : ジルカロイ-2
 (2) 尺 法 : 内 径 ; $\phi 12.70 \pm 0.05$ mm
 外 径 ; $\phi 14.50 \pm 0.08$ mm
 肉 厚 ; 0.9 mm

端 桟

- (1) 材 質 : ジルカロイ-2

スプリング

- (1) 材 質 : SUS304WPB
 (2) バネ定数 : 0.229 kg/mm

燃 料 棒

- (1) ペレット・スタック長 : 137mm
 混合酸化物部 ; 117 ± 1 mm (9個)
 天然ウラン部 ; 20mm (2個)
 (2) 燃料棒全長 : 212mm
 (3) ギャップガス : 組 成 ; ヘリウムガス
 圧 力 ; 大気圧

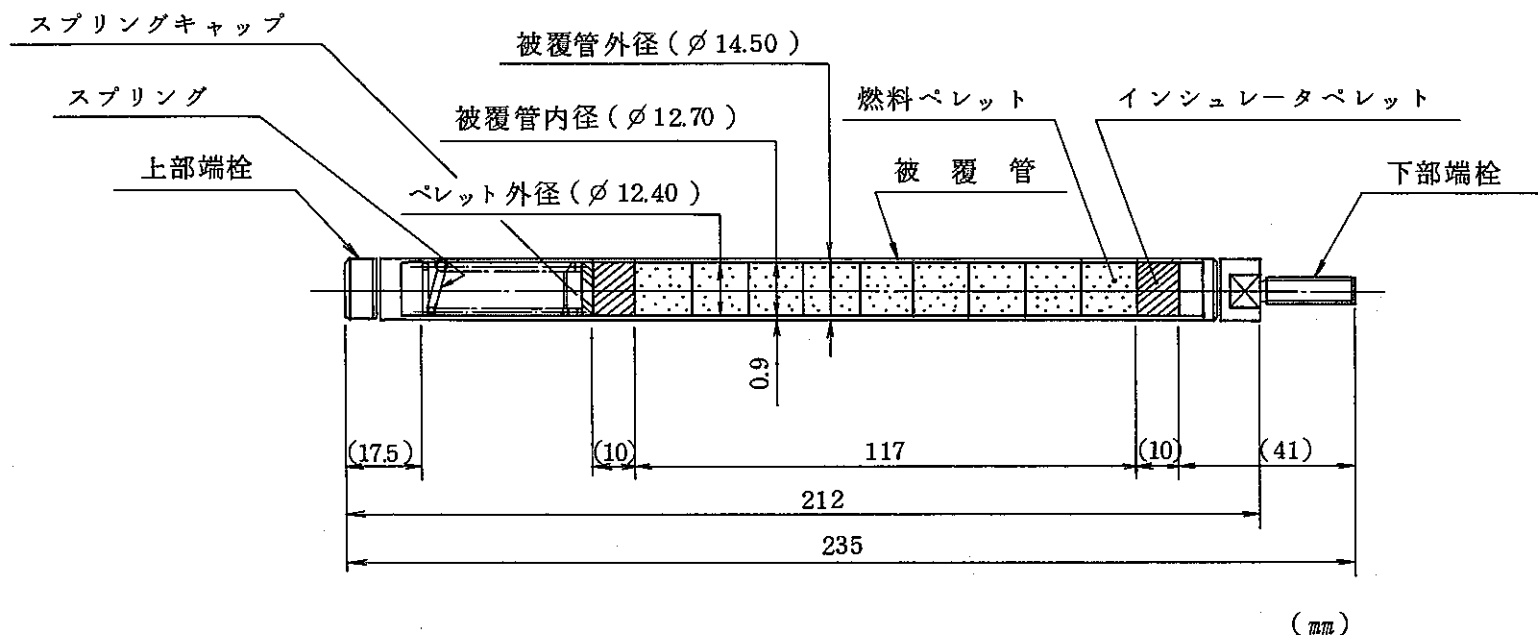


Fig 1 NSRR第2次照射試験燃料棒図 (Puスポットなし)

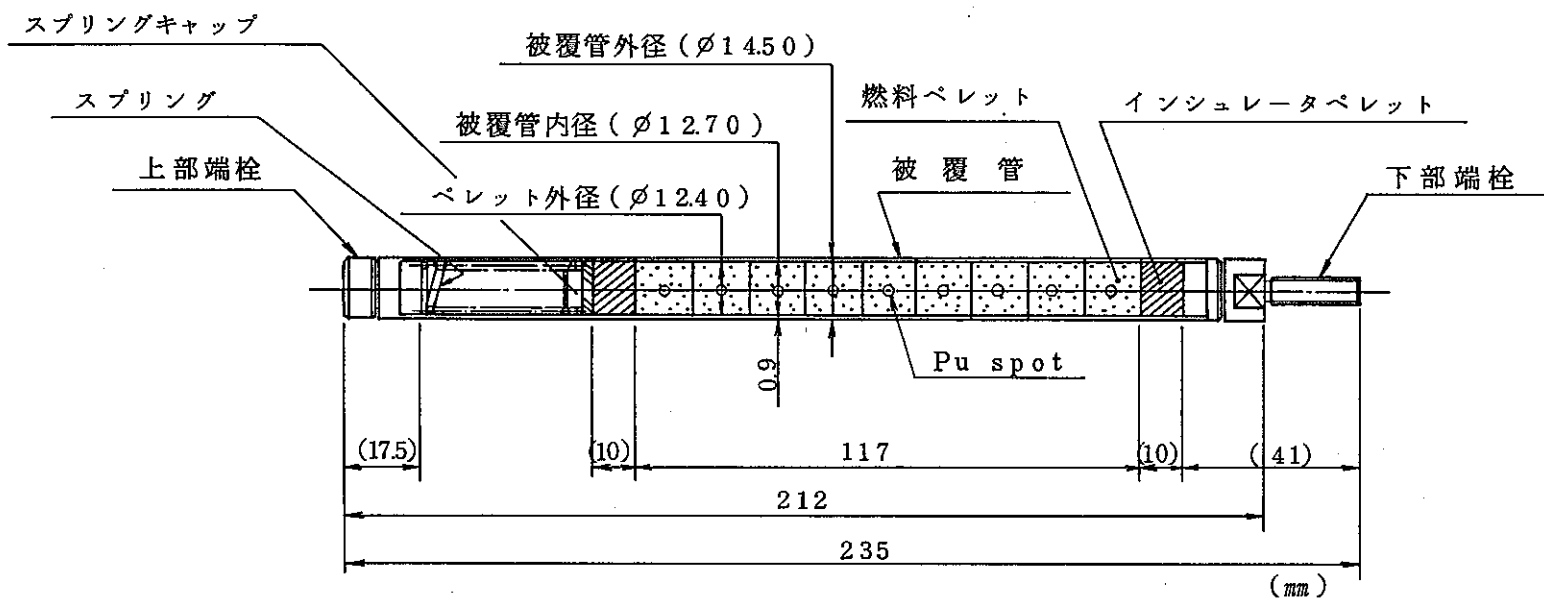


Fig 2 NSRR 第 2 次照射試験燃料棒図 (Puスポット付)

Table 2 NSRR第2次照射試験内容一覧表

試験番号 (推定発熱量)	燃料No.	照射月日	試料内容	照射目的	計装
702-01 (192cal/g・MOX)	2-01	59. 2.03	Puスポットなし	発熱量較正用、低出力照射	被覆材表面温度 カプセル水温
702-02 (144cal/g・MOX)	2-02	59. 3.01	"	発熱量較正用	"
702-03 (263cal/g・MOX)	2-03	59. 8.22	"	破損しきい値推定 (第1次破損しきい値の下限)	"
702-04 (235cal/g・MOX)	2-04	59. 10.01	"	破損しきい値推定 (2-03ピンより決定)	"
702-05 (215cal/g・MOX)	2-05	59. 12.14	Puスポットなし	破損しきい値推定	"
702-06 (215cal/g・MOX)	2-06	60. 1.22	φ400 μm Puスポット付	2-01～05より破損しきい値の下 限値目標	"
702-07 (235cal/g・MOX)	2-07	60. 3.01	"	2-01～05より破損しきい値の上 限値目標	"
702-08 (263cal/g・MOX)	2-08	60. 4.05	"	破損しきい値推定	"
702-09 (235cal/g・MOX)	2-09	60. 5.01	φ400 μm Puスポット付	"	"
702-10 (192cal/g・MOX)	2-10	60. 1.22	φ1100 μm Puスポット付	φ400 μm Puスポットより破損 しきい値の下限値目標	"
702-11 (215cal/g・MOX)	2-11	60. 4.19	"	φ400 μm Puスポットより破損 しきい値の上限値目標	"
702-12 (218cal/g・MOX)	2-12	60. 9.06	φ1100 μm Puスポット付	破損しきい値推定	"

Table 3 PuO₂ - UO₂ 燃料に対するNSRR試験結果の概要

試験No.	燃料 No. (Pu 粒子径 μm)	照射試験日 (受入月日)	投入反応度 (\$)	炉心積分出力 (MW・S)	発熱量 (cal/g・MOX)	被覆管表面 最高温度 (°C)	燃料破損 の有無
702-01	2-01	59. 2.03 (59. 4.10)	3. 26	63. 7	178	# : 1350 # : 1270 # : 1280	無
702-02	2-02	59. 3.01 (59. 4.25)	2. 65	47. 7	133	# : 820 # : 470 # : 300	無
702-03	2-03	59. 8.22 (59. 10.03)	4. 00	87. 2	243	# : 1540 # : 1740 # : >1300	T/C 取付部 貫通
702-04	2-04	59. 10.01 (59. 11.06)	3. 71	77. 8	217	# : 1500 # : 1550 # : 1460	有
702-05	2-05	59. 12.14 (60. 1.16)	3. 42	68. 9	192	# : 1260 # : 1300 # : 1220	無
702-06	2-06 (φ400)	60. 1.22 (60. 2.19)	3. 42	68. 9 (63. 4)	192	# : 1280 # : — # : 1260	無
702-07	2-07 (φ400)	60. 3.01 (60. 4.01)	3. 71	77. 8	217		無
702-08	2-08 (φ400)	60. 4.05 (60. 4.26)	4. 00	85. 4	238	# : 1640 # : 1420 # : 1670	T/C 取付部 貫通、クラック (上部)
702-09	2-09 (φ400)	60. 5.01 (60. 6.06)	3. 71	78. 1	218	# : 970 # : 1240 # : 1200	無
702-10	2-10 (φ1100)	60. 1.22 (60. 3.04)	3. 26	63. 7	178	# : 1400 # : — # : 1340	無
702-11	2-11 (φ1100)	60. 4.19 (60. 5.23)	3. 42	71. 0	198	# : 1460 # : 1370 # : 1440	無
702-12	2-12 (φ1100)	60. 9. 6 (60. 10.08)	3. 71	78. 3	218	# : 1240 # : 1230 # : 1290	無

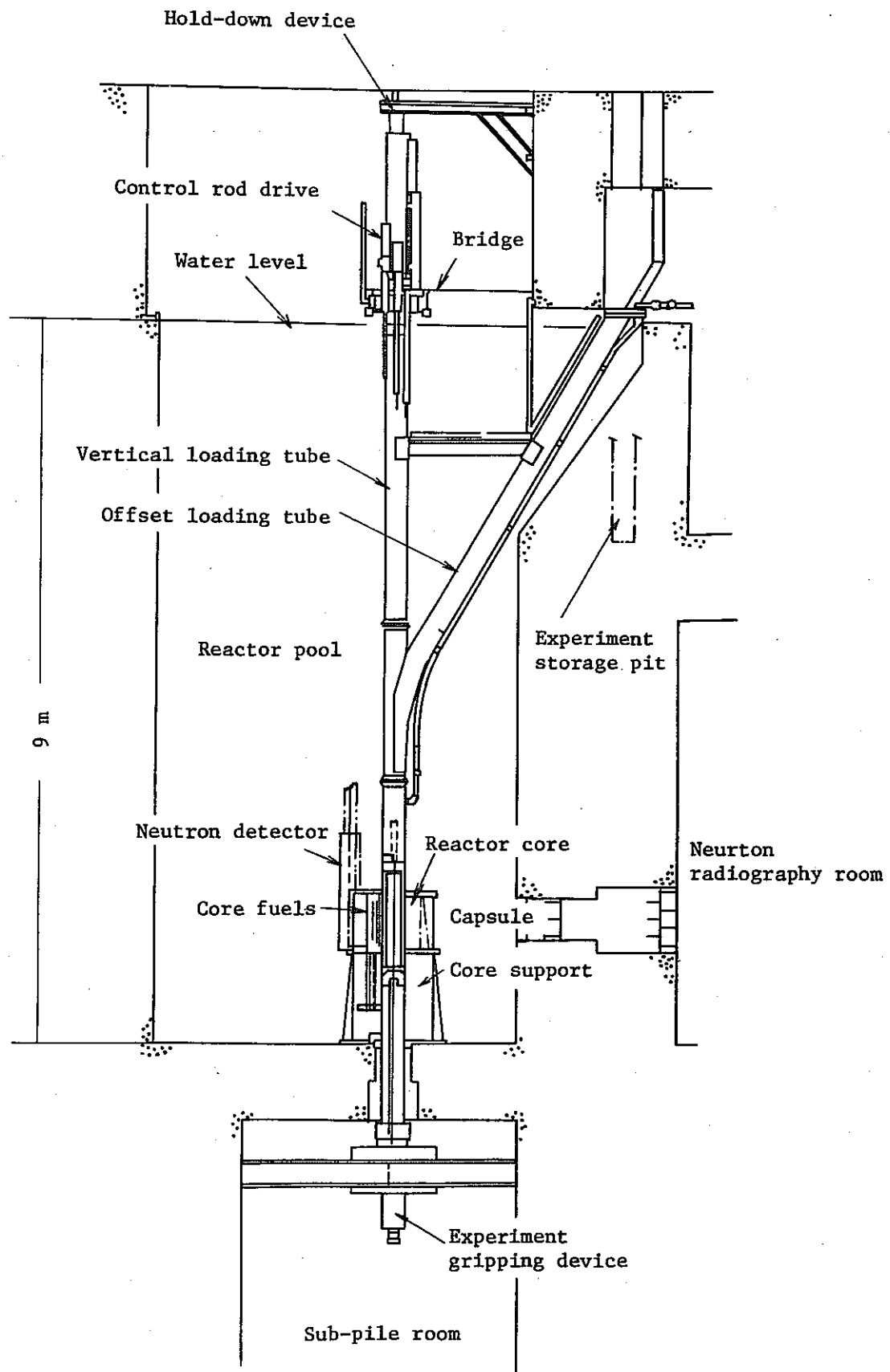


Fig 3 General Arrangement of NSRR

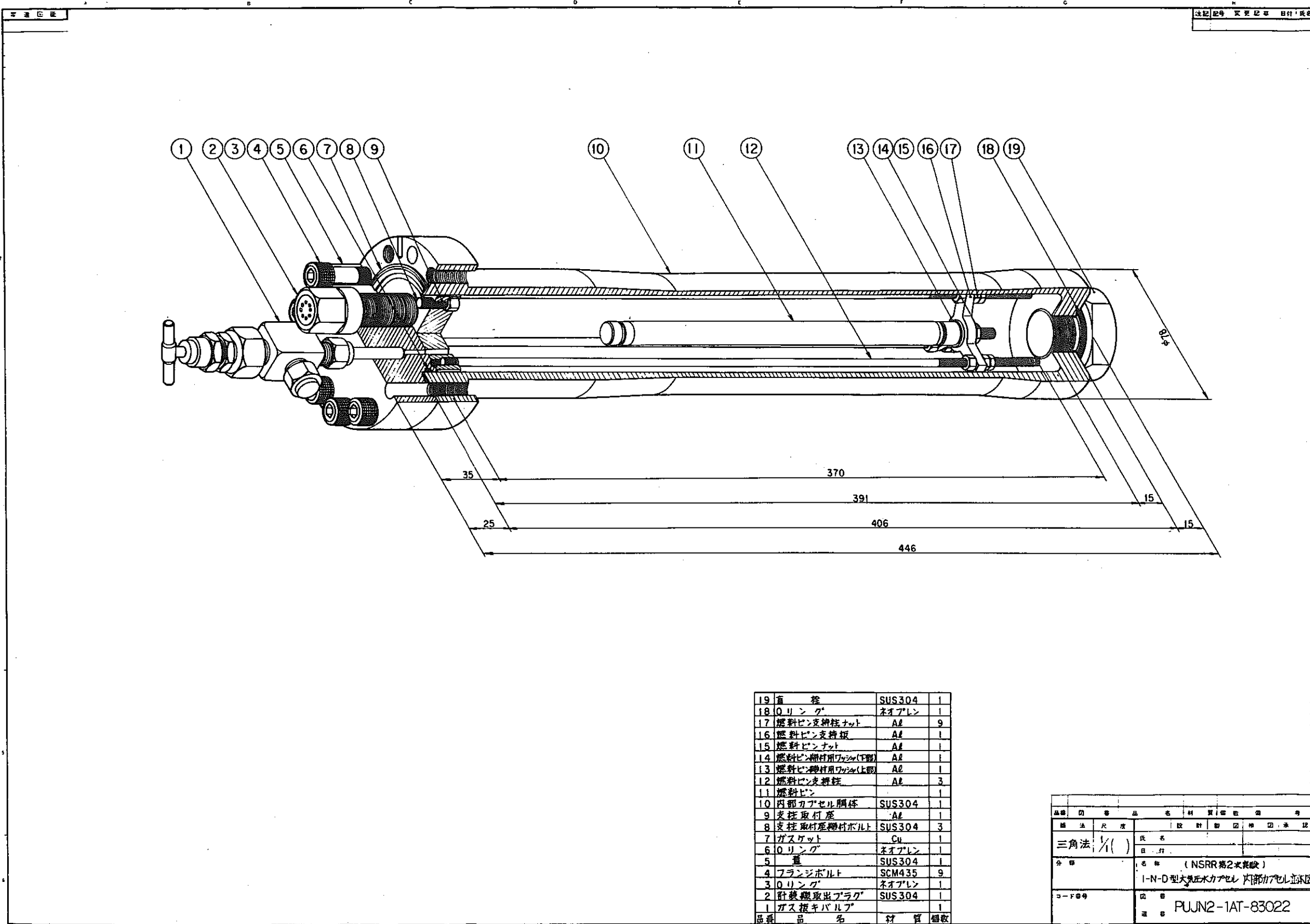


Fig 4 照 射 カ プ セ ル 構 造

担当課	場所	作業手順	作業内容
管 理 課	R-134	N S R R	
		輸送	
		キャスク受入検査	[α チェック]
		部内運搬	[専用台車使用]
		キヤスク開梱 ホルダ取出し 内部カプセル取出し	表面汚染、「放射線量率のチェック」 ビニル被覆のまま
	R-134 C-103	内部カプセルをグローブボックスへバッギング	[B o x No.26よりバッギング]
		内部ガス圧測定	
		内部カプセル解体	
		燃料棒取出し	ボルト取出しガス抜き、水抜き 内部カプセルは廃棄
		外観・寸法測定	目視、写真、全長、外径、曲がり、膨れ等の測定
品 質 管 理 課	A-107 R-134 C-103	重量測定	燃料が細分化している場合、回収燃料の重量測定
		エックス線透過検査	[スタック長、ペレットギャップ、] (ペレット、破損等)
		燃料棒切断	[カッタにより切断]
		ペレット試験検査	
		α オートラジオグラフィー 元素分析 E P M A	金相的特徴を観察 Puスポットの観察 被覆材元素の拡散量
	R-136	F P 分析	[FP生成量を求め、発熱量を校正]
		被覆管試験検査	
		破断面の観察	[目視、写真撮影]
		機械的強度測定 E P M A	組織観察 硬度測定 ペレット構成元素の拡散量
		燃料棒の保管、廃棄 核物質の保管 被覆管の廃棄	
原 研 品 質 管 理 課	R-134 R-136	内部カプセル廃棄	[試験済試料の保管、又は廃棄]

Fig 5 N S R R 照射後試験検査フロー

Table 4 照射後試験検査項目と内容(1/2)

試験項目	測定装置・器具	場所 (2次のみ)	グローブ ボックス	破 非 壊 壊	試験内容	備考
内部 カ プ セル	(1) 目視検査		R-134	内 非		•写真撮影
	(2) 外観検査		R-134	内 非		•比較的大きな変化があったかどうかの検査
	(3) 寸法検査	ノギス	R-134	内 非		
	(4) 内部ガス圧測定	圧力計	R-134	内 非		
燃料 棒	(1) 目視検査		R-134	内 非	外観・破損状況の観察、写真撮影	(試験前も実施)
	(2) 外観検査	トヨ・ビュー (マクロ撮影)	R-134	内 非	長さ、外径、曲がり、膨れ等の測定 燃料棒内部状態の観察	
	(3) 寸法検査	プロフィロメータ、 ノギス	R-134	内 非	ペレット(Puスポットを含む)の状態観察	•外径、長さ、曲がり(〃) •ビニル(2重)を通して行う
	(4) エックス線透過検査	エックス線発生装置	A-107	外 非	燃料が細分化している場合には、回収	•破損した場合は、集める
	(5) 重量測定	天びん	C-103 (R-134)	内 非	燃料の重量を測定	
	(6) エンドピーク	γスキャン (2次)	(A-107)	外 非	軸方向分布測定	702-04のみ実施

Table 4 照射後試験検査項目と内容(2/2)

試験項目		測定装置・器具	場所 (2次のみ)	グローブ ボックス	破 壊	試験内容	備考
				非 破	破 壊		
ペレット	・金相試験	研磨機、顕微鏡 原研 C-103 (R-134)	C-103 (R-134)	内	破	必要に応じ、横断面、縦断面の金相的特徴を観察FP生成量を求め、発熱量を較正、 α オートラジオグラフィーによってPuスポットを観察	・数ヶ所について実施 ・必要に応じ横断面・縦断面 Puスポット測定
	・燃焼度		原研 C-103 (R-134)	内	破		
	・ α オートラジオグラフィー		R-136	内	破		
	・元素分布	EPMA				被覆材元素の拡散量を評価	
被覆管	・外観検査	トヨ・ビュー (マクロ撮影) 顕微鏡 C-103 (R-134)	R-134	内	非	破断面を観察し、写真撮影	
	・金相試験		C-103 (R-134)	内	破	組織観察、酸化膜厚の測定等	
	・肉厚測定		R-134		非	脆化度、硬度等の測定	
	・元素分布	EPMA	R-136	内	破	ペレット構成元素拡散量を評価	

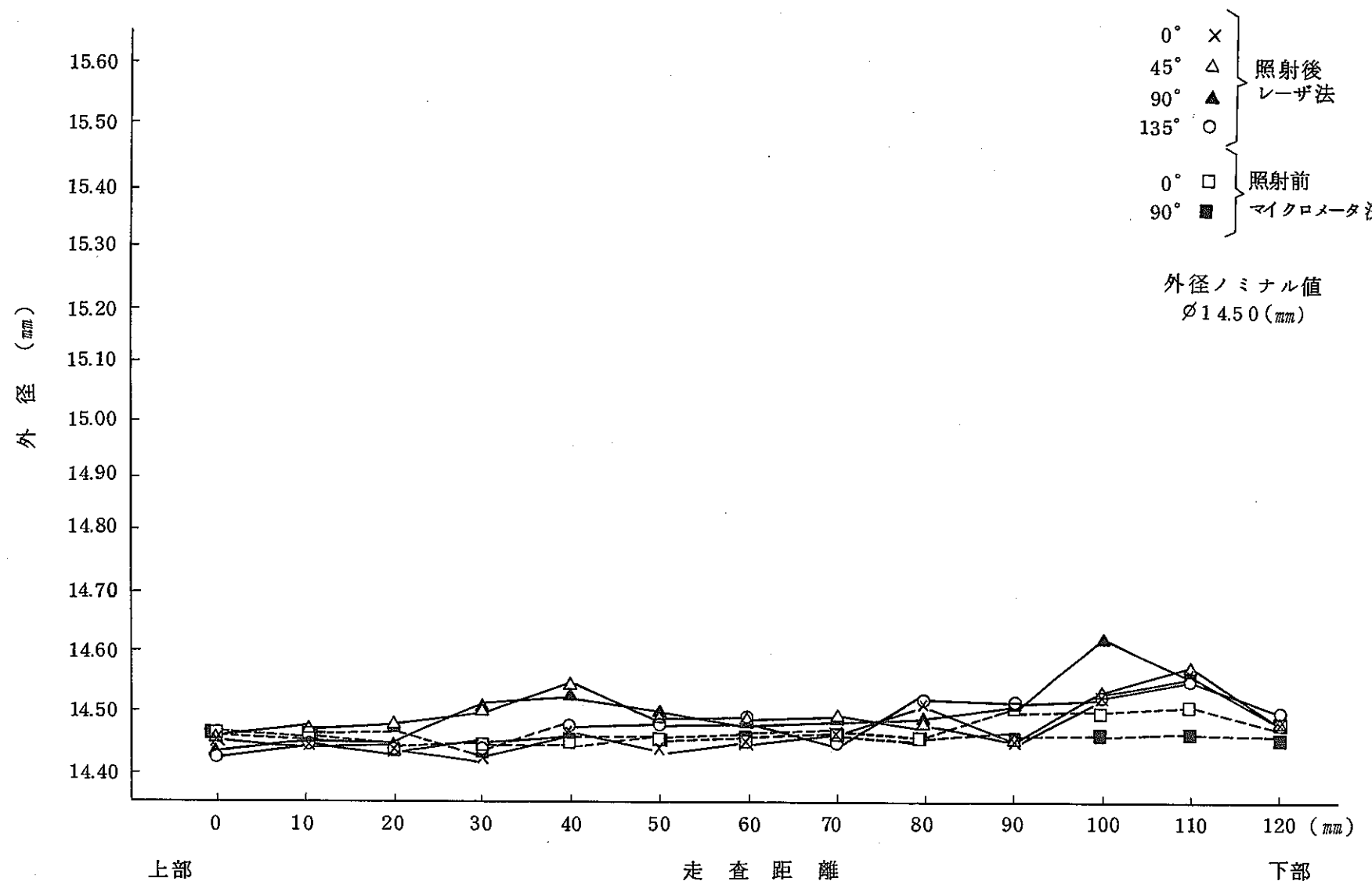


Fig 6(1) 照射前・後外径測定結果（試験番号：702-01）

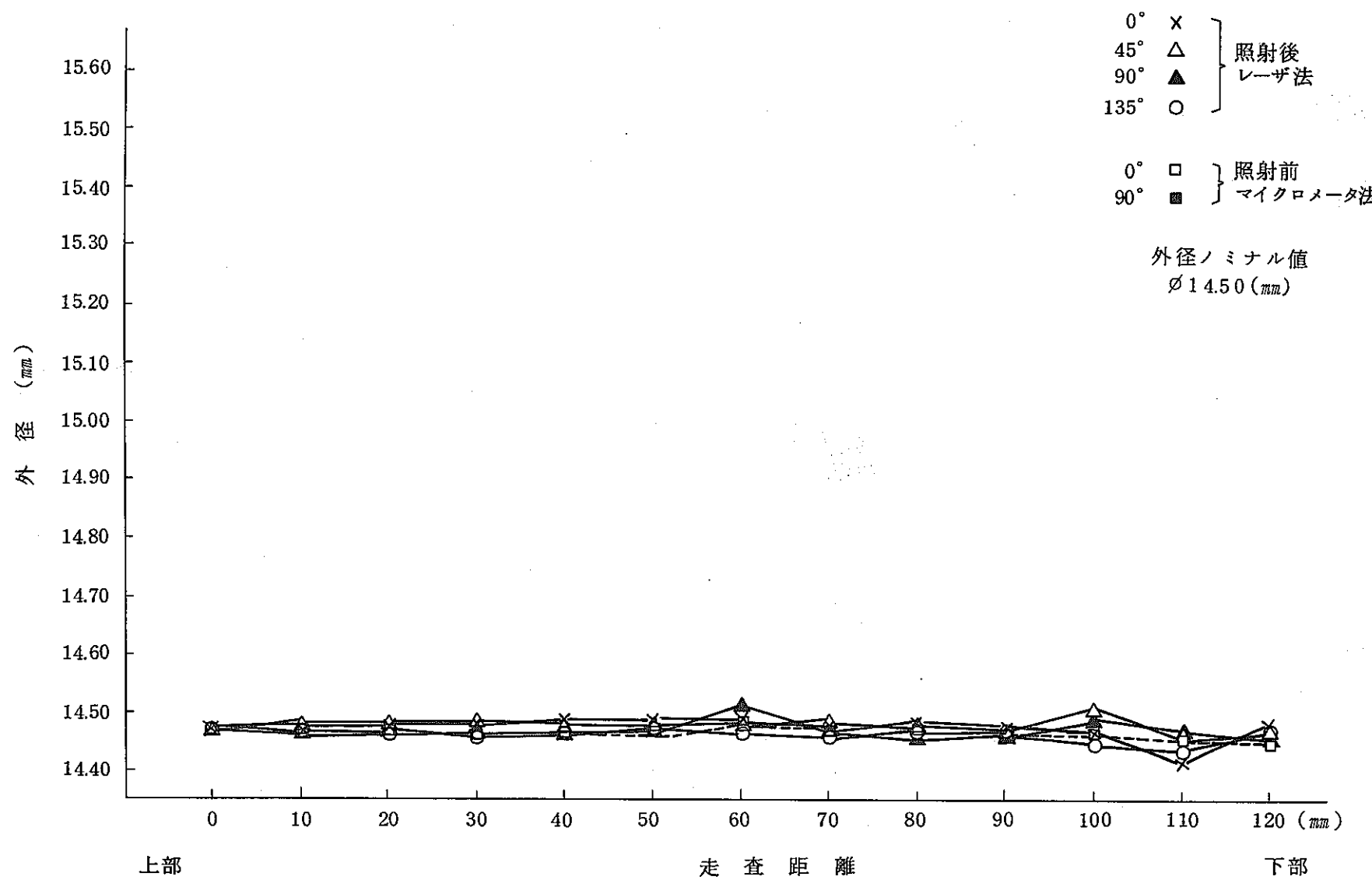


Fig 6(2) 照射前・後外径測定結果（試験番号：702-02）

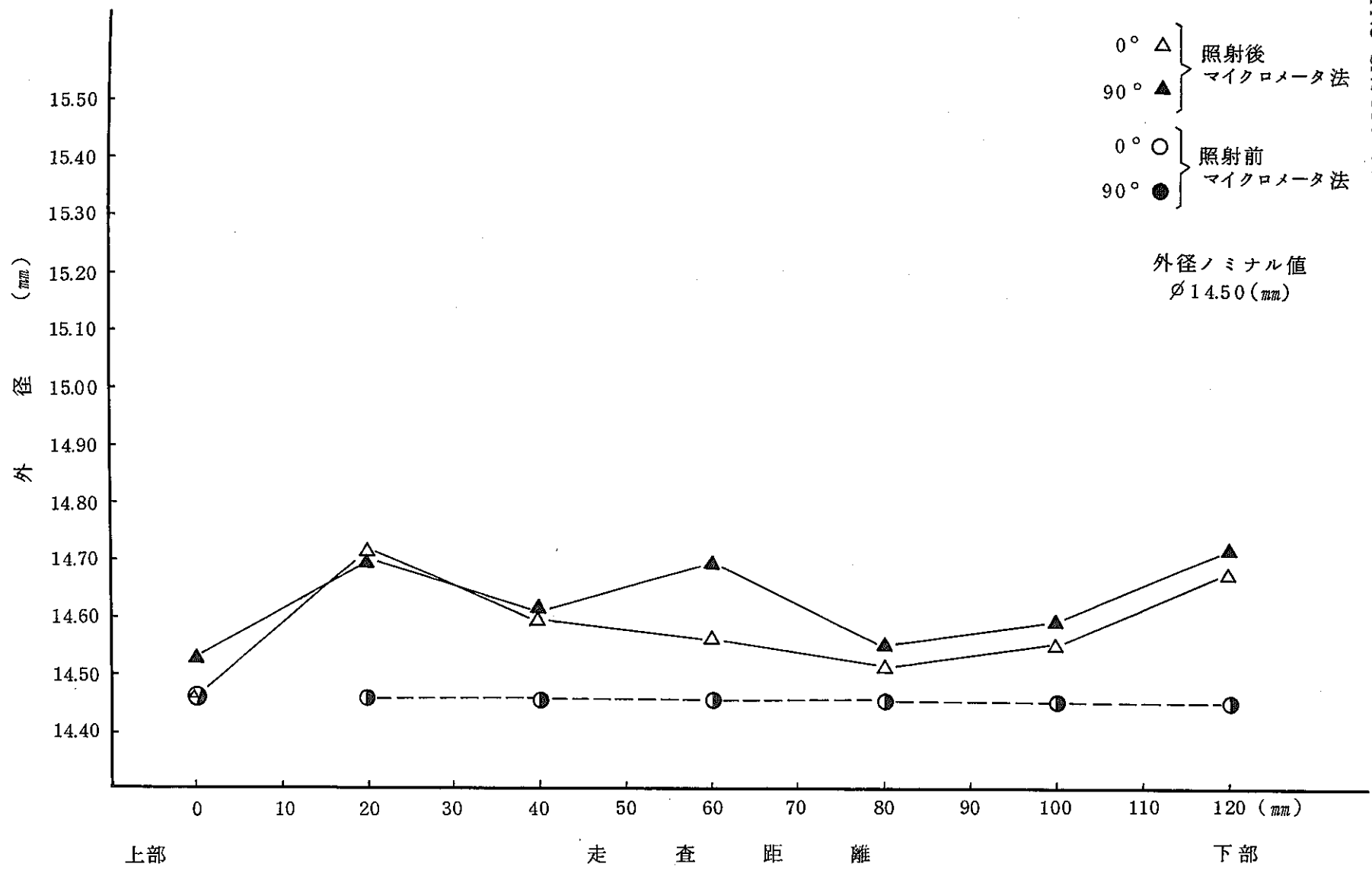


Fig 6 (3) 照射前・後外径測定結果(試験番号: 702-03)

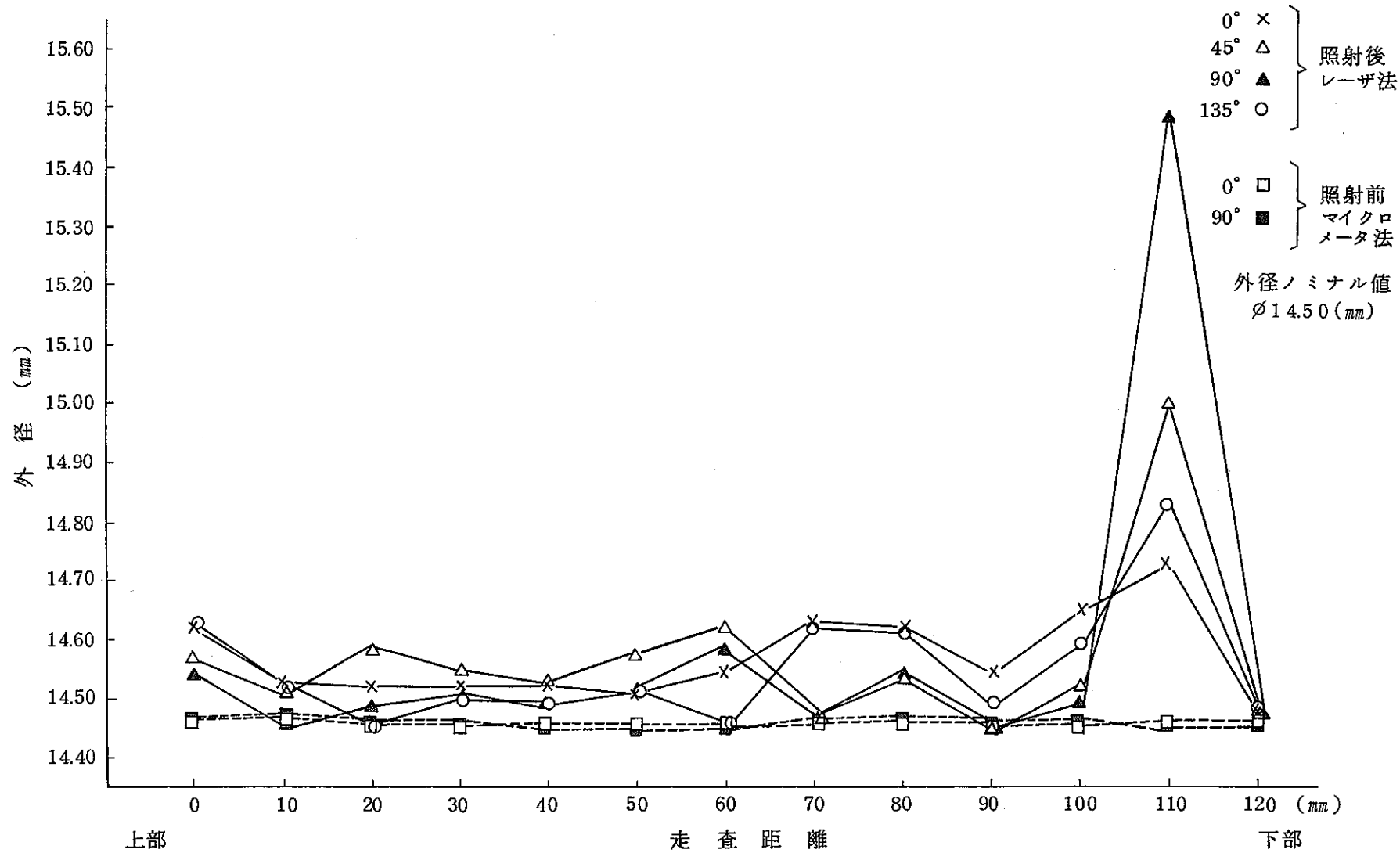


Fig 6(4) 照射前・後外径測定結果（試験番号：702-04）

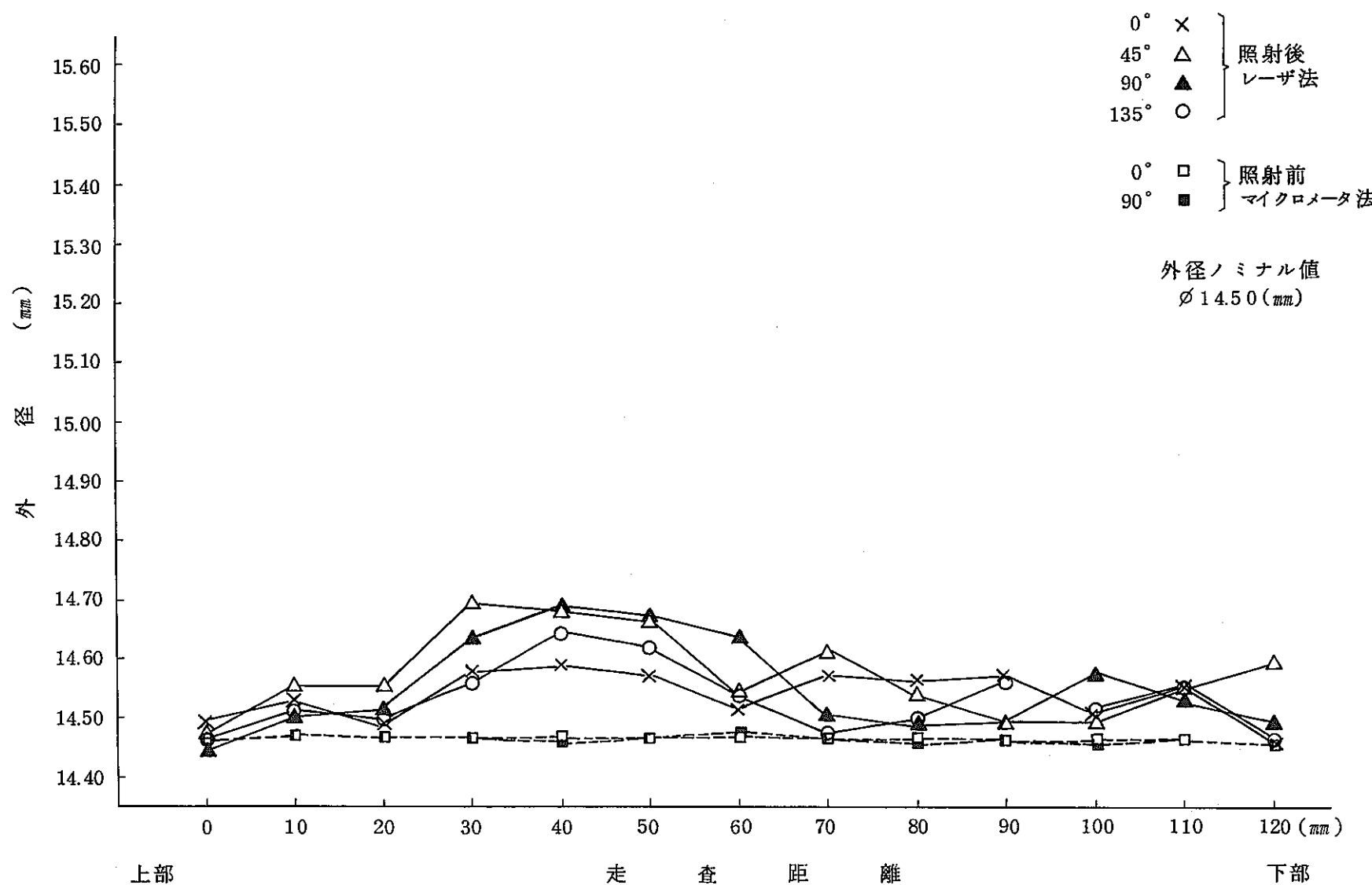


Fig 6 (5) 照射前・後外径測定結果（試験番号：702-05）

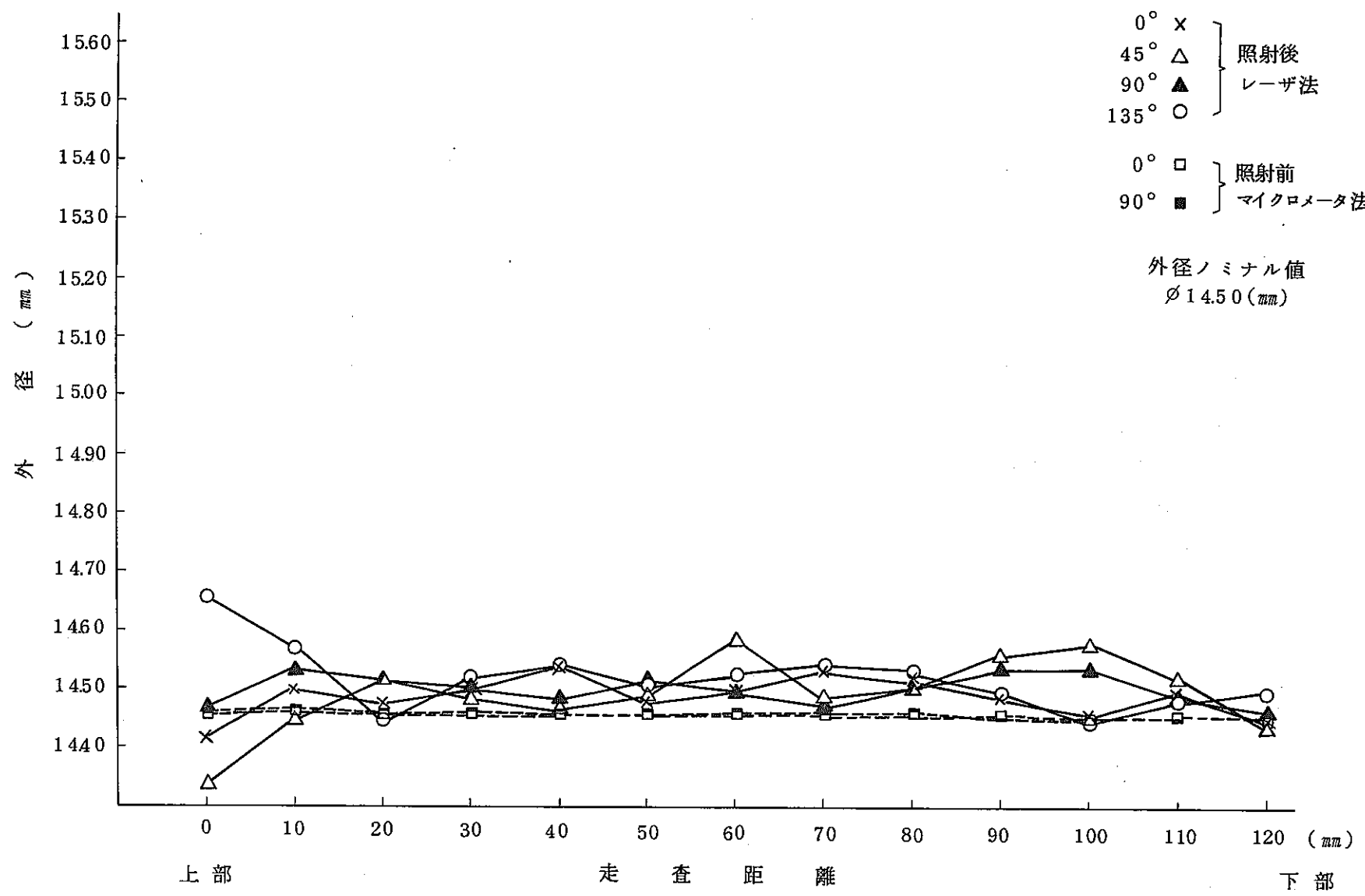


Fig 6(6) 照射前・後外径測定結果（試験番号：702-06）

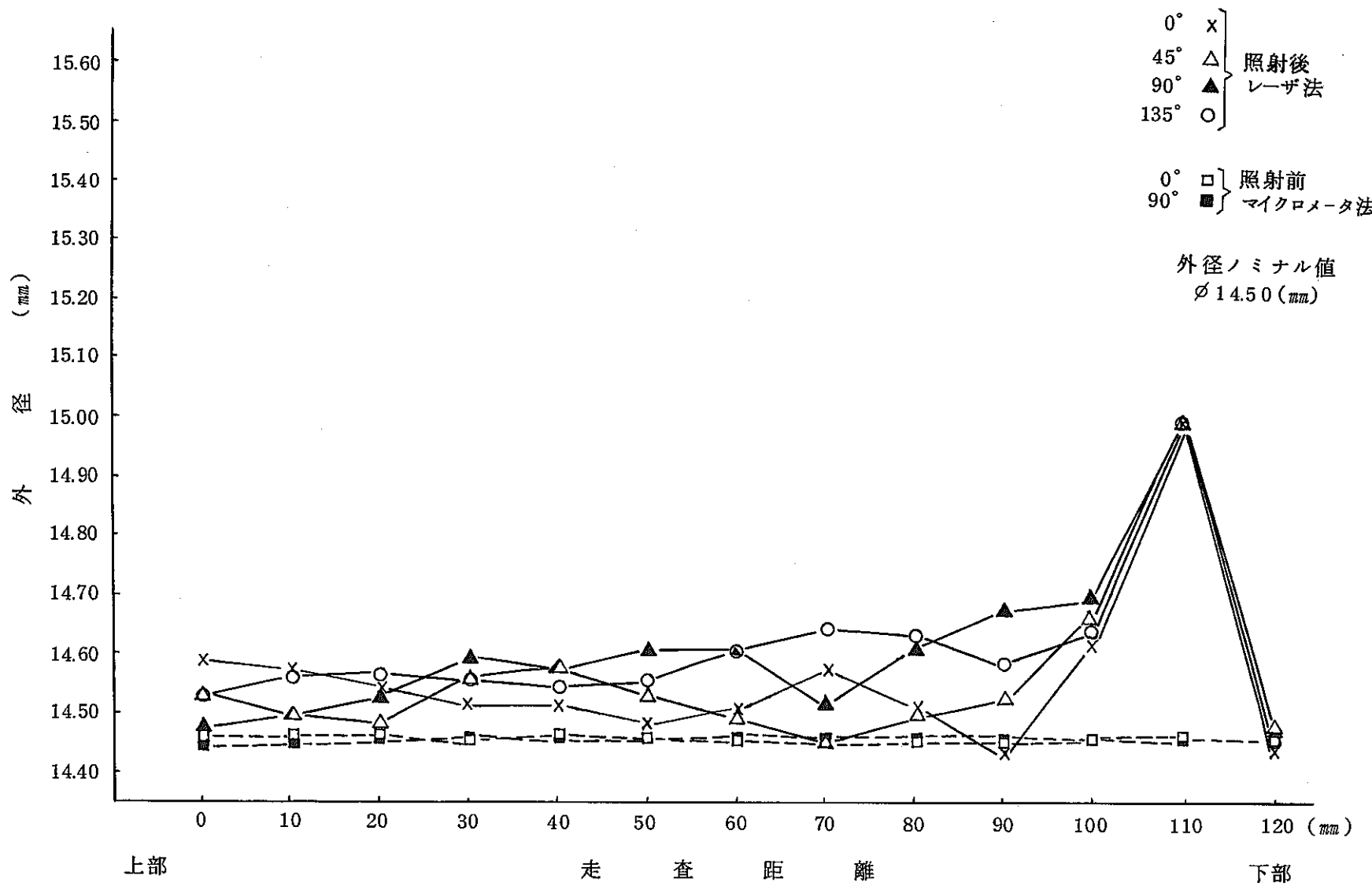


Fig 6(7) 照射前・後外径測定結果（試験番号：702-07）

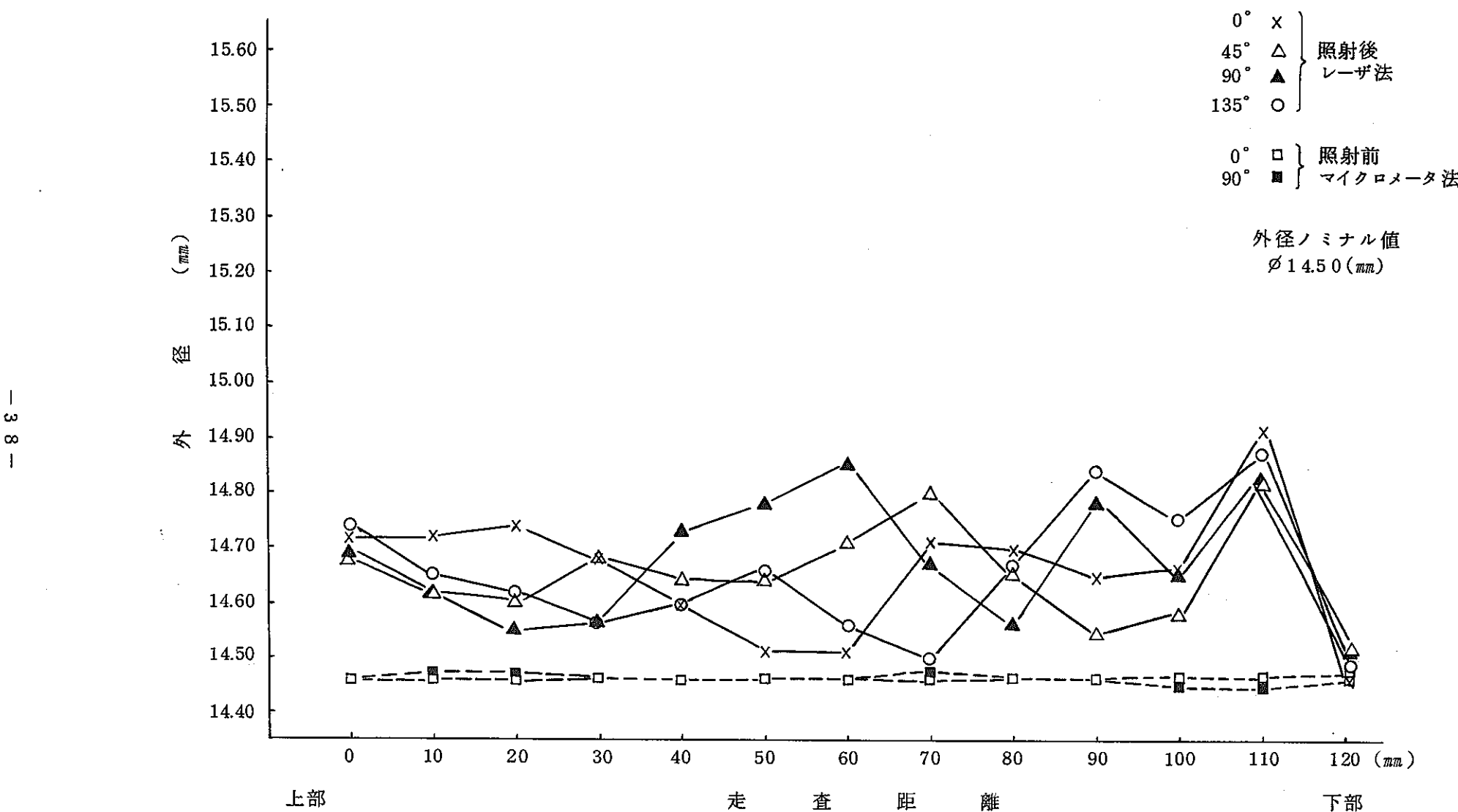


Fig 6(8) 照射前・後外径測定結果（試験番号：702-09）

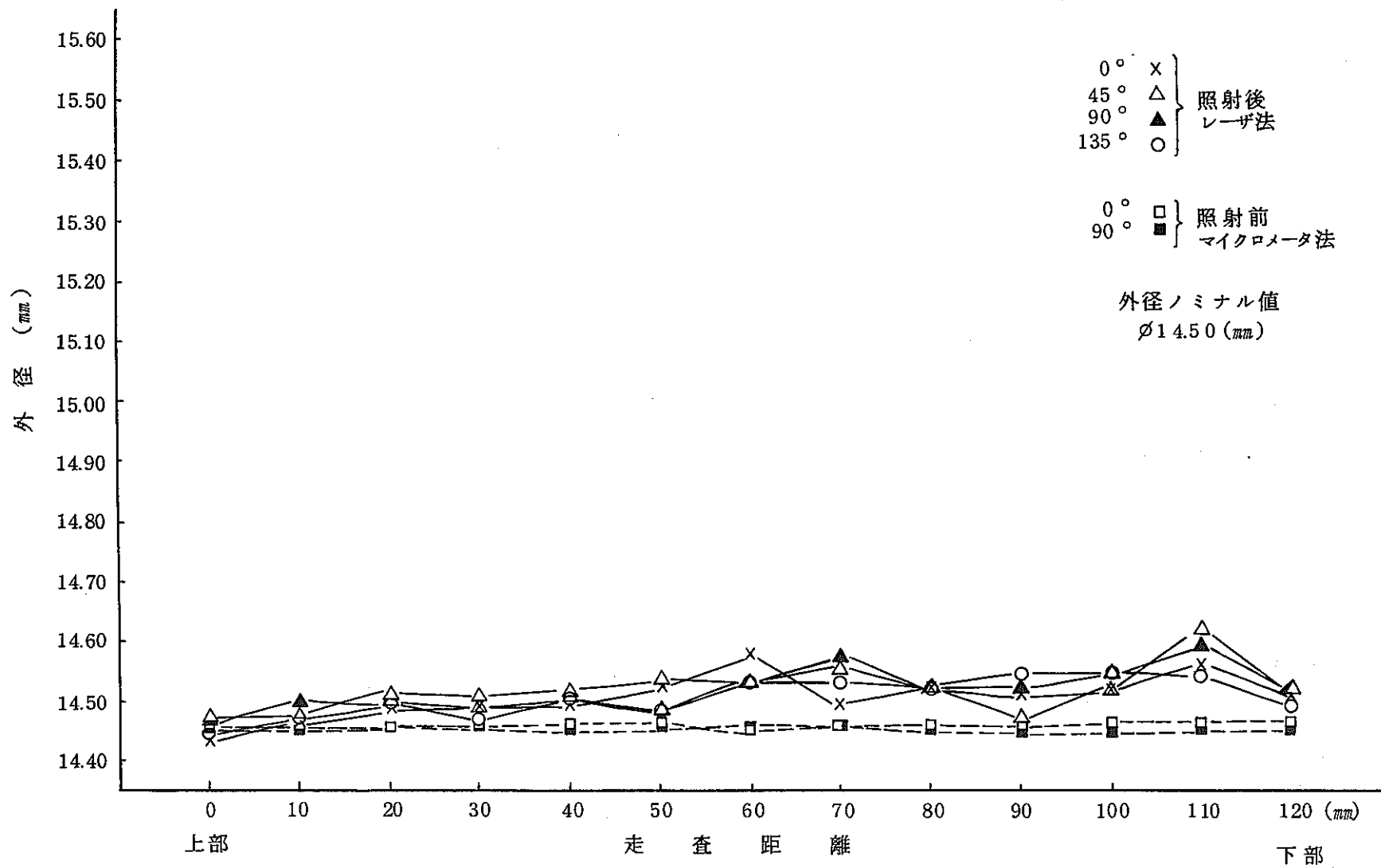


Fig 6(9) 照射前・後外径測定結果（試験番号：702-10）

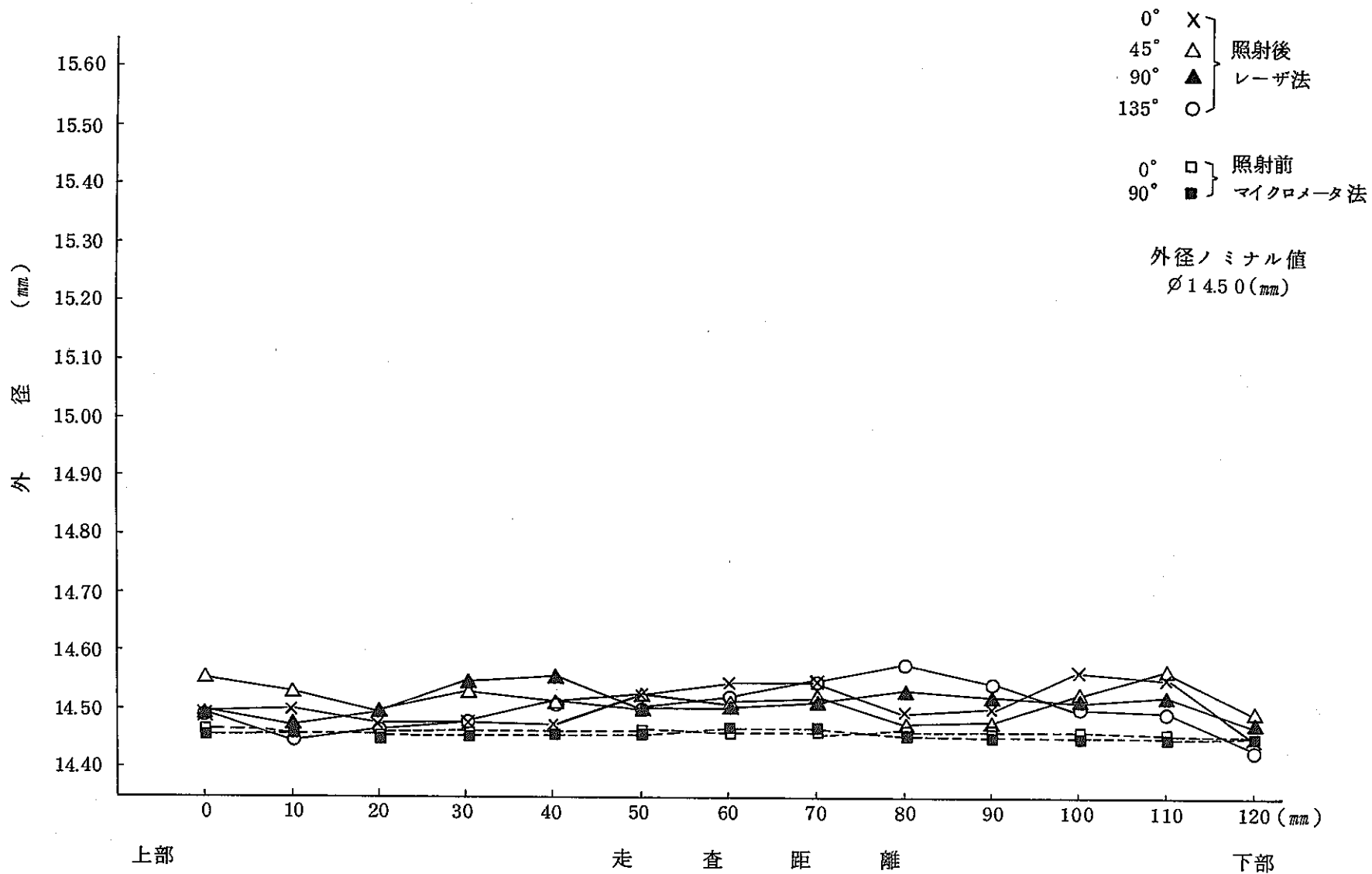


Fig 6(10) 照射前・後外径測定結果（試験番号：702-11）

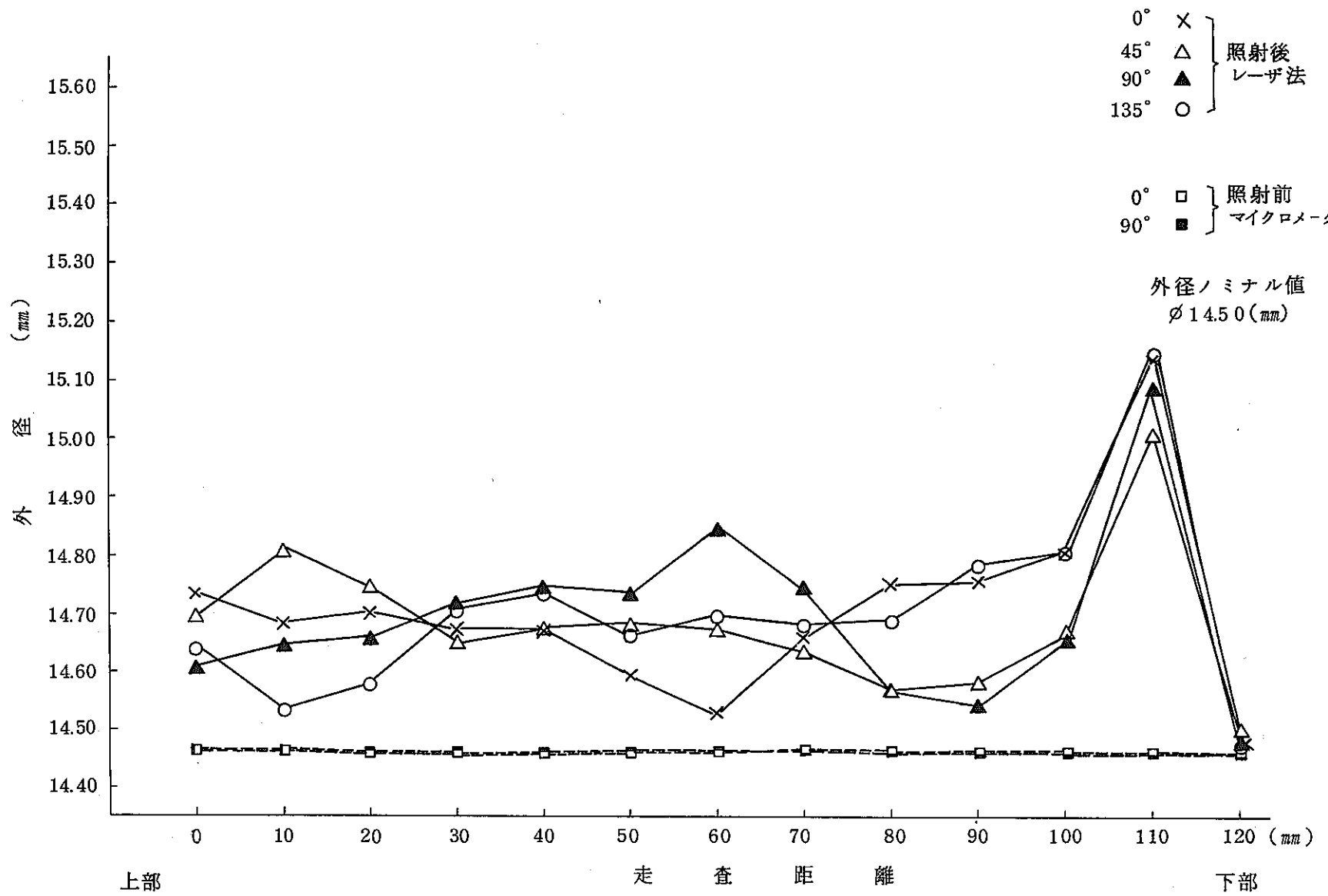


Fig 6 (11) 照射前・後外径測定結果（試験番号：702-12）

Table 5 燃料棒曲がり測定結果 (120mm区間)

項目	試験番号	702-01	702-02	702-03	702-04	702-05	702-06	702-07	702-08	702-09	702-10	702-11	702-12
(μm)	0°	60	0	—	280	1000	100	25	—	250	50	50	100
	45°	50	30	—	—	700	50	50	—	500	140	50	70
	90°	50	50	—	250	300	100	60 (200)	—	500	160	20	50
	135°	100	50	—	—	1200	60	50 (150)	—	250	100	50	100

() は被覆管膨脹部

注) 照射後の燃料棒のみ記す。

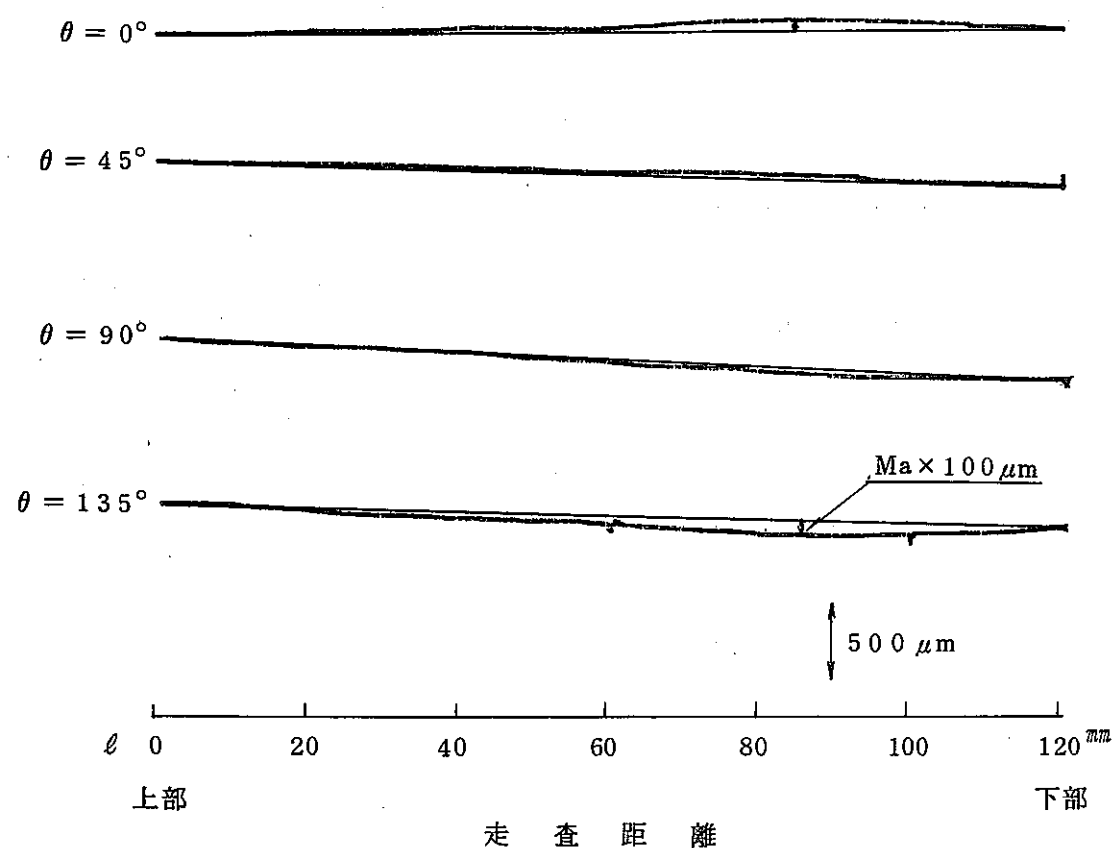


Fig 7 (1) 照射後の曲がりプロフィール (試験番号: 702-01)

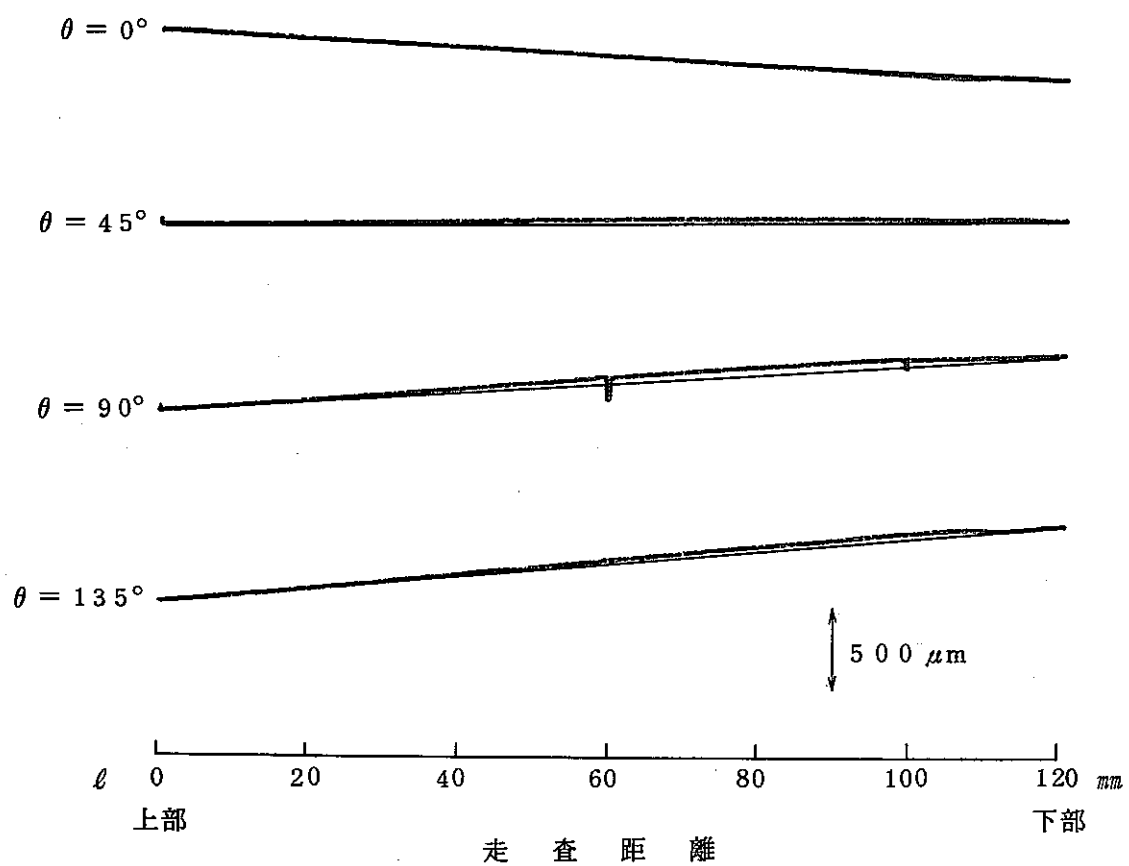


Fig 7 (2) 照射後の曲がりプロファイル（試験番号：702-02）

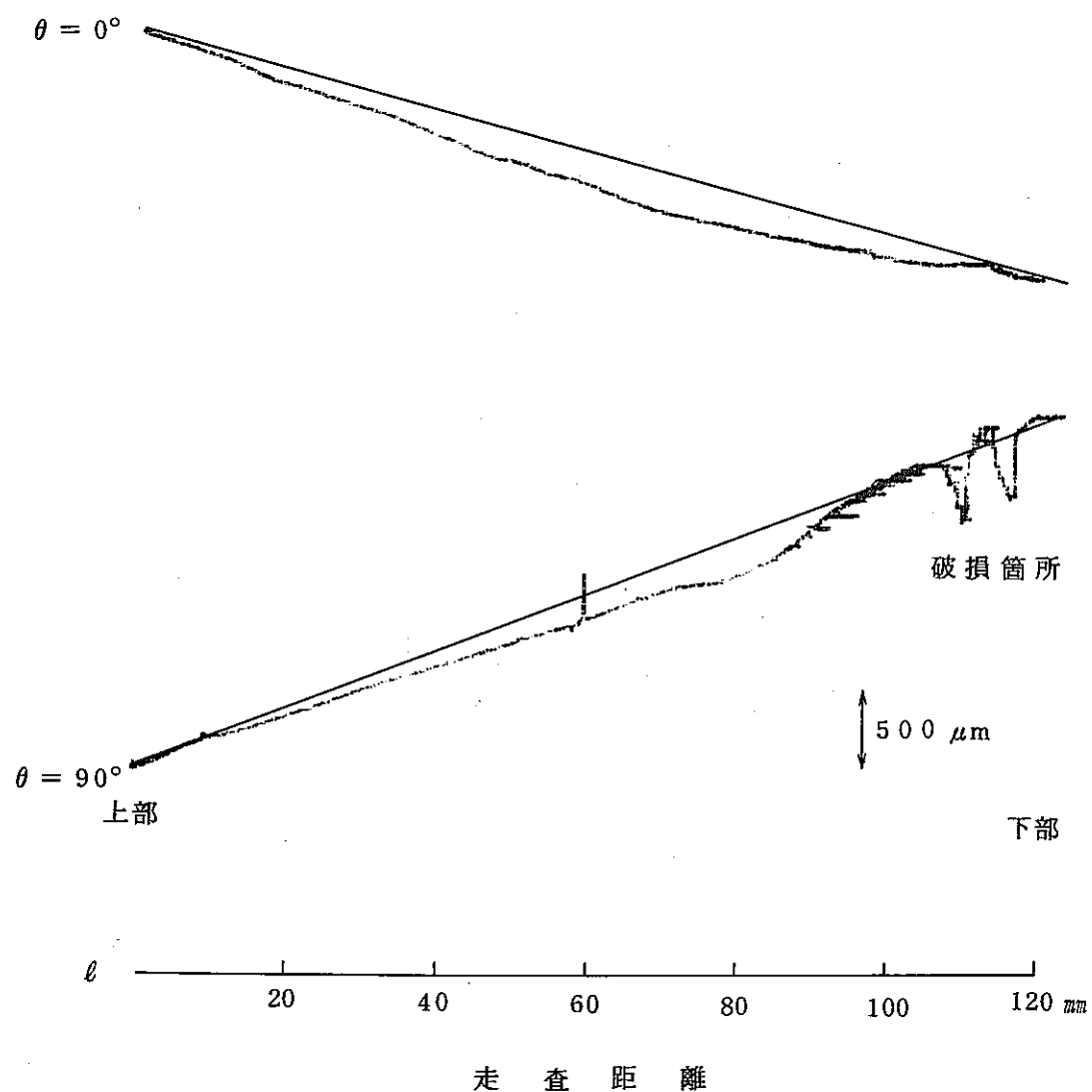


Fig 7(3) 照射後の曲がりプロフィール（試験番号：702-04）

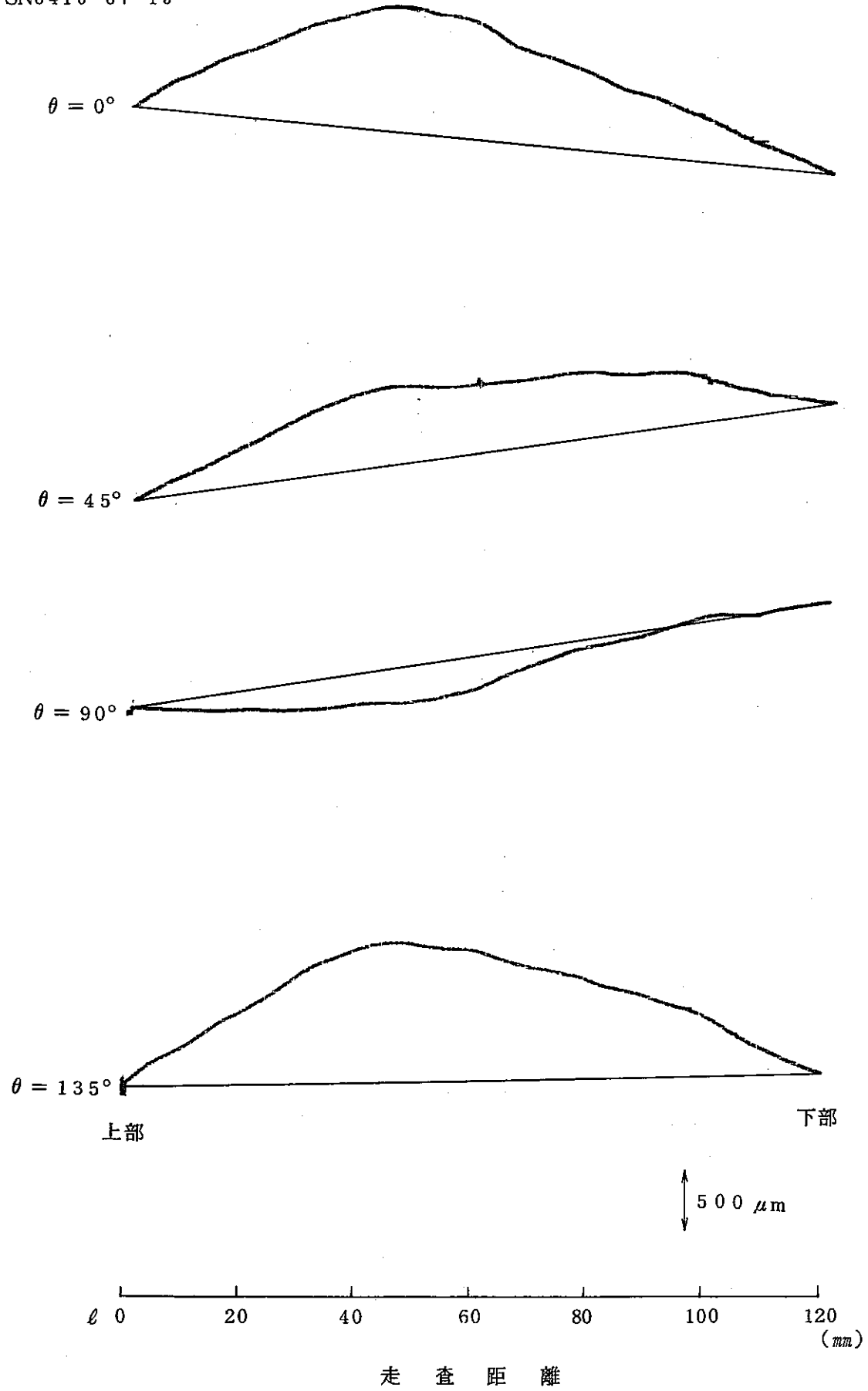


Fig 7(4) 照射後の曲がりプロフィール（試験番号：702-05）

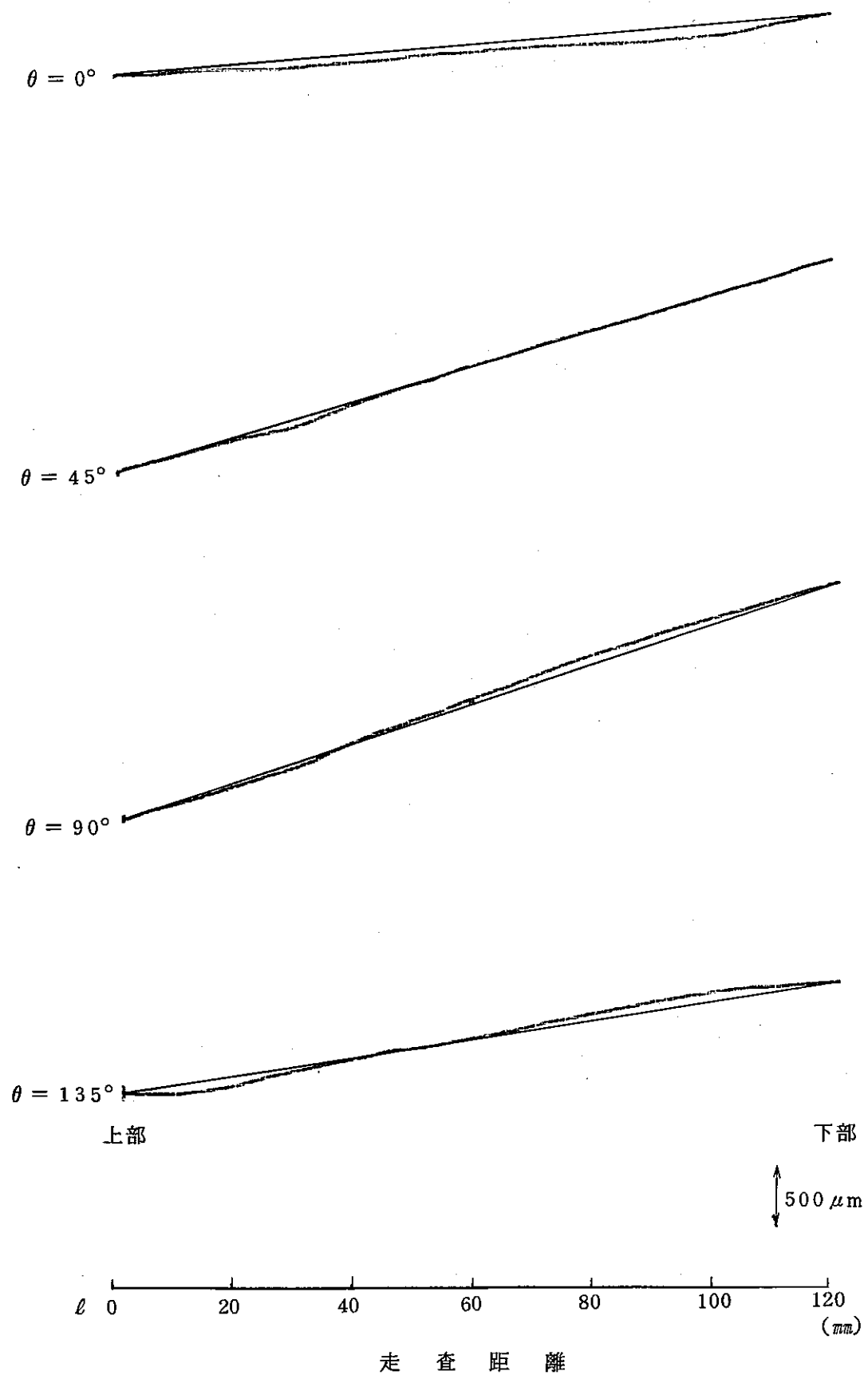


Fig 7 (5) 照射後の曲がりプロフィール（試験番号：702-06）

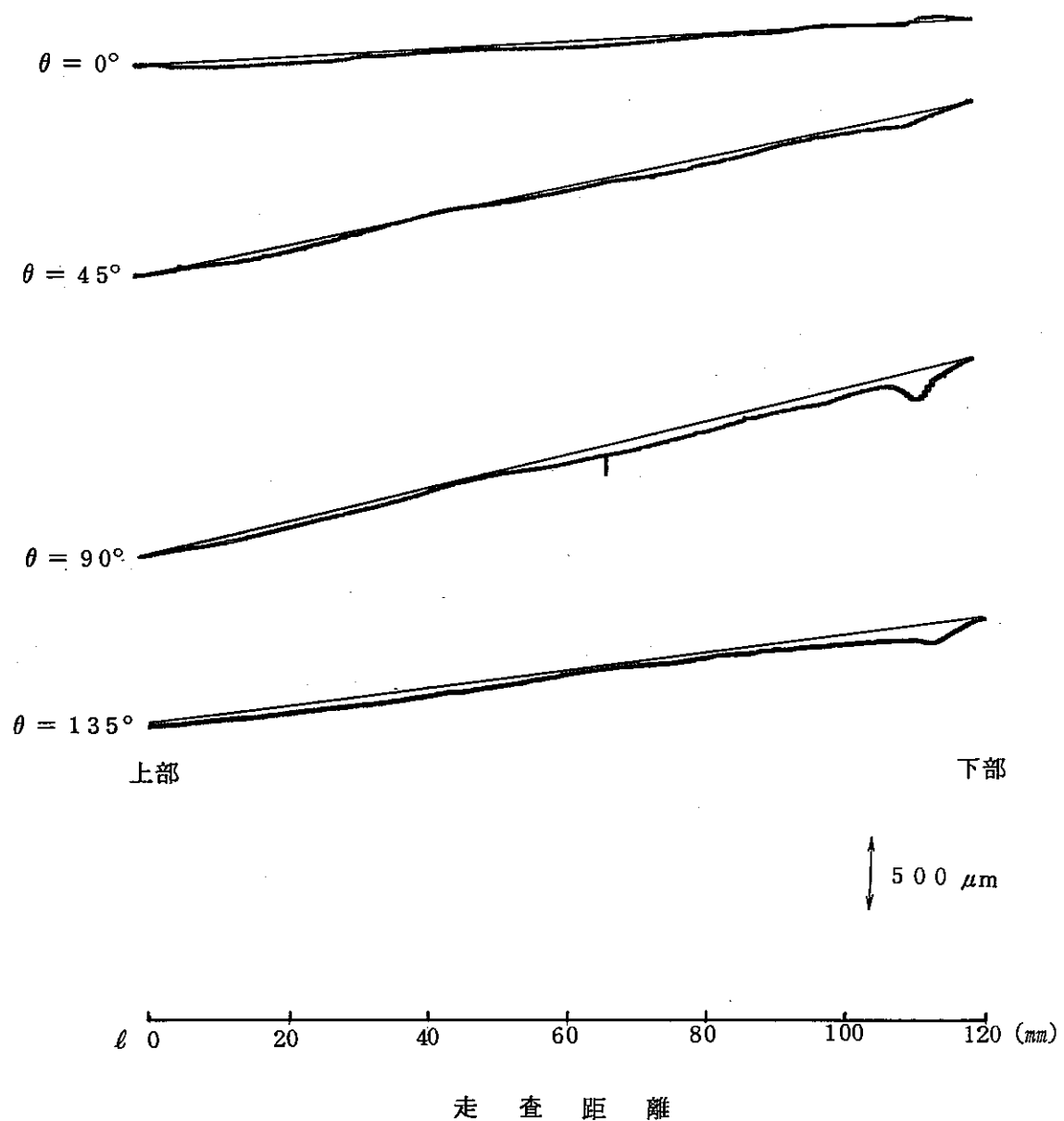


Fig 7(6) 照射後の曲がりプロフィール（試験番号：702-07）

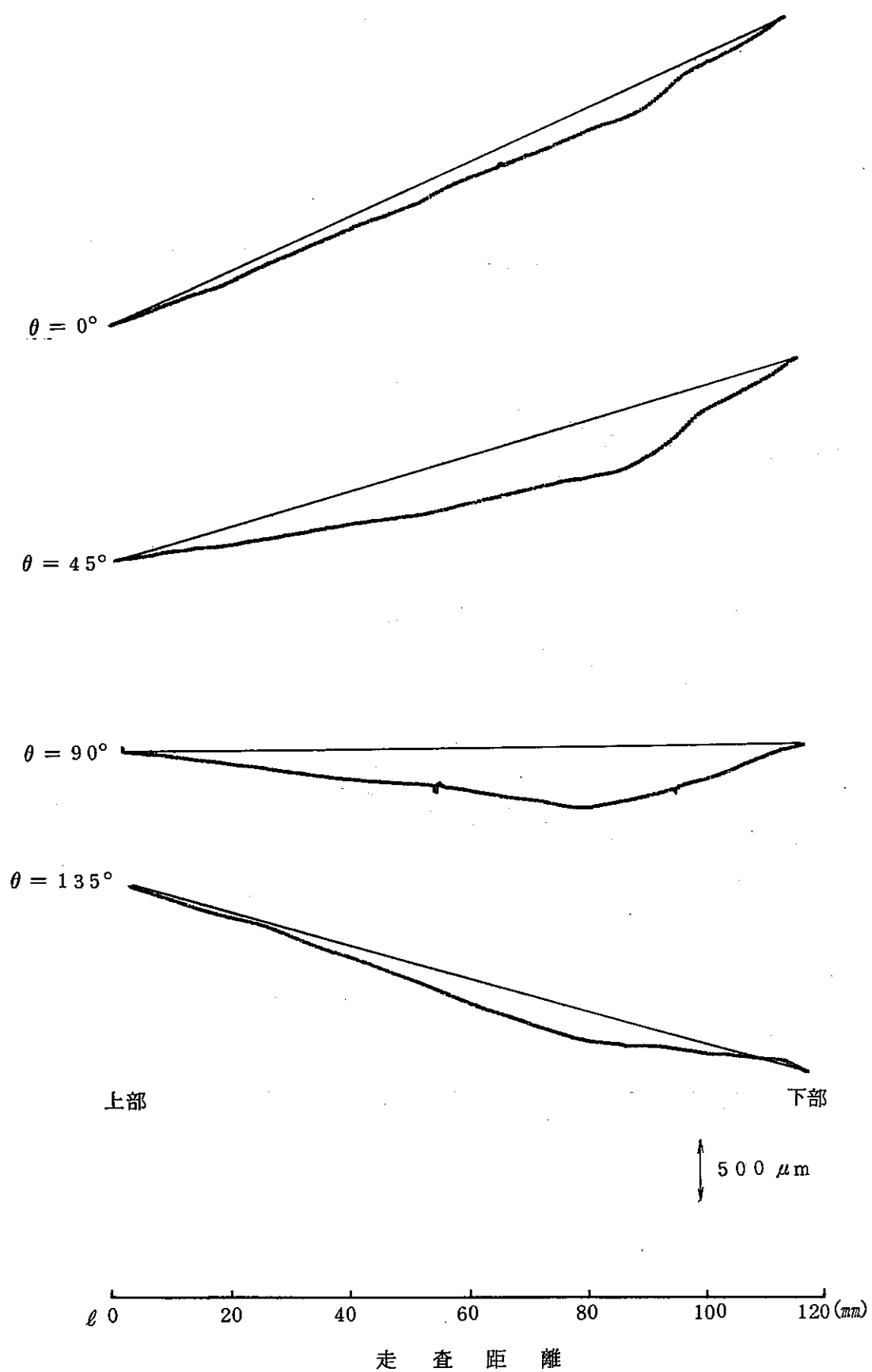


Fig 7(7) 照射後の曲がりプロフィール（試験番号：702-09）

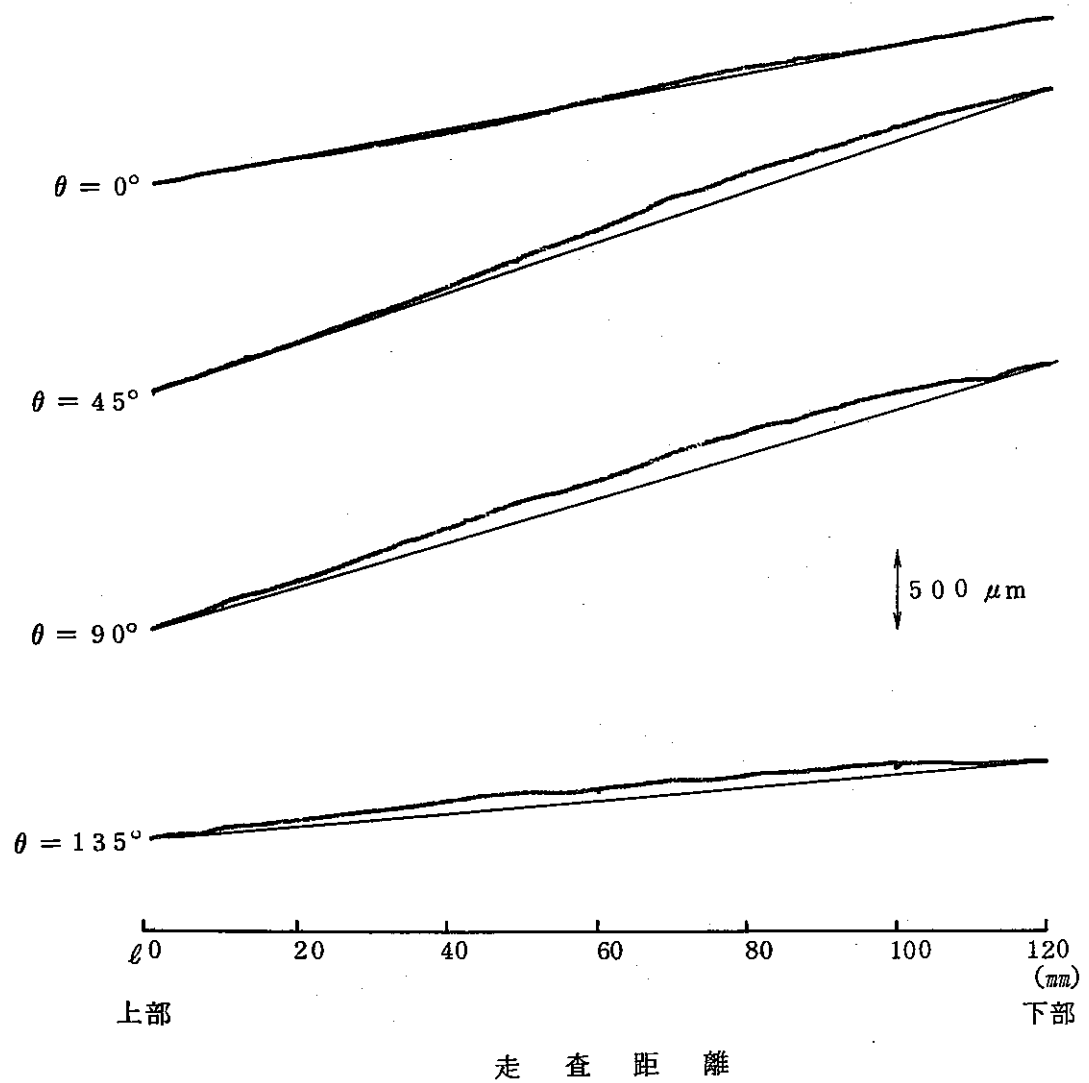


Fig 7(8) 照射後の曲がりプロフィール（試験番号：702-10）

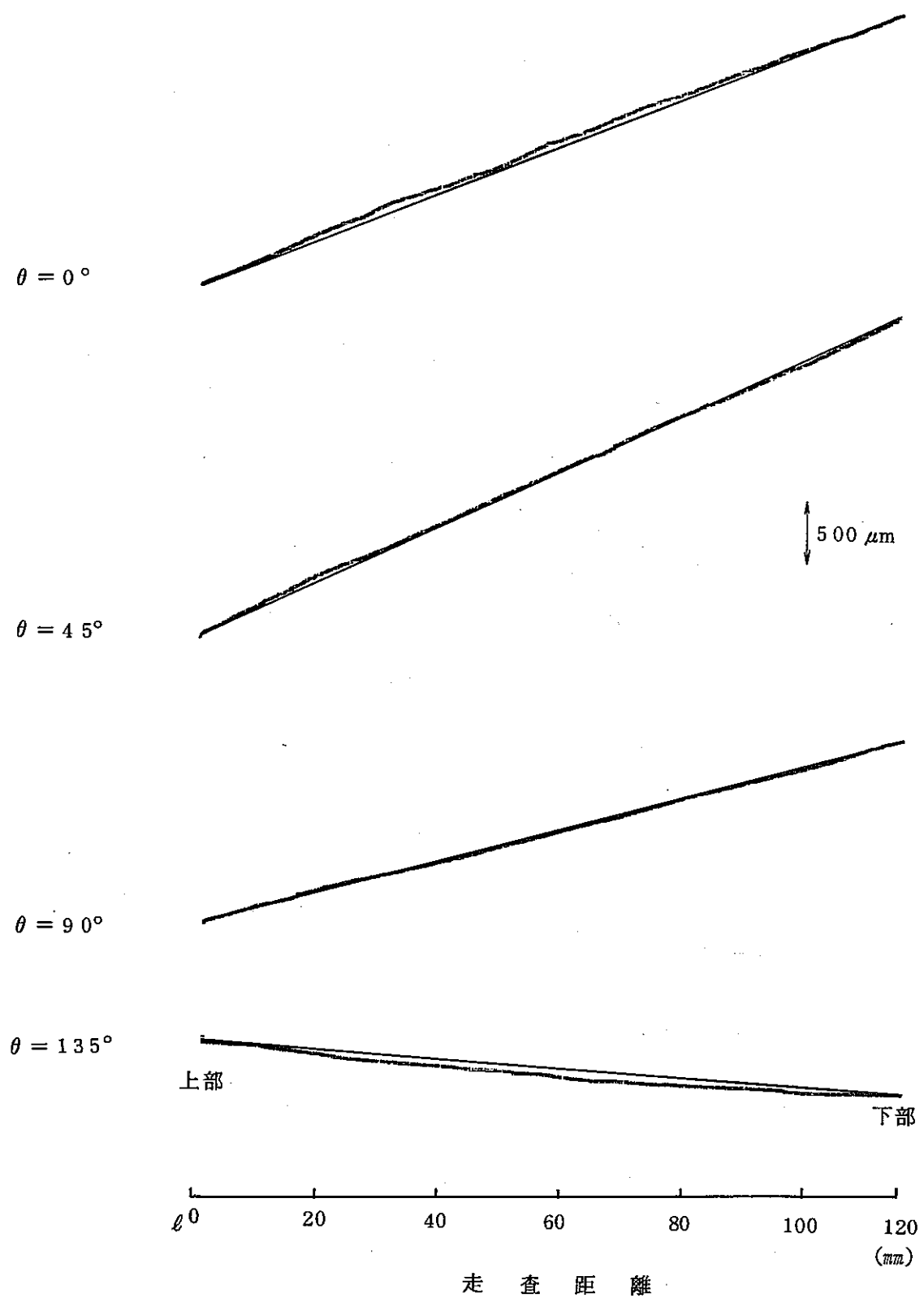


Fig 7(9) 照射後の曲がりプロフィール（試験番号：702-11）

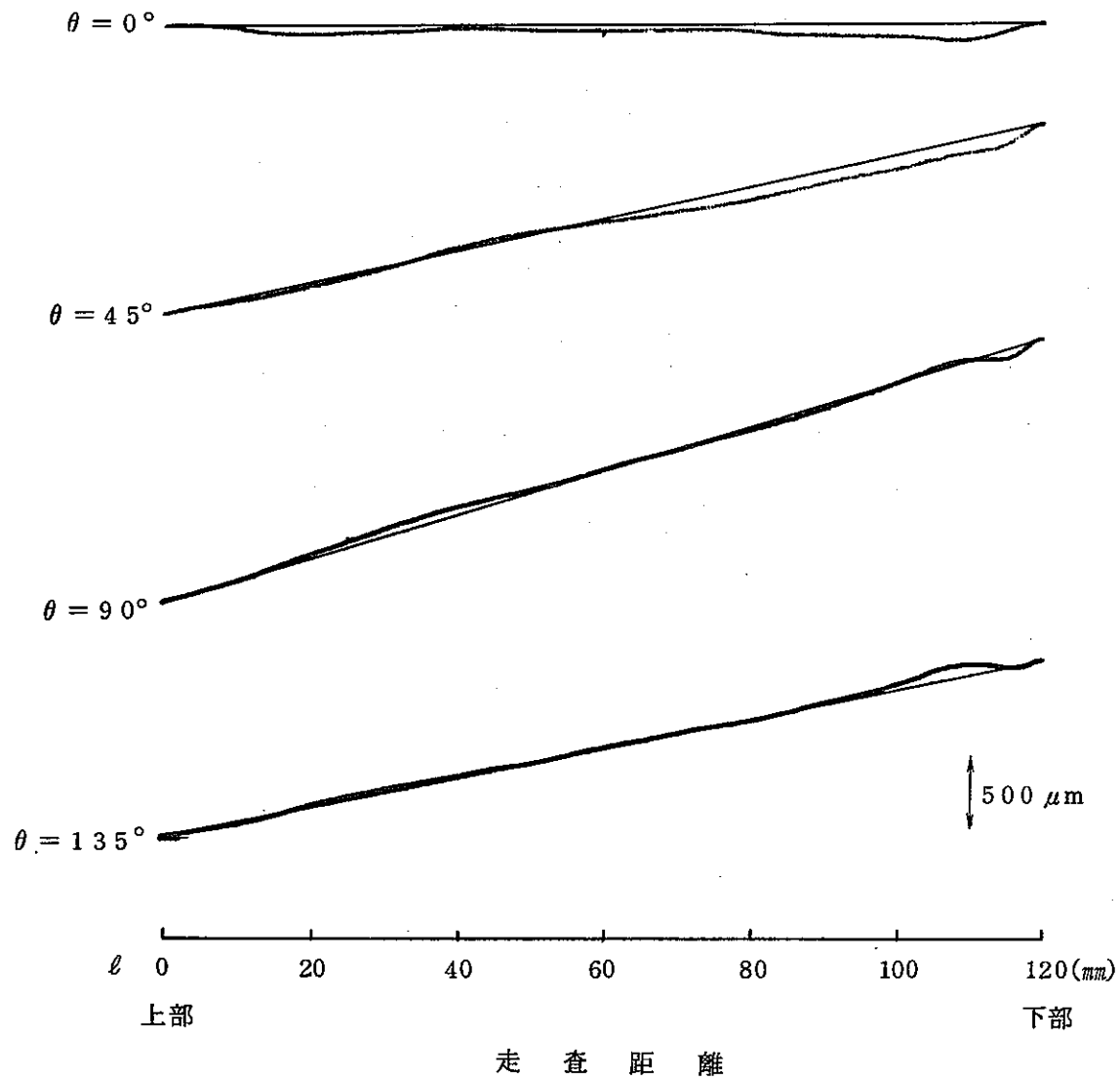


Fig 7(10) 照射後の曲がりプロフィール（試験番号：702-12）

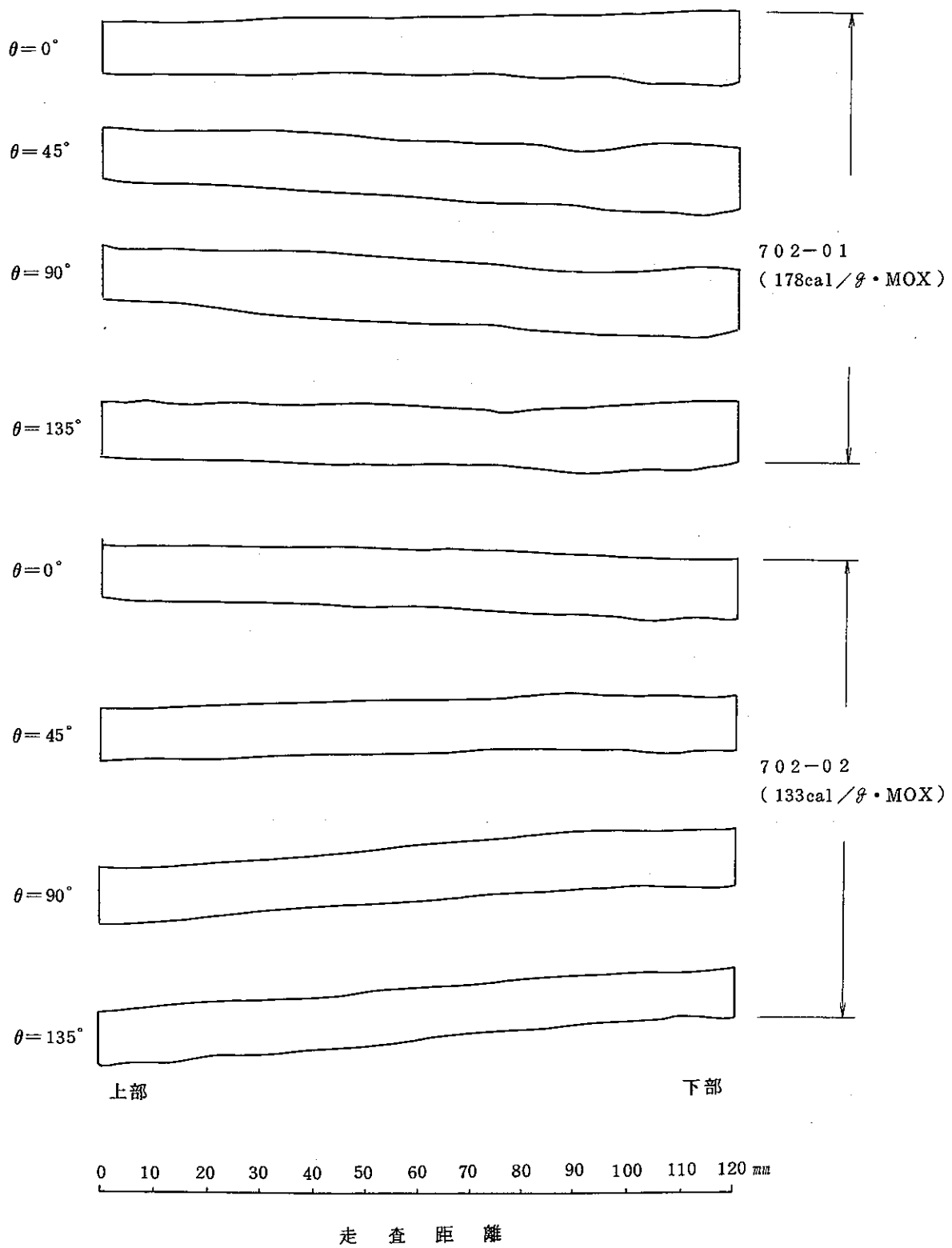


Fig 8 (1) 照射後の外表面変形形状

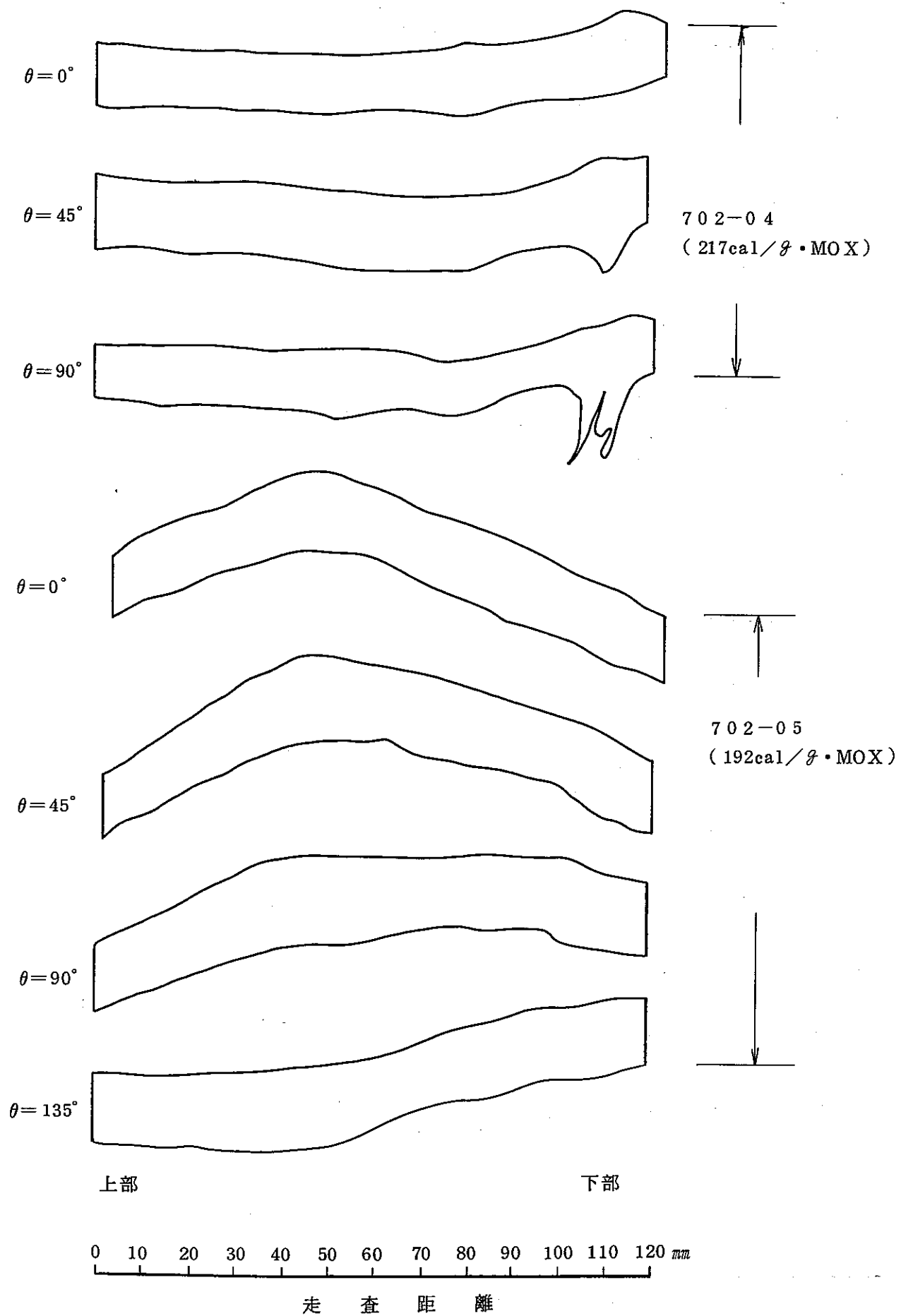


Fig 8 (2) 照射後の外表面変形形状

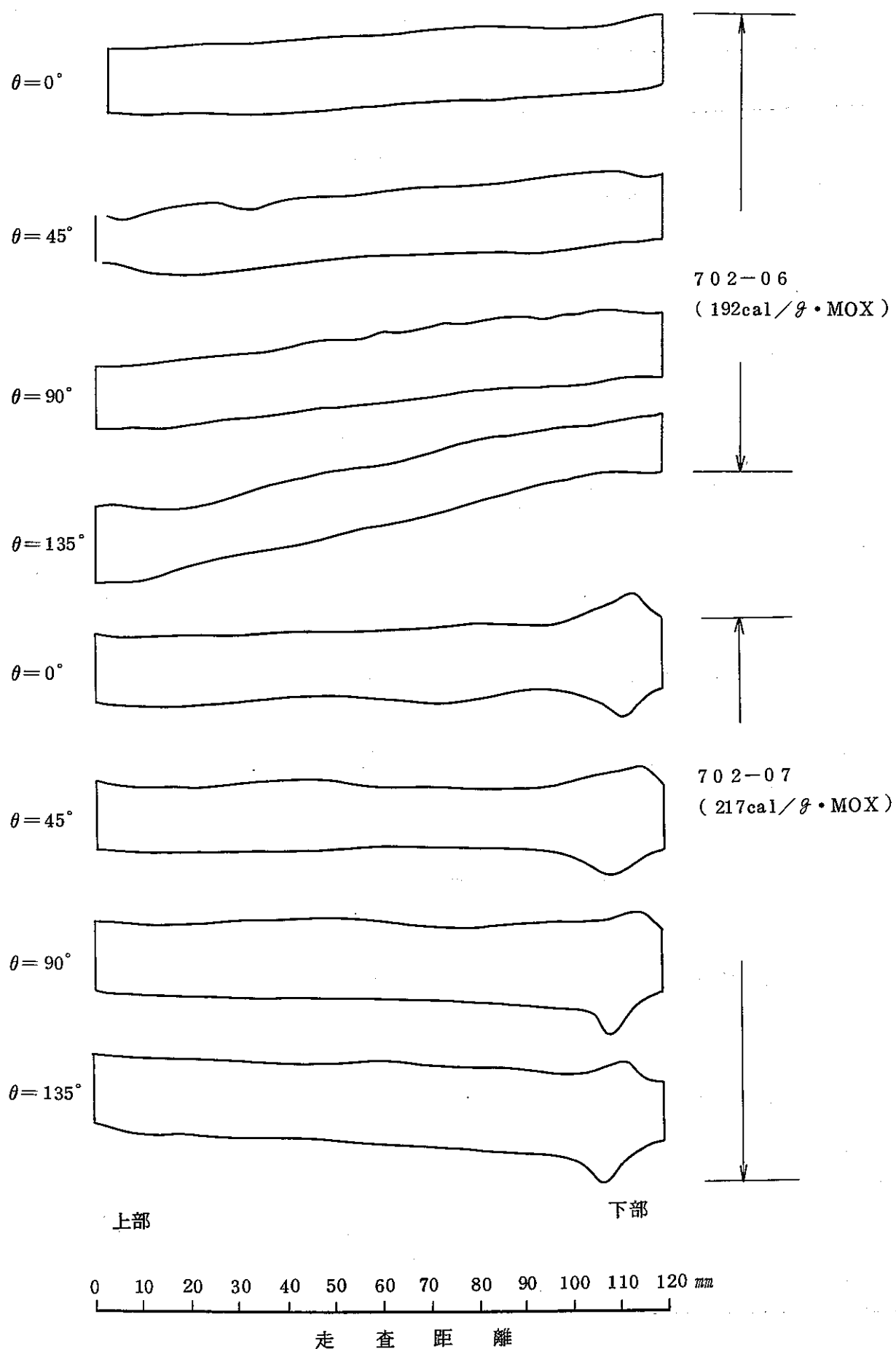


Fig 8(3) 照射後の外表面変形形状

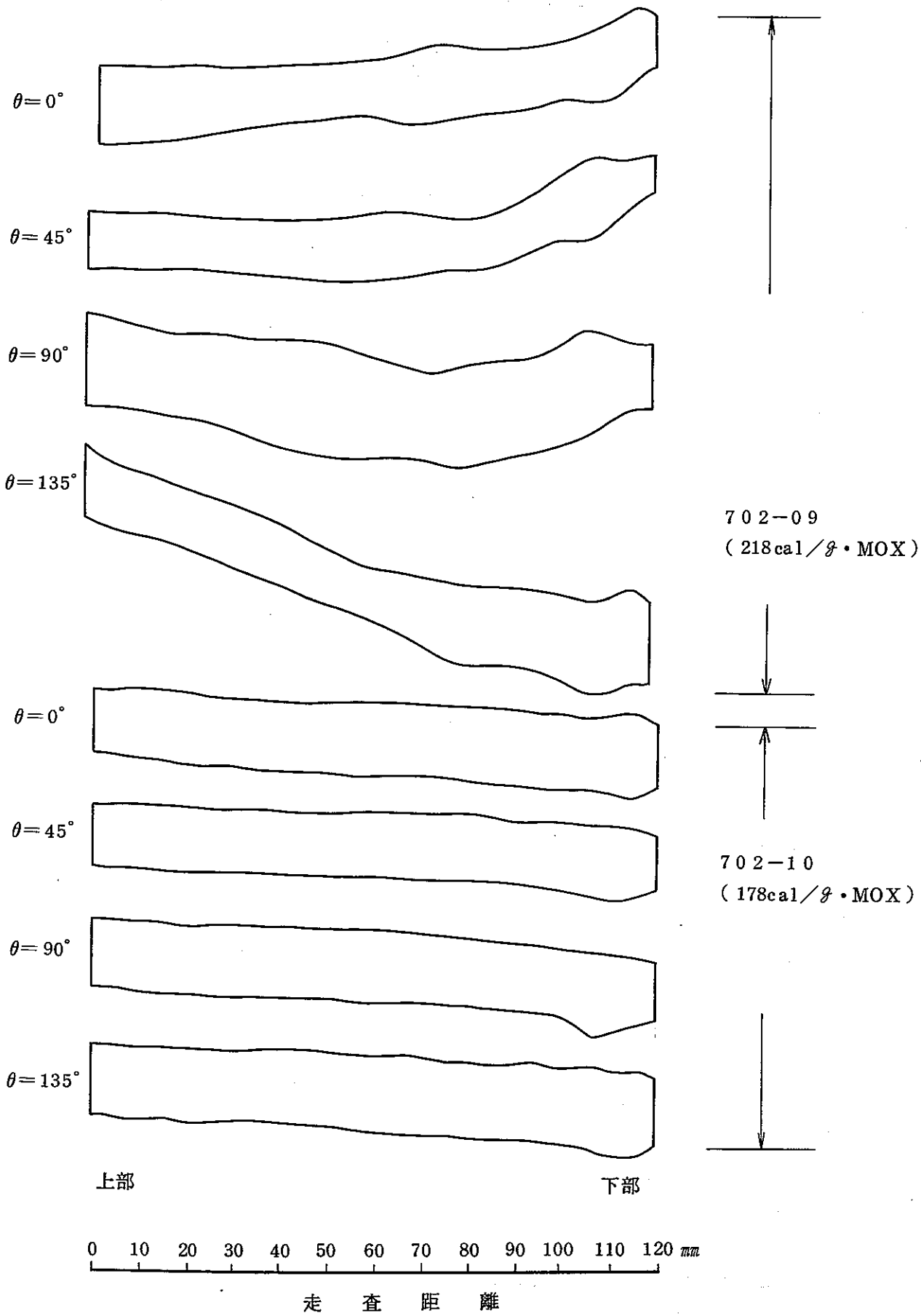


Fig 8 (4) 照射後の外表面変形形状

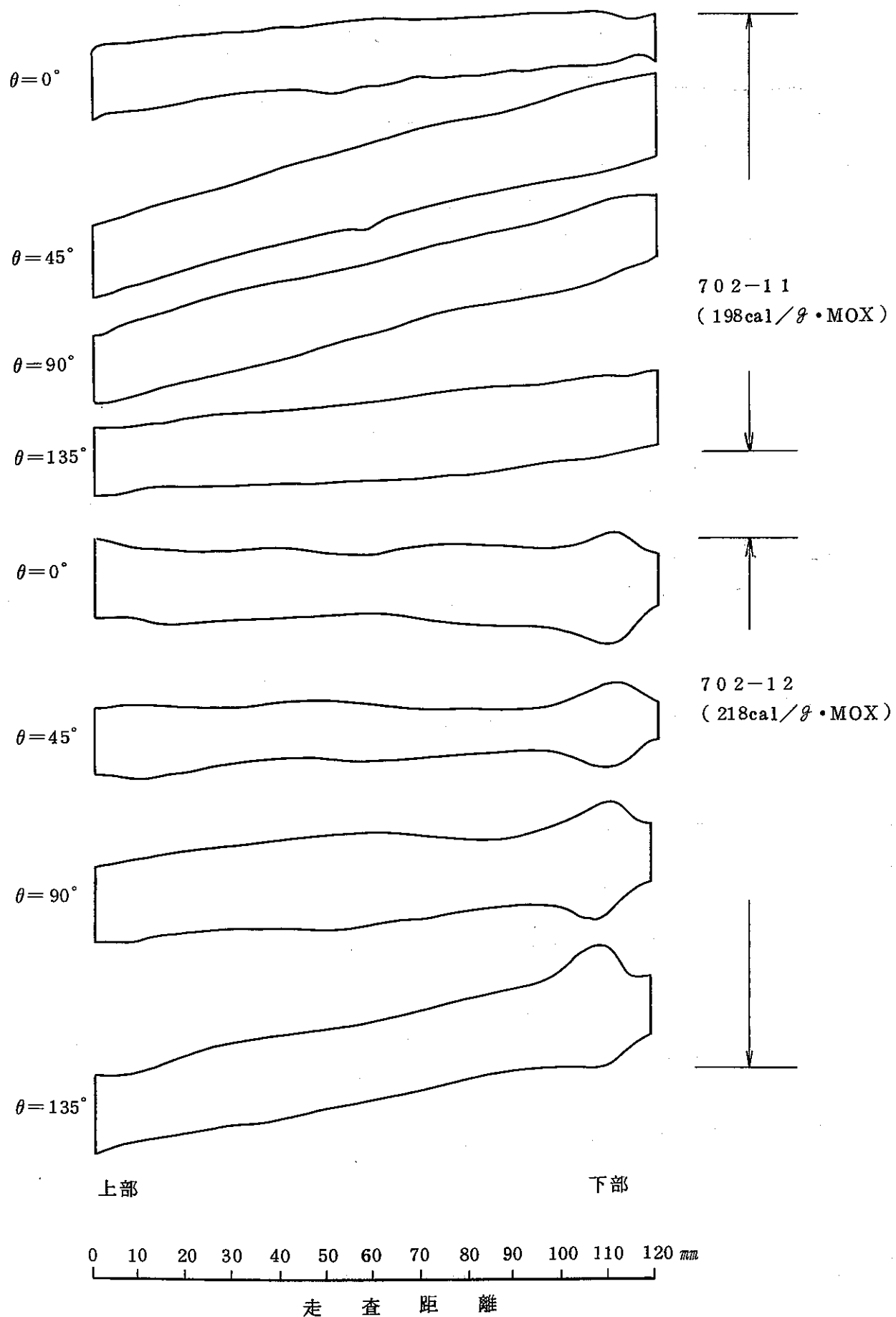


Fig 8 (5) 照射後の外表面変形形状

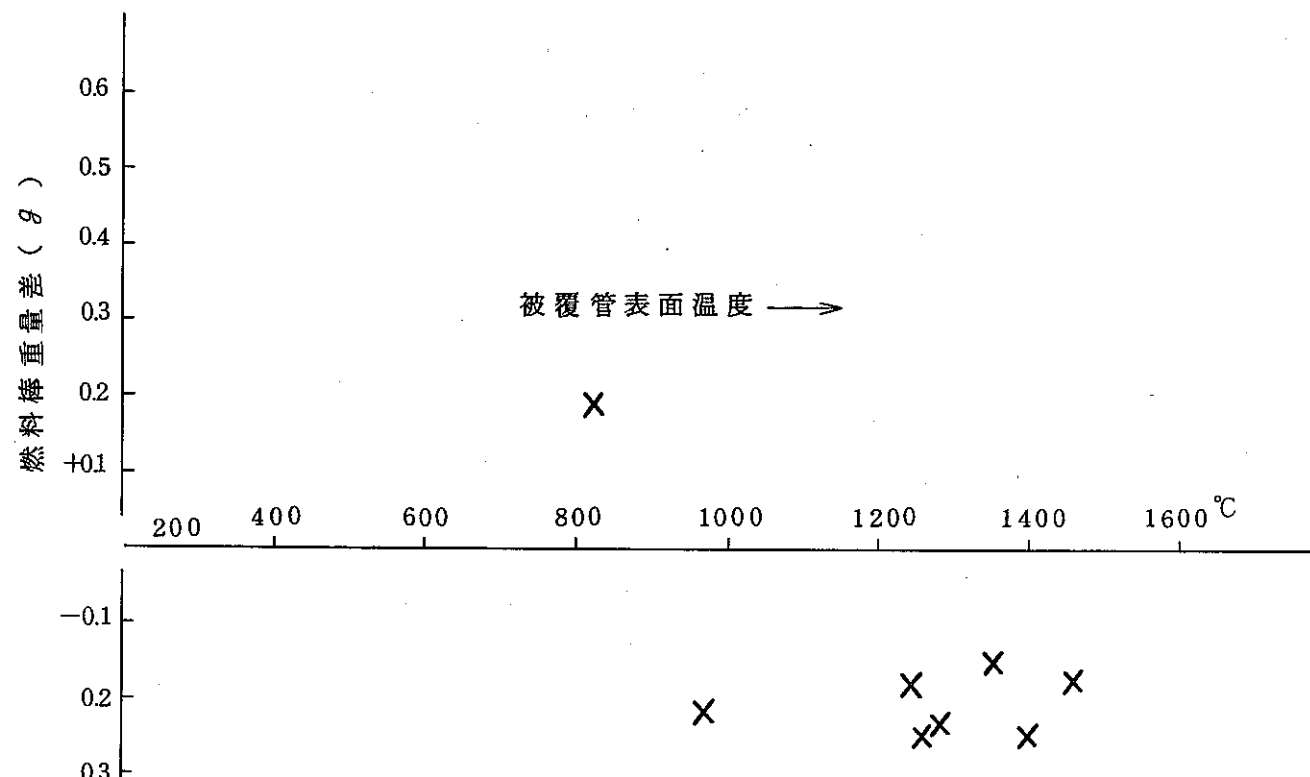


Fig 9 照射前・後に於ける燃料棒重量差

測定日付 S 59. 11. 09 (金)

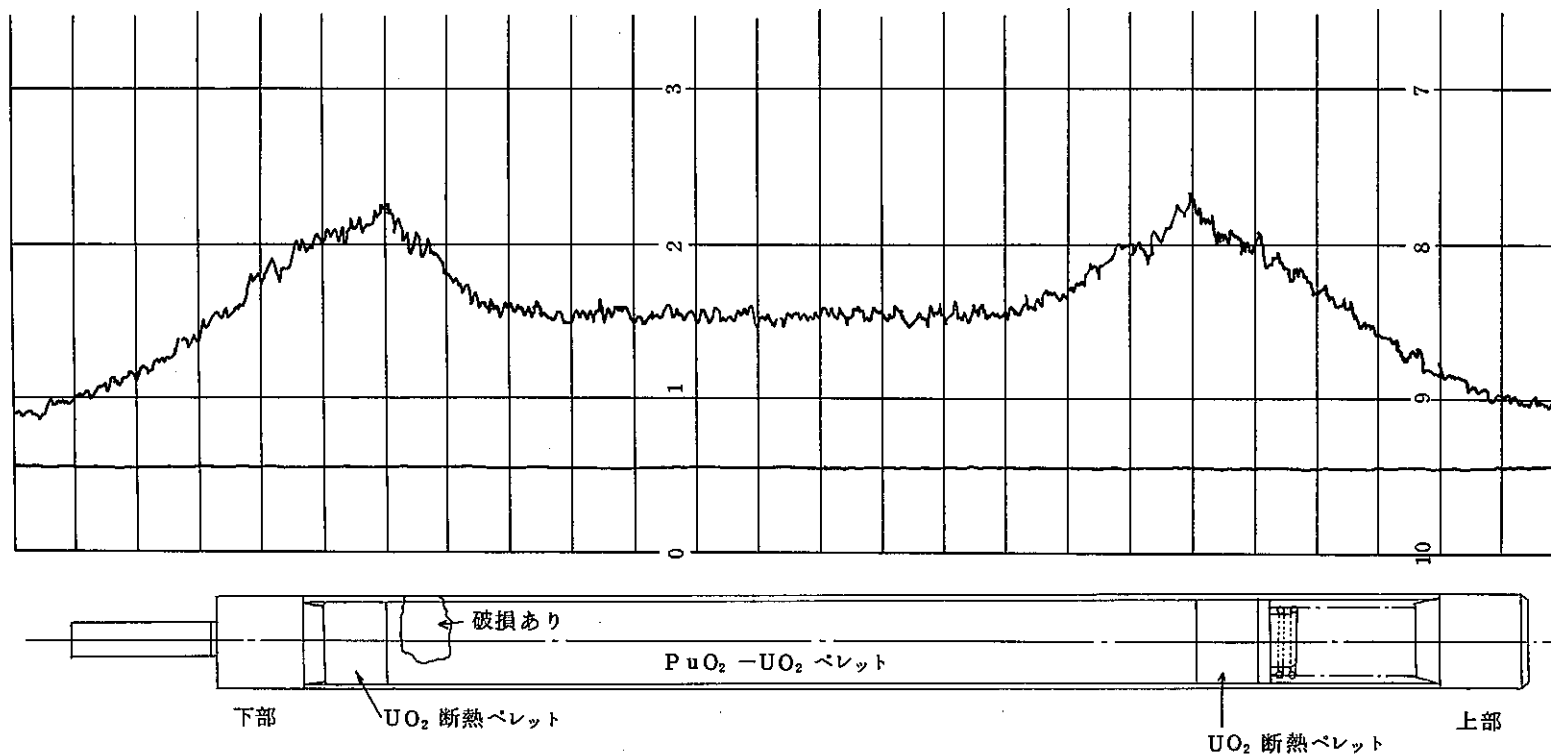


Fig 10 燃料ピンのγスキャン測定結果（試験番号：702-04）

Table 6 エックス線撮影観察結果

試験番号	燃料No.	ペレット伸び (mm)	* スタック長さ (mm)	ルネ長さ (mm)	観察結果
702-01	2-01	4	141.0	35.5	上部より MOXペレット1個目破断(幅MAX 2.0mm)
702-02	2-02	2	139.0	38.5	MOXペレットに変化なし
702-03	2-03	16	153.0	23.5	•下部より53.0~64.0mm間で破損(下部より MOXペレット1個目) •下部より MOXペレット3個目破断(幅MAX 2.0mm)
702-04	2-04	16	153.0	23.5	•下部より54.0~63.0mm間で破損(下部より MOXペレット1個目) •下部より MOXペレット4個目破断(幅MAX 0.5mm)
702-05	2-05	14	151.0	25.5	下部より MOXペレット2個目破断(幅MAX 2.5mm)
702-06	2-06	13.5	150.5	25.5	下部より MOXペレット2,7,8個目破断(幅MAX 1.6mm)
702-07	2-07	14.5	151.5	23.5	下部より53.0~65.0mm間で大きく脹む(ギャップ MAX 0.2mm)
702-08	2-08	—	—	—	•下部より54.5~60.5mm間で破断 •上部より55.0~68.0mm間で大きく脹む(ギャップ MAX 0.5mm)
702-09	2-09	15.5	152.5	23.5	•下部側よりMOXペレット4個目破断(幅1.5~1.6mm) •下部より52.0mm~185.0mm間に亘り被覆管脹む(ギャップ0.3mm)
702-10	2-10	7.5	144.5	32.0	上部側よりMOXペレット1個目破断(幅1.6~3.5mm)
702-11	2-11	13	150.0	26.5	上部側よりMOXペレット2個目破断(幅2.5mm)
702-12	2-12	15.5	152.5	24.5	•下部側よりMOXペレット1個目で被覆管脹む •被覆管とペレットのギャップ MAX 0.35~0.4mm

* スタック長さはUO₂断熱ペレットを含んだ寸法
 ペレット・スタック長 : 137mm
 混合酸化物部 ; 117±1mm
 天然ウラン部 ; 20mm

Table 7 研磨条件

工程	研磨紙等	重錘 (g)	時間 (min)
粗研摩	ダイヤモンドパット (#1000)	500	10
	ラッピングディスク		
	ラッピングダイヤ液	500	20
仕上研摩	ポリッシングディスク		
	ポリッシングダイヤ液	1000	20

Table 8 電解腐食・化学腐食及び導電蒸着条件

電解腐食条件		導電蒸着条件	化学腐食	
高電圧 (KV)	1.95	1.95	腐食液	$H_2O + H_2SO_4 + H_2O_2$
マグネット電流 (A)	0.8	0.8	混合比	43 : 5 : 2
カソード電流 (A)	11	11	中和液	NaOH
真空度 (Torr)	1×10^{-5}	1×10^{-5}	処理時間 (min)	30
処理時間 (min)	40	60		

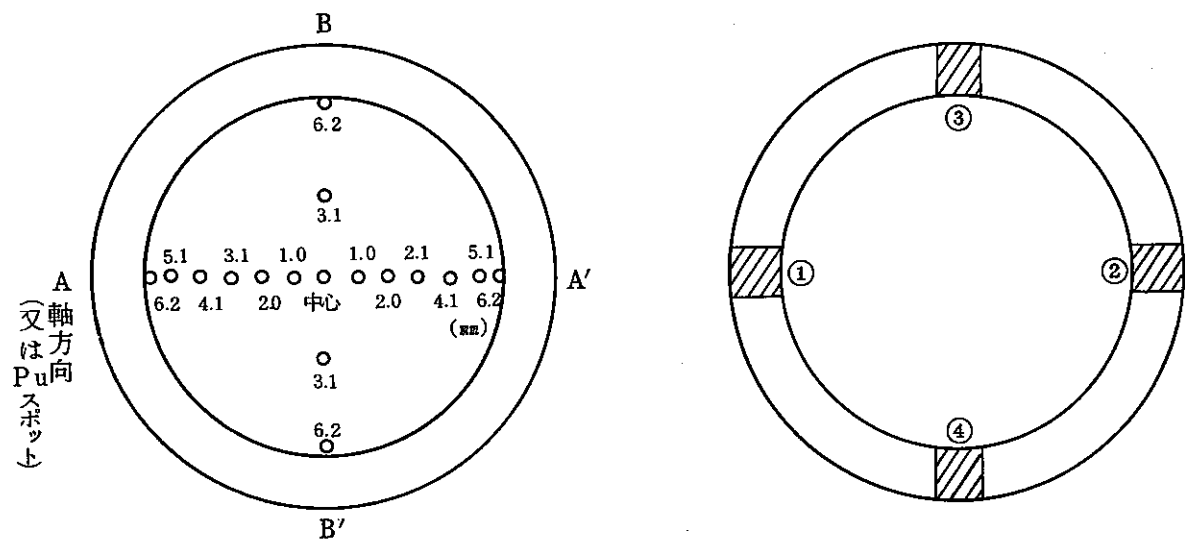


Fig 11 ペレット及び被覆管の結晶粒径測定点略図

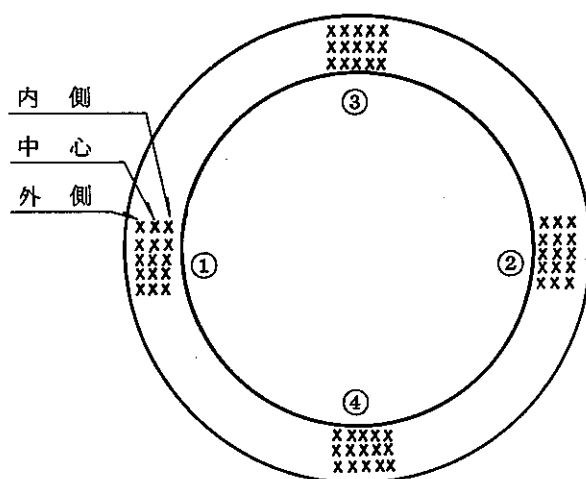


Fig 12 硬度測定点略図

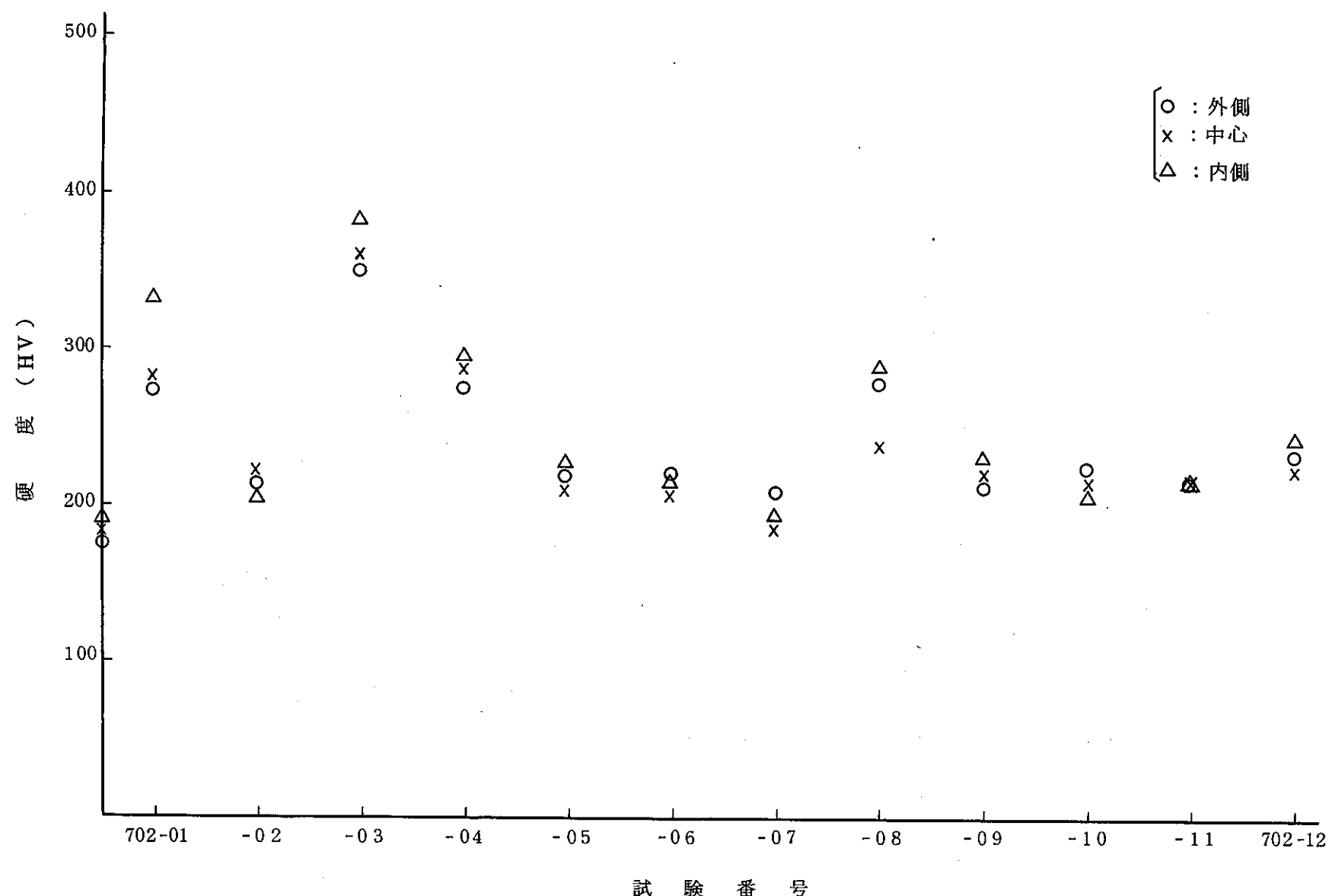
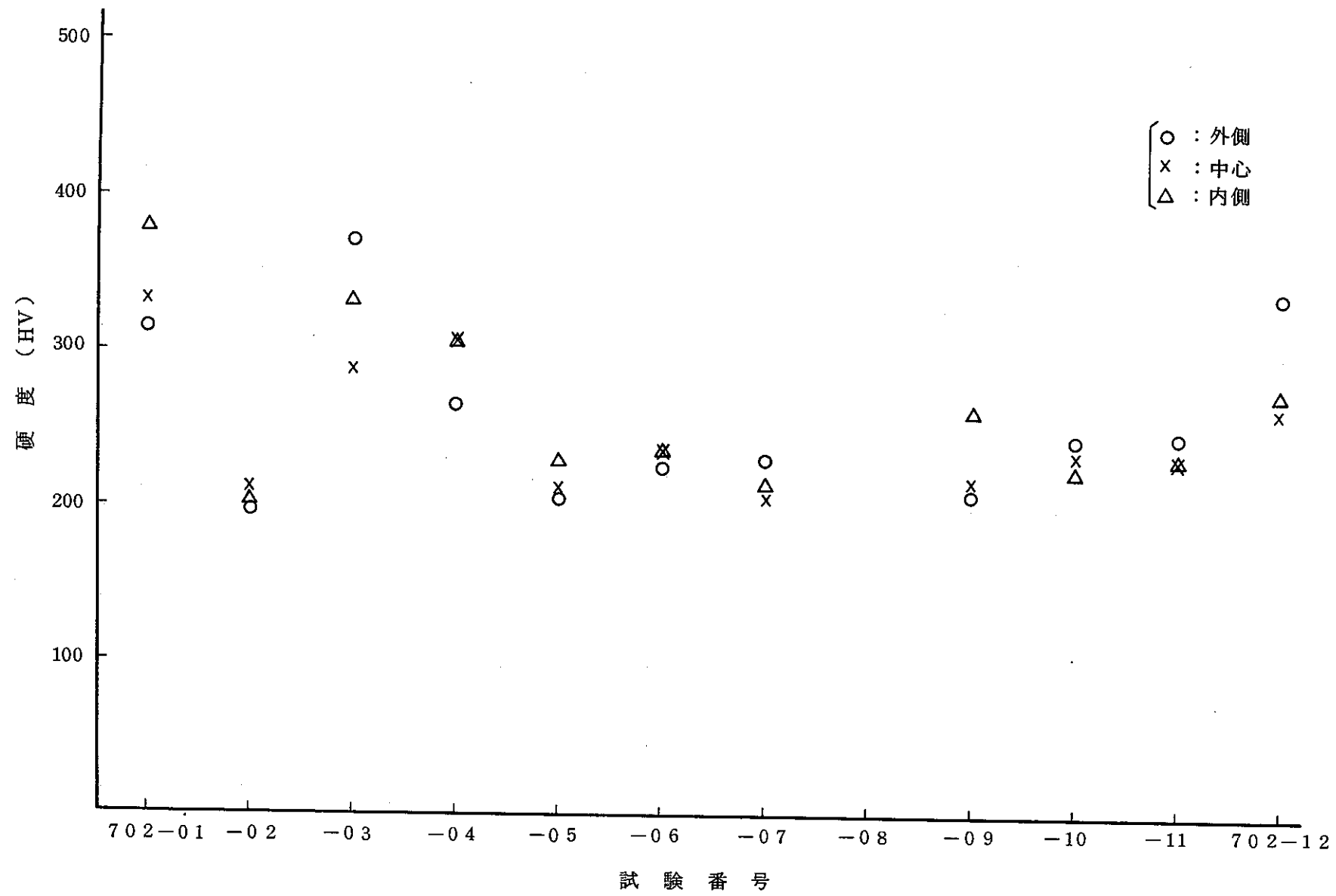


Fig 13(1) 試験番号毎の硬度（全試料）



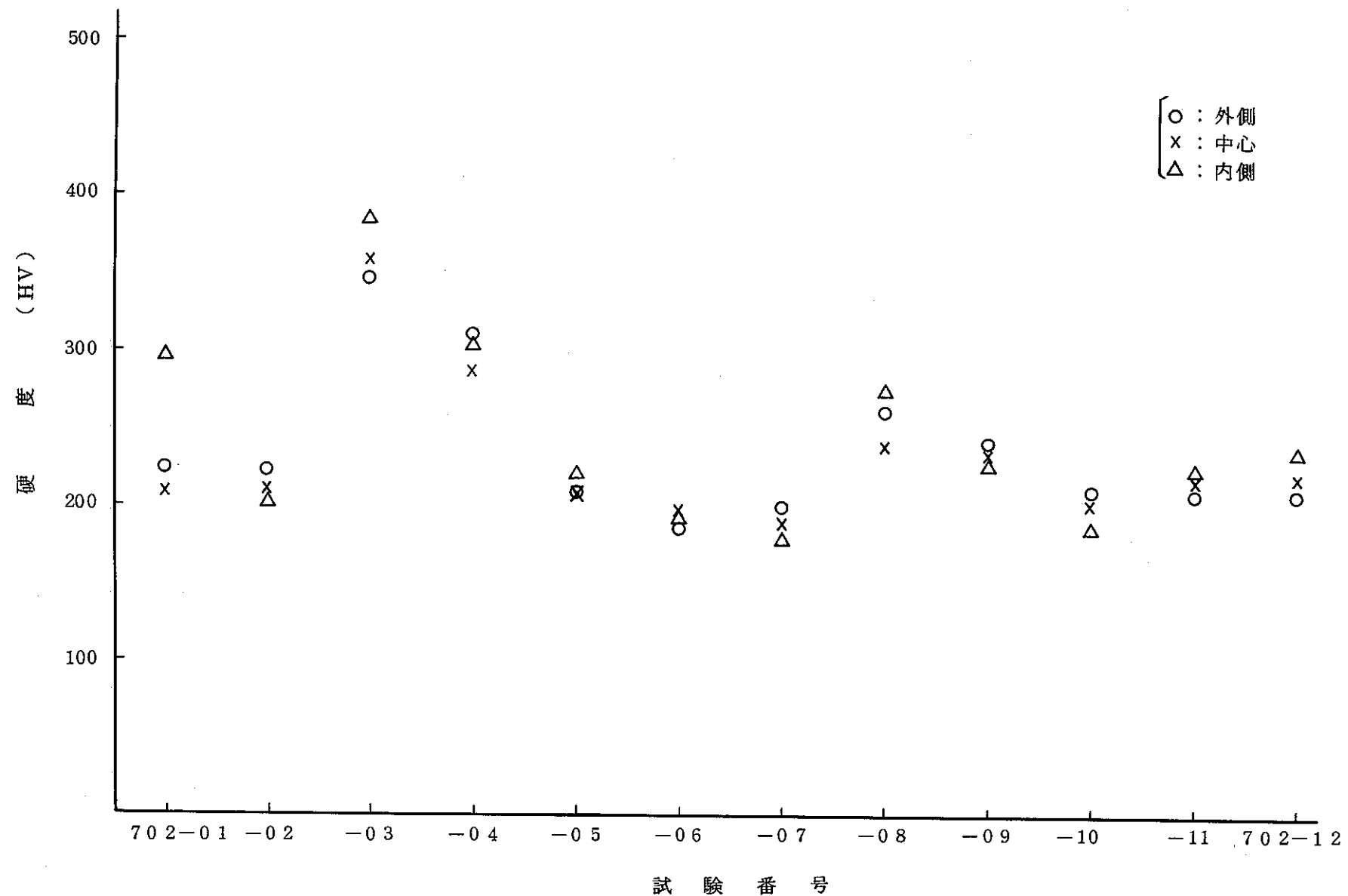


Fig 1 3 (3) 試験番号毎の硬度 (ペレット No. 5)

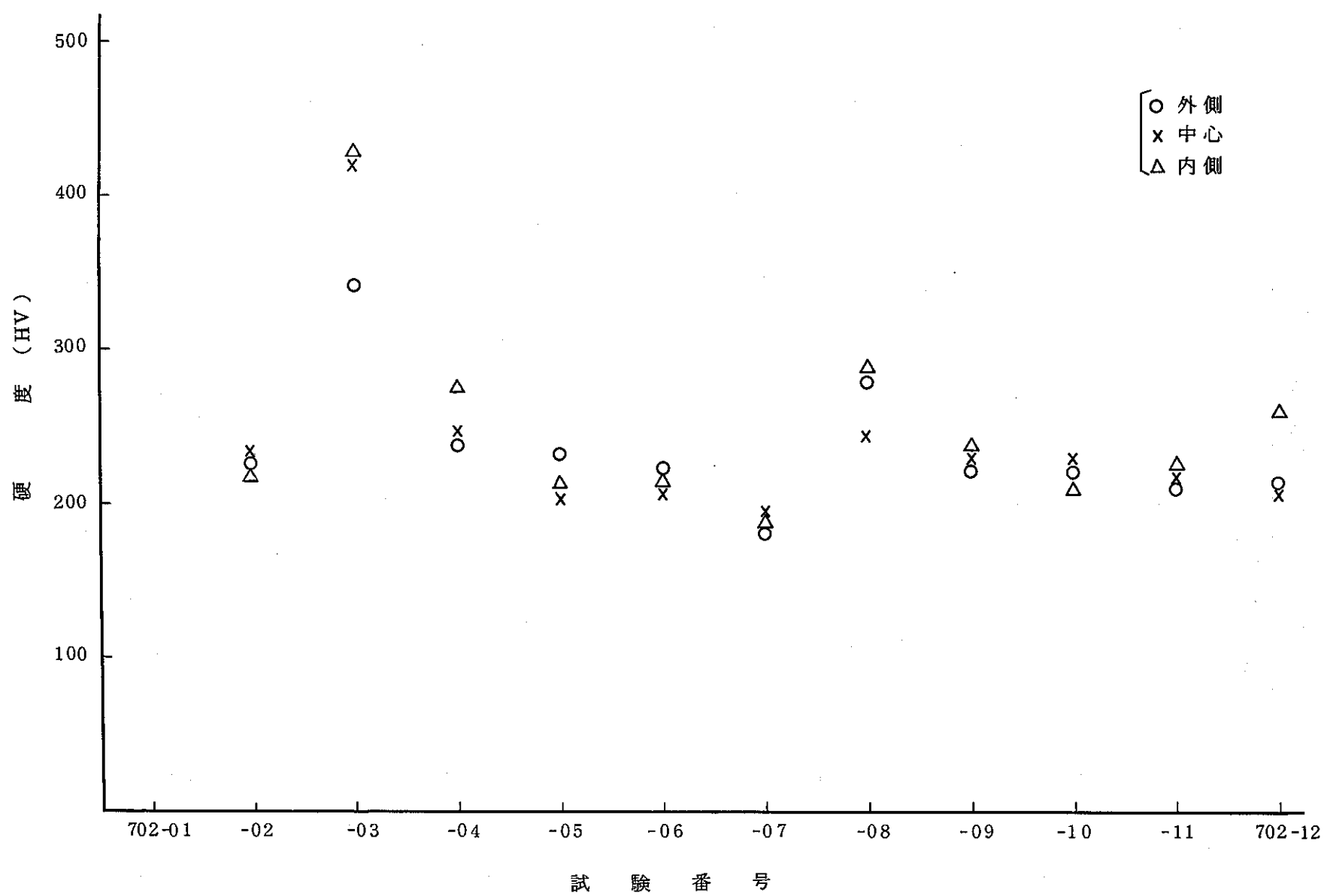


Fig 1 3(4) 試験番号毎の硬度 (ペレットNo 9)

Table 9 照射後のPuスポット測定結果

試験番号 (ペレット No.)	スポット径	試験番号 (ペレット No.)	スポット径	試験番号 (ペレット No.)	スポット径
702-01 No.1	—	702-05 No.1	—	702-09 No.1	—
2	—	2	—	2	—
5	—	5	—	5	—
8	—	8	—	8	—
		9	—	9	—
702-02 No.1	346 μ m	702-06 No.1	—	702-10 No.1	—
2	—	2	—	2	—
5	95 μ m	5	—	5	—
8	—	8	—	8	899 μ m
9	—	9	—	9	—
702-03 No.1	—	702-07 No.1	—	702-11 No.1	—
2	—	2	—	2	—
5	—	5	—	5	—
8	—	8	—	8	—
9	—	9	—	9	—
702-04 No.1	—	702-08 No.2	—	702-12 No.1	—
2	180 μ m	No.2	—	2	—
5	—	5	—	5	—
8	—	8	—	8	—
9	—	9	—	9	—

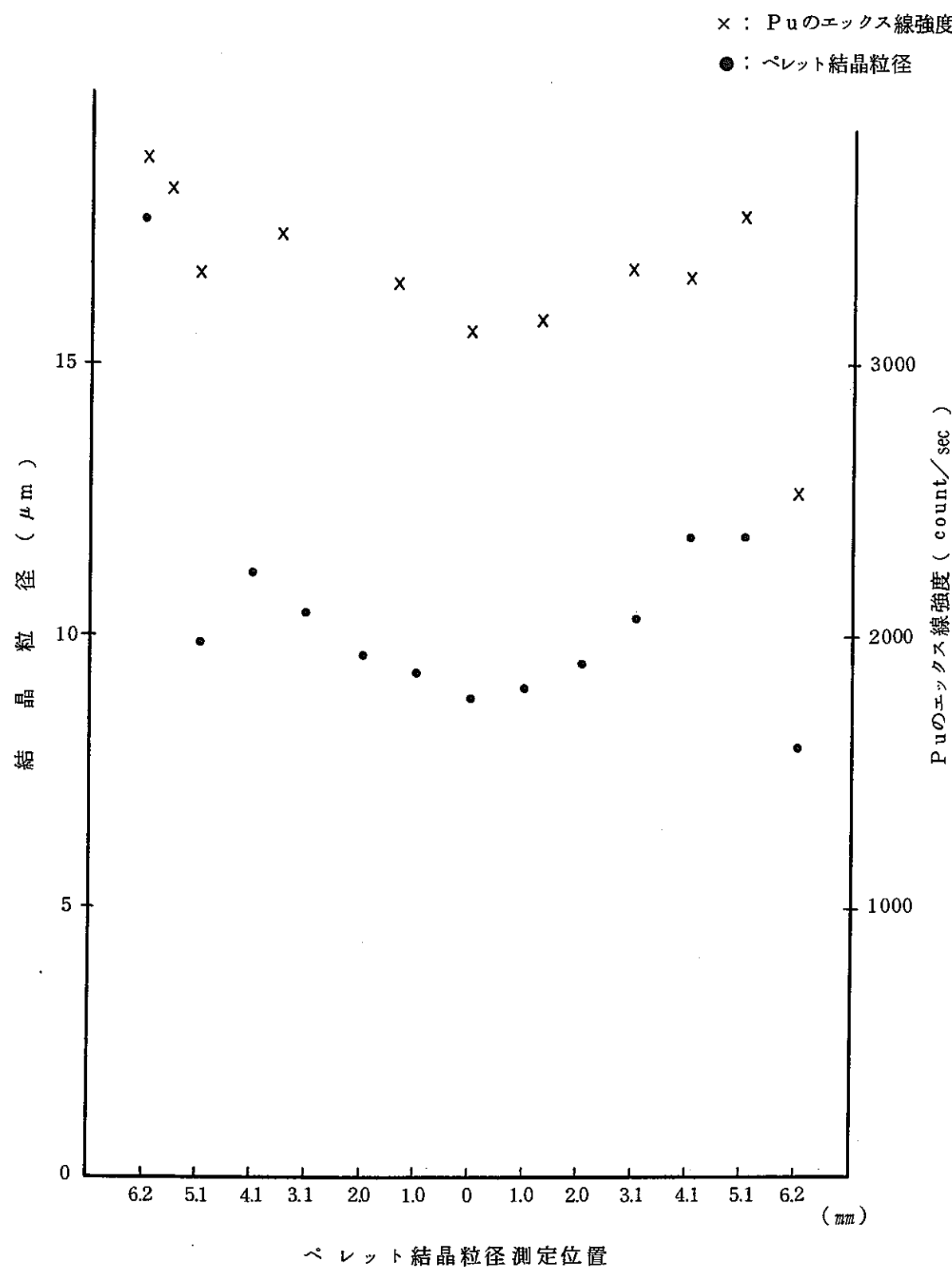


Fig 1.4(1) Puのエックス線強度と結晶粒径の関係 (試験番号: 702-03, ベレットNo.1)

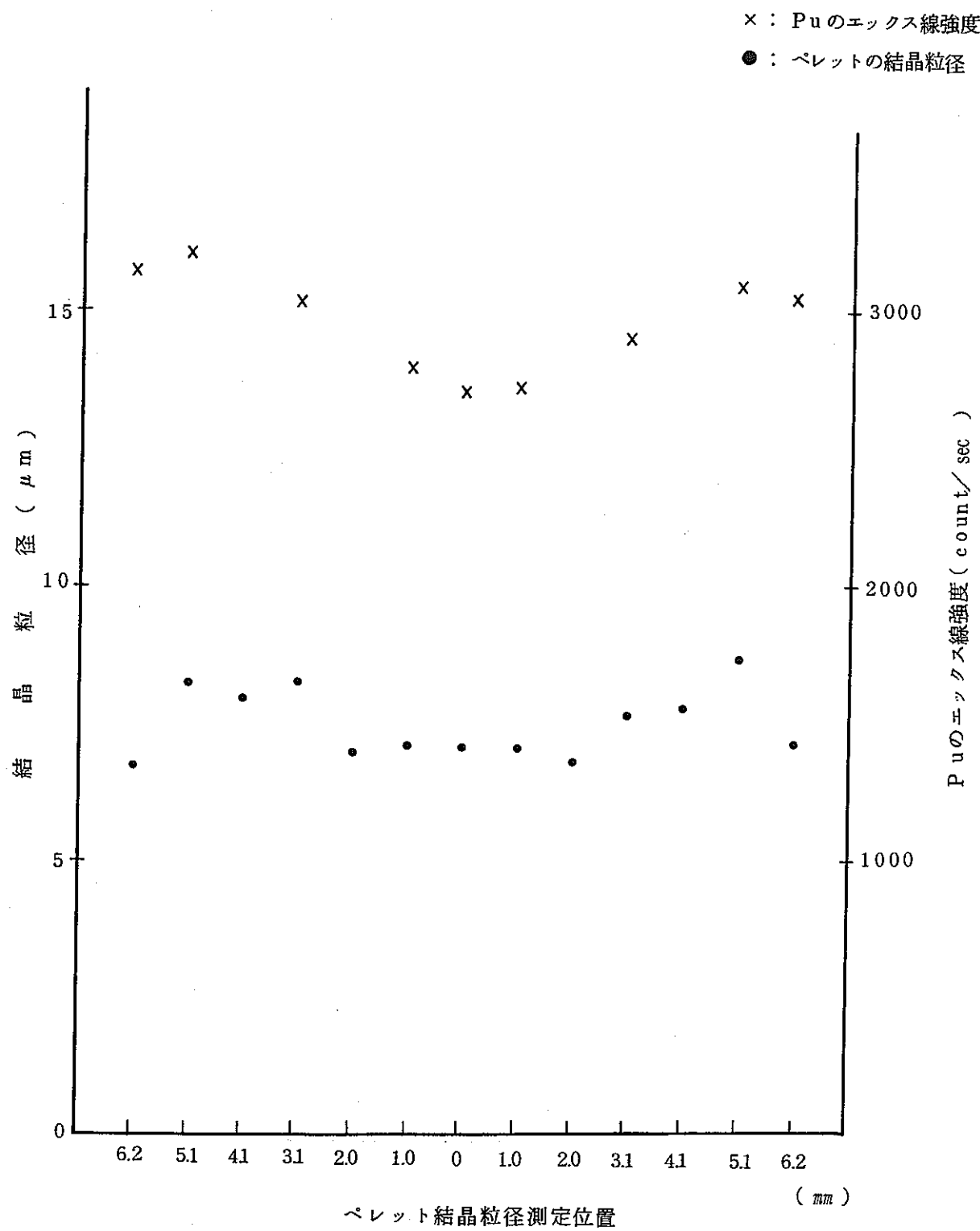


Fig 1 4(2) Puのエックス線強度と結晶粒径の関係(試験番号: 702-05, ペレット No 1)

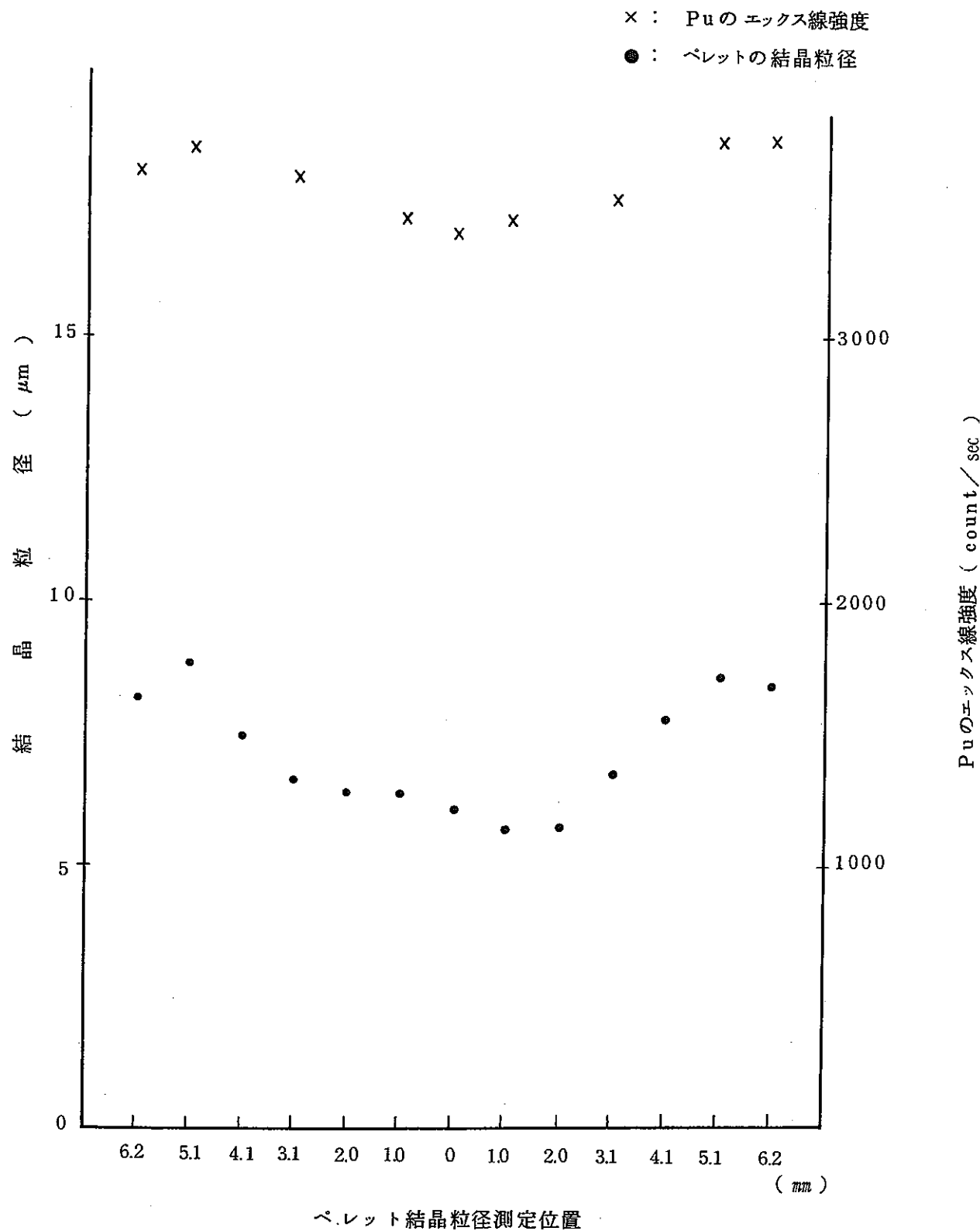


Fig 1 4 (3) Pu の エックス線強度と結晶粒径の関係(試験番号: 702-09, ベレット No 1)

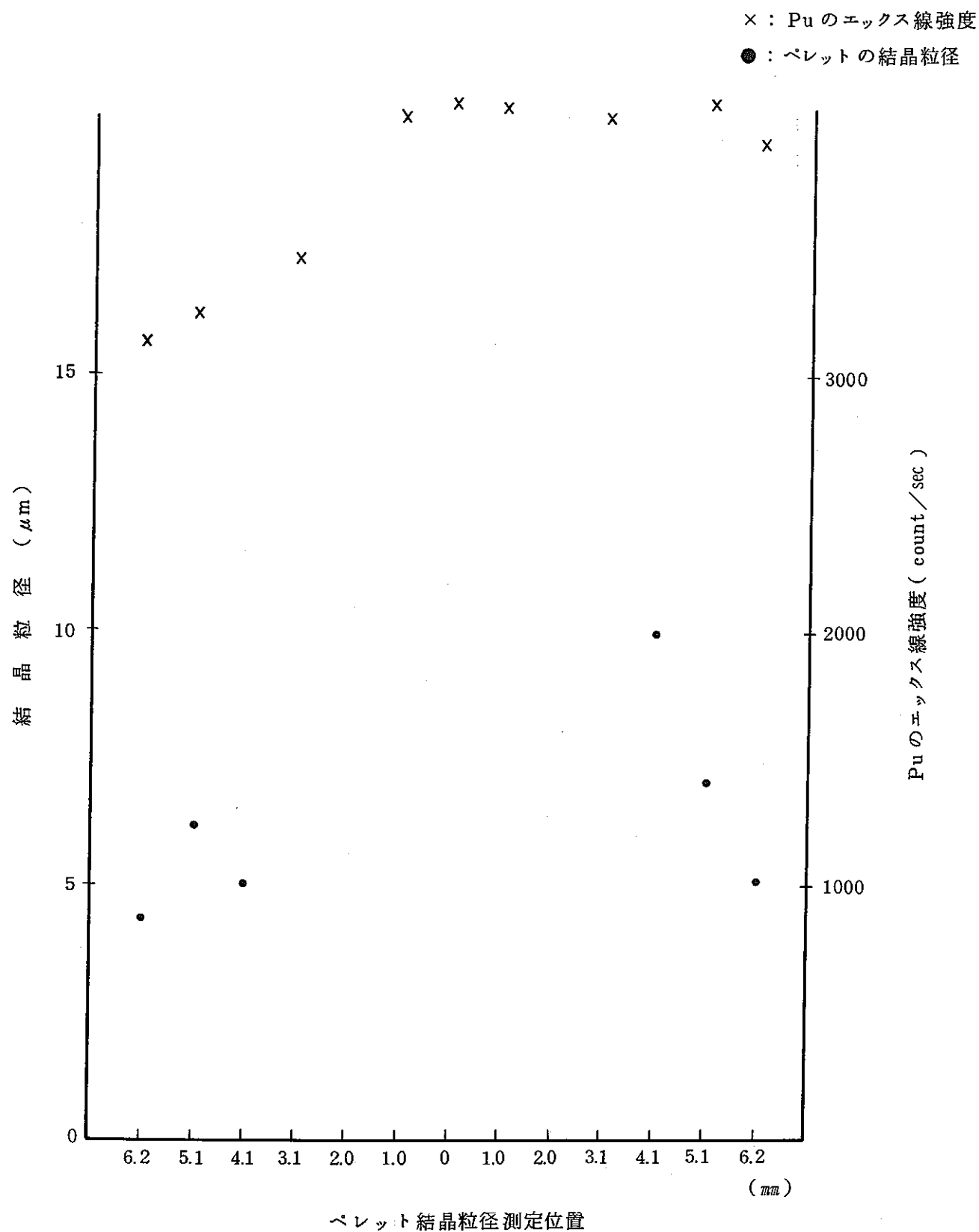


Fig 1 4 (4) Puのエックス線強度と結晶粒径の関係(試験番号: 702-10, ペレット No. 1)

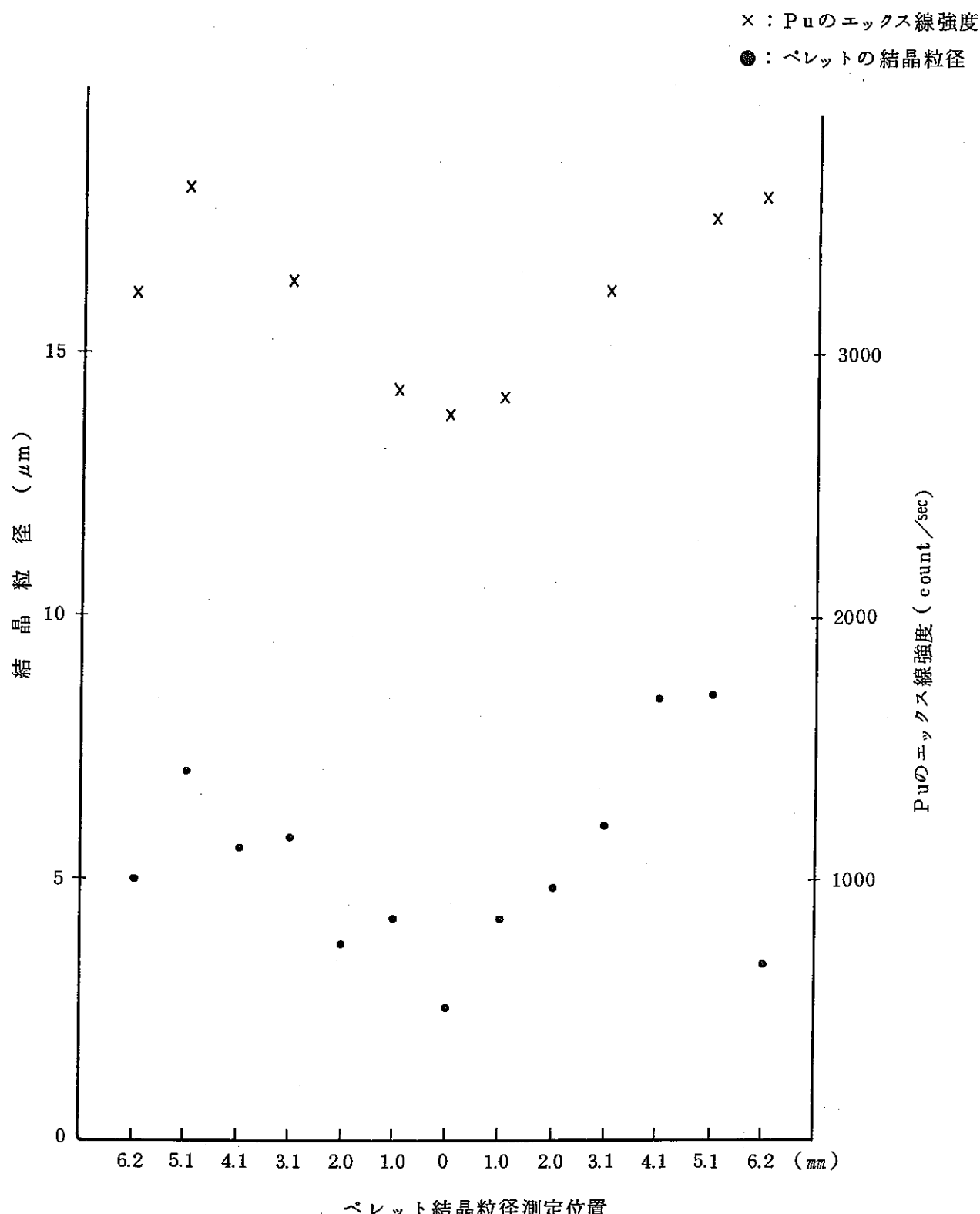


Fig 1 4 (5) Puのエックス線強度と結晶粒径の関係（試験番号：702-11, ペレットNo 1）

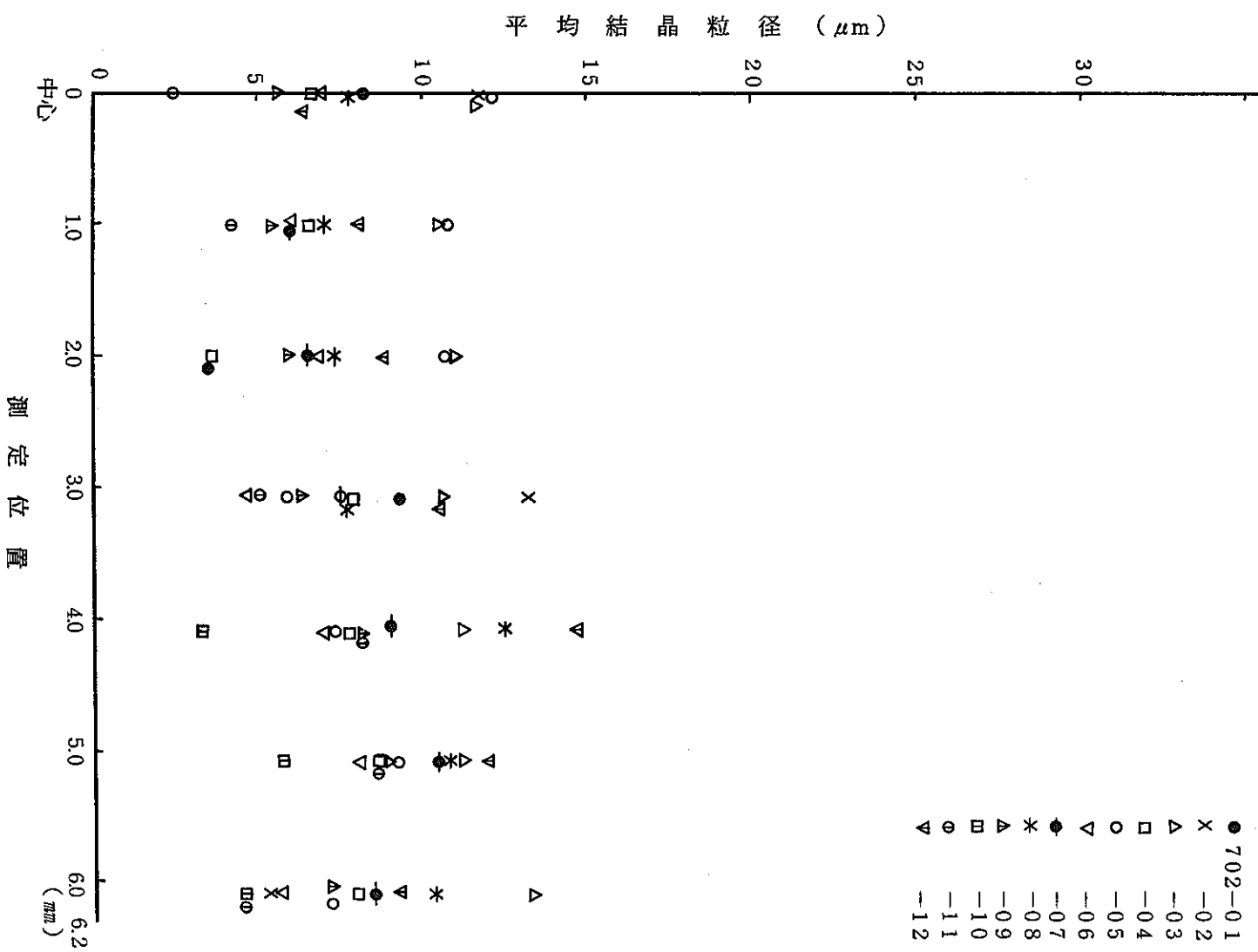


Fig 15(1) 燃料ペレットの結晶粒径分布(半径方向)

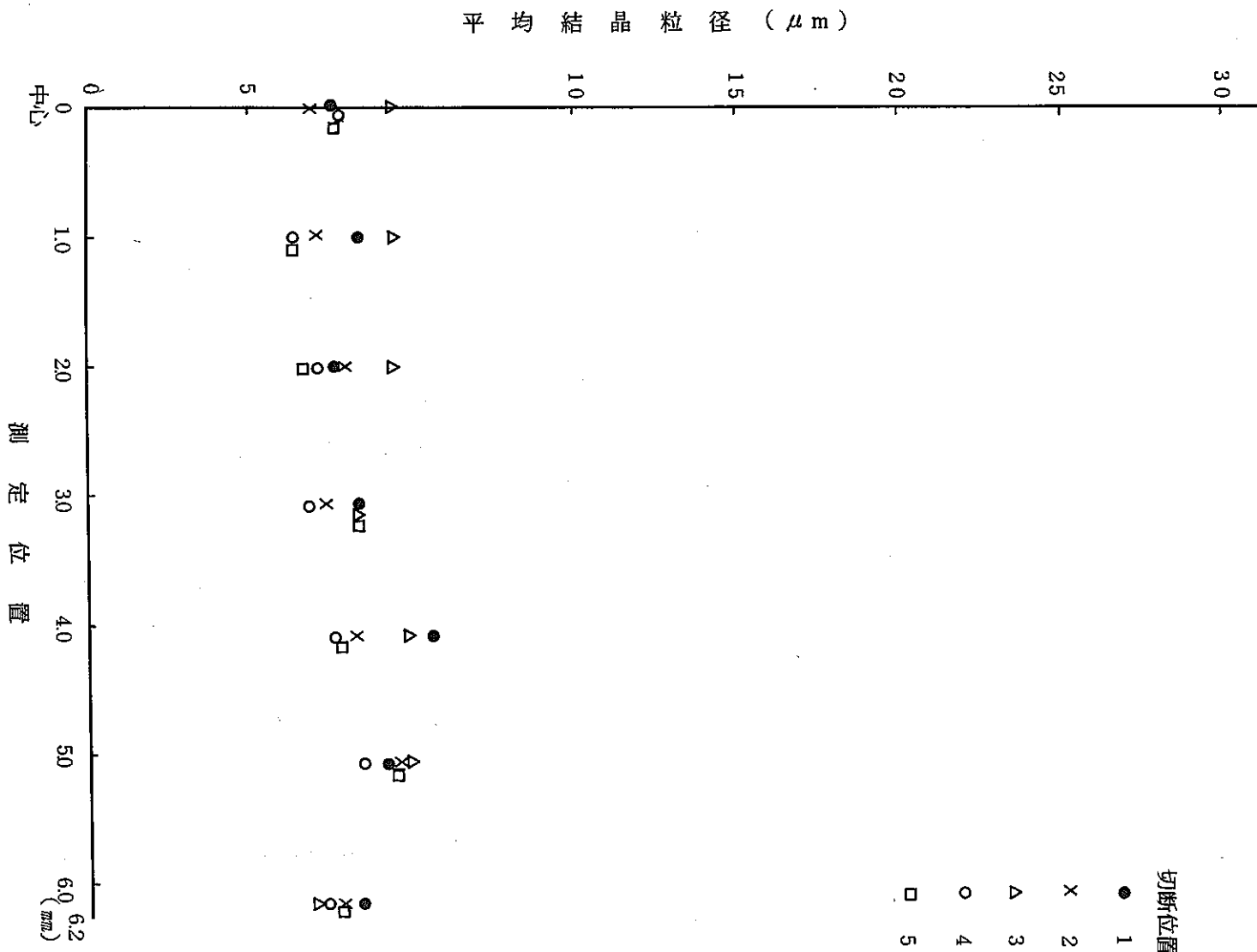


Fig 15(2)

燃料ペレットの結晶粒径分布(半径方向)

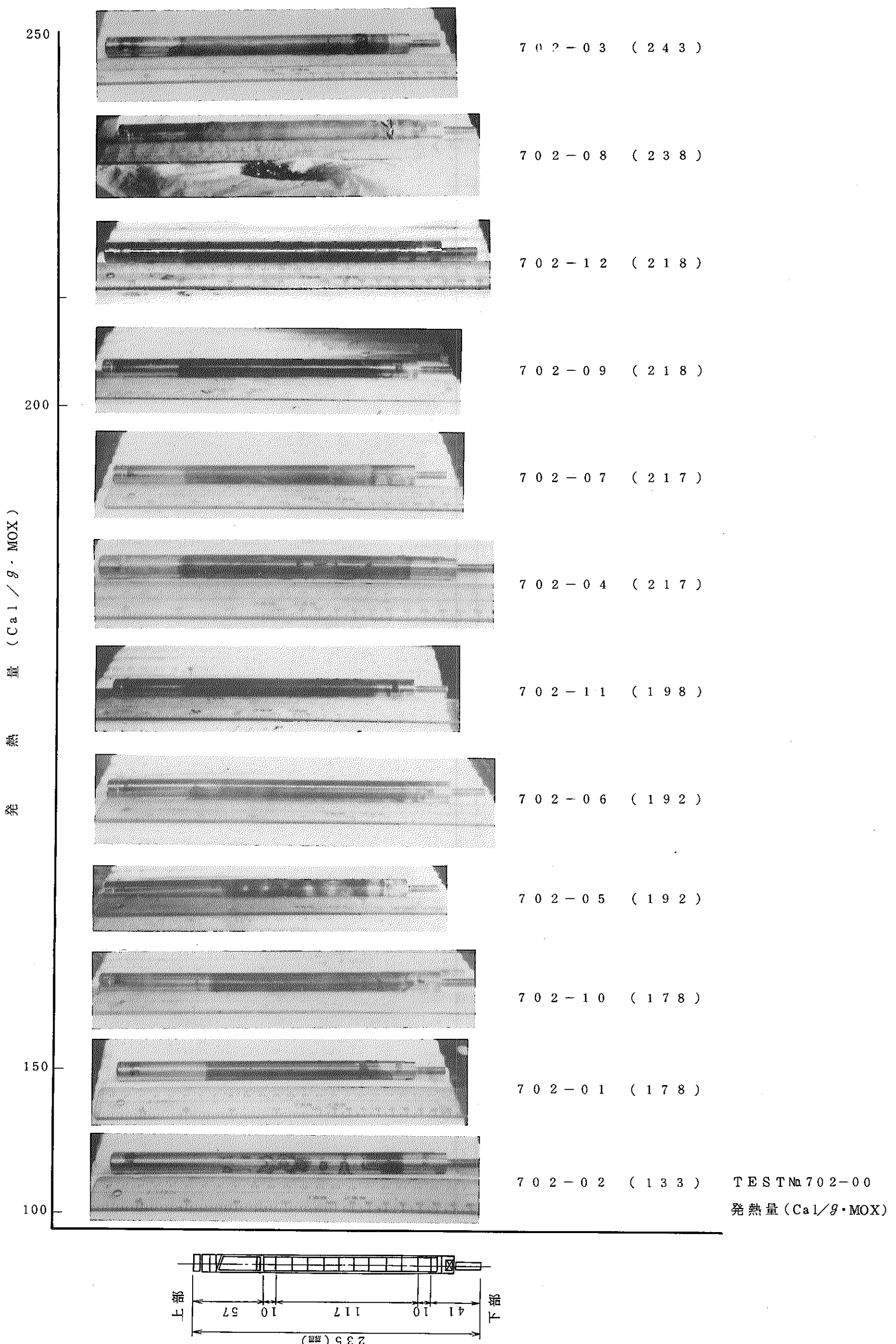


Photo 1 燃料ピン外観の発熱量依存性

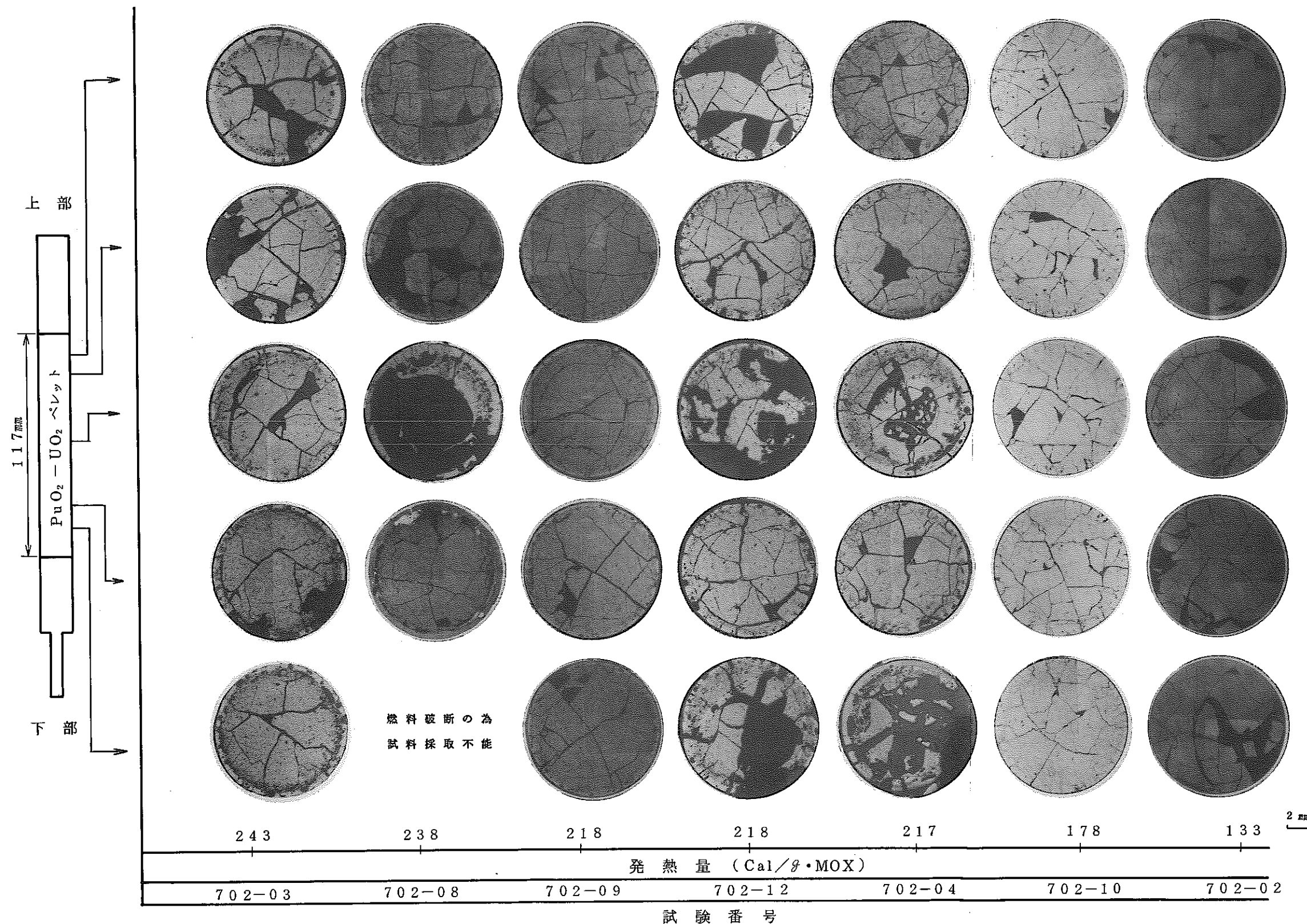


Photo 2 燃料棒断面金相の発熱量依存性(マクロ)

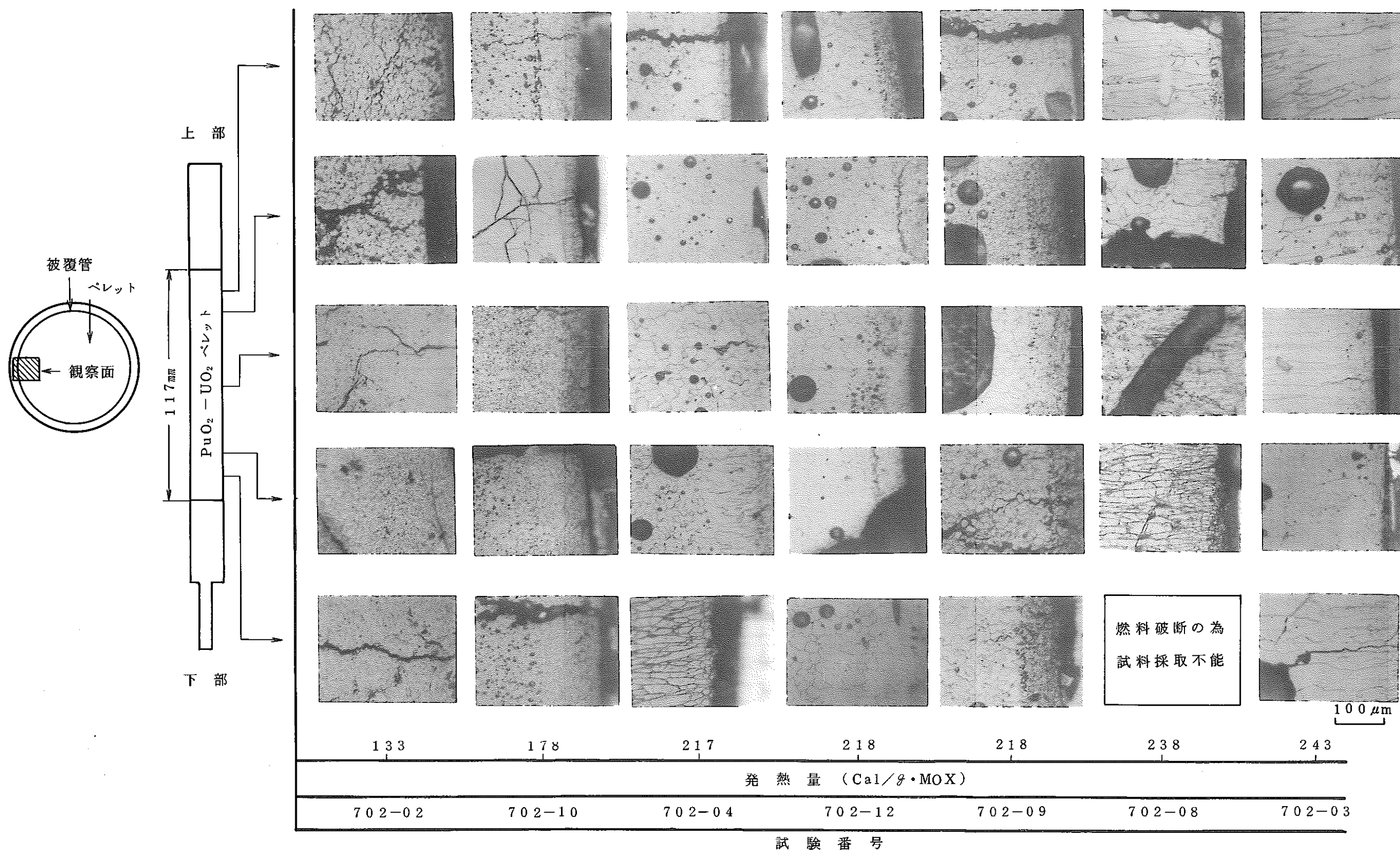


Photo 3(1) ペレット結晶粒径の発熱量依存性 (ミクロ)

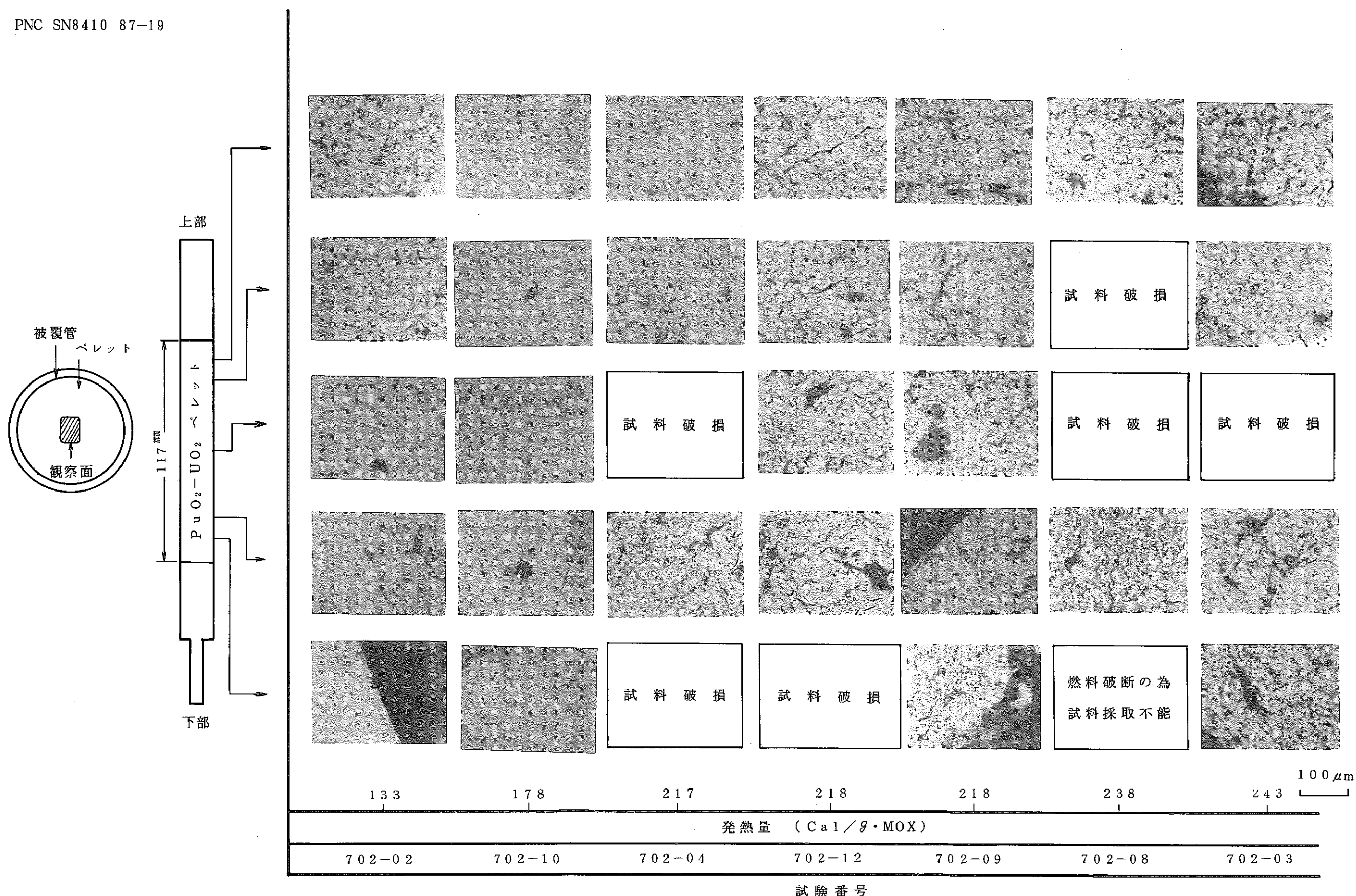


Photo 3(2) ベレット結晶粒径の発熱量依存性(ミクロ)

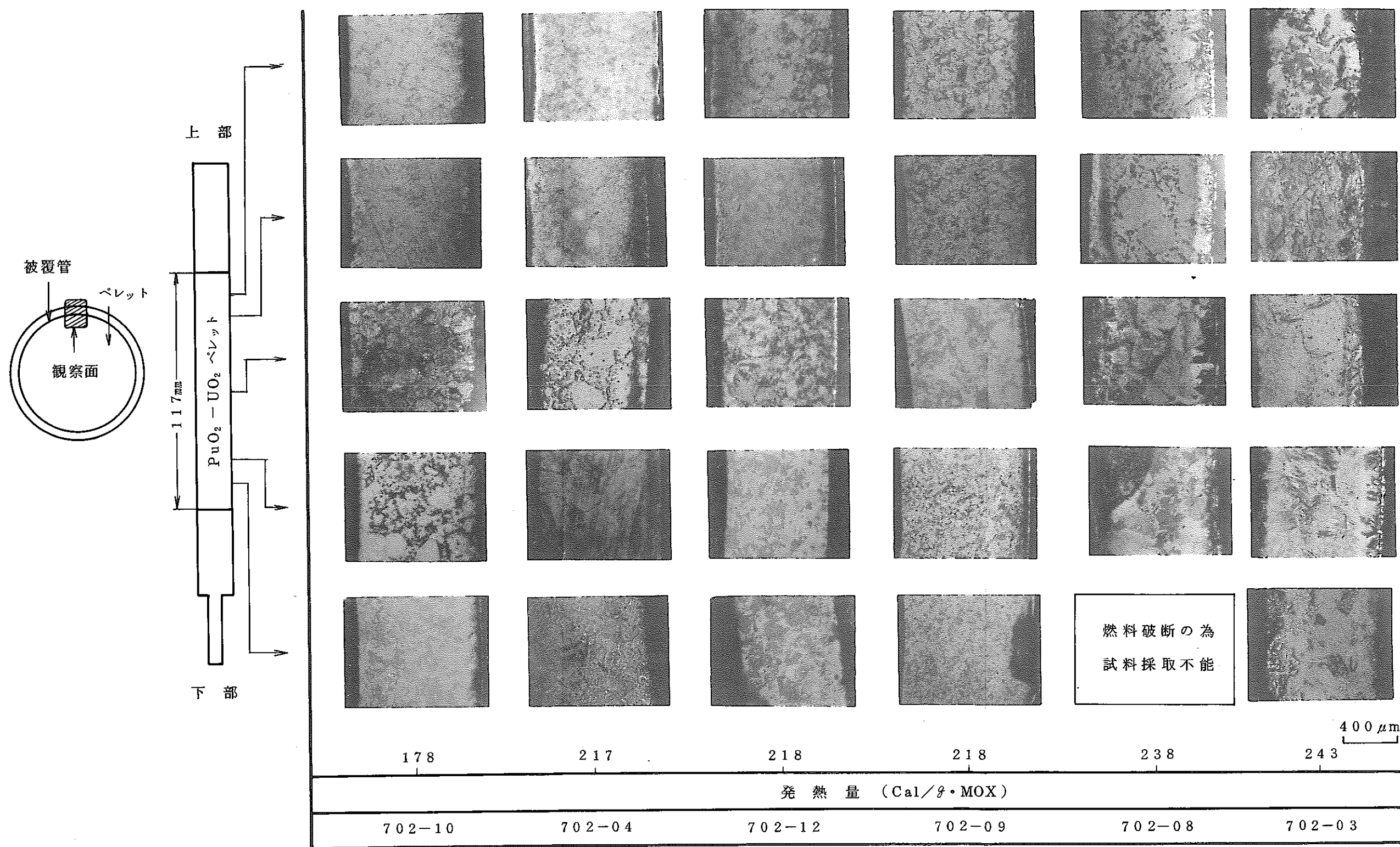
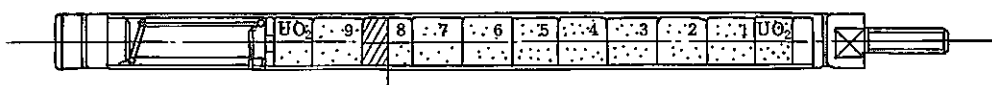


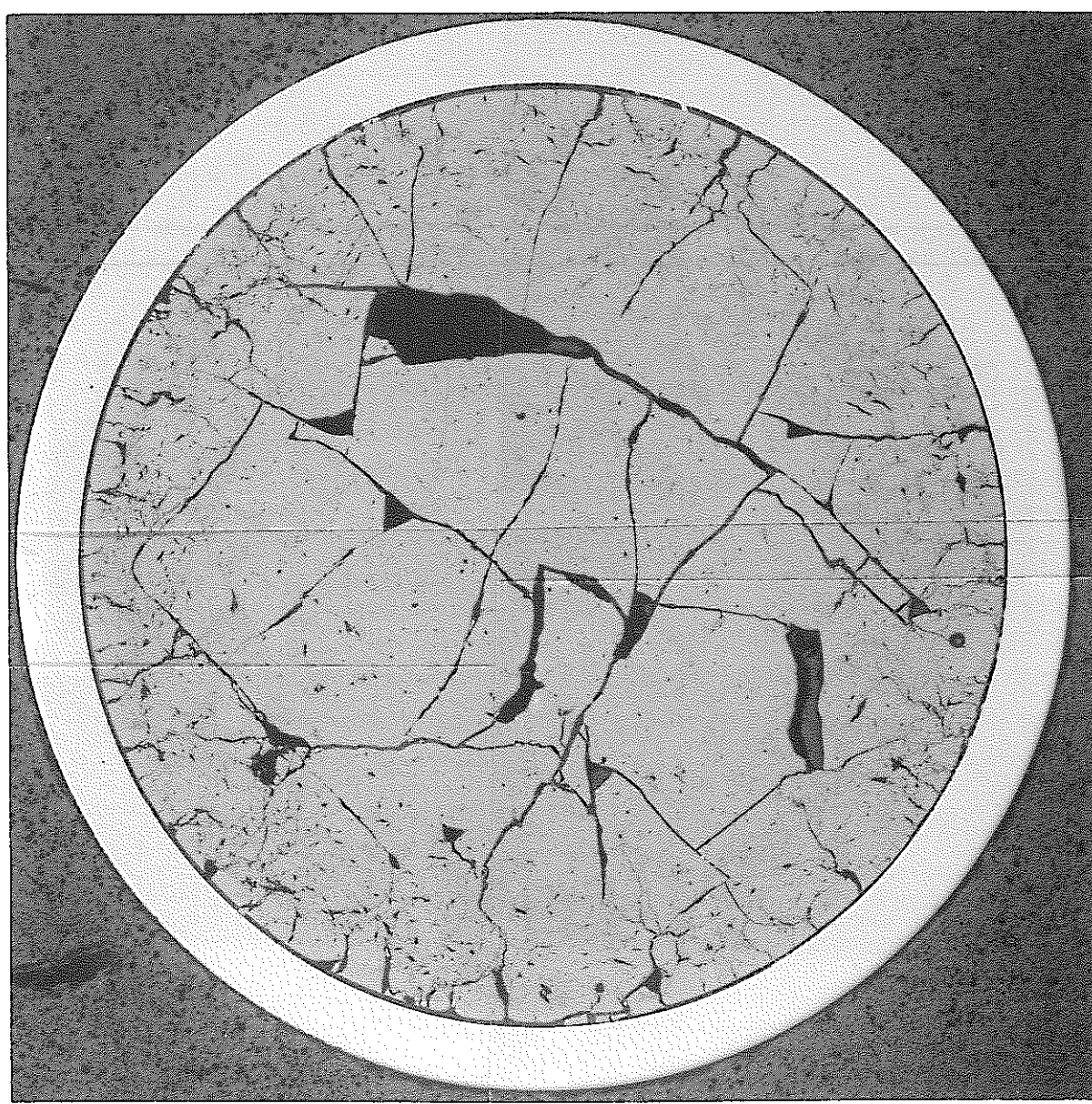
Photo 4 被覆管結晶粒径の発熱量依存性(ミクロ)

CERAMOGRAPHY



試料位置

As Polished



MACRO

1 mm

Photo 5

PNC SN8410 87-19

702-10
Pellet No 8

A U T O R A D I O G R A P H Y

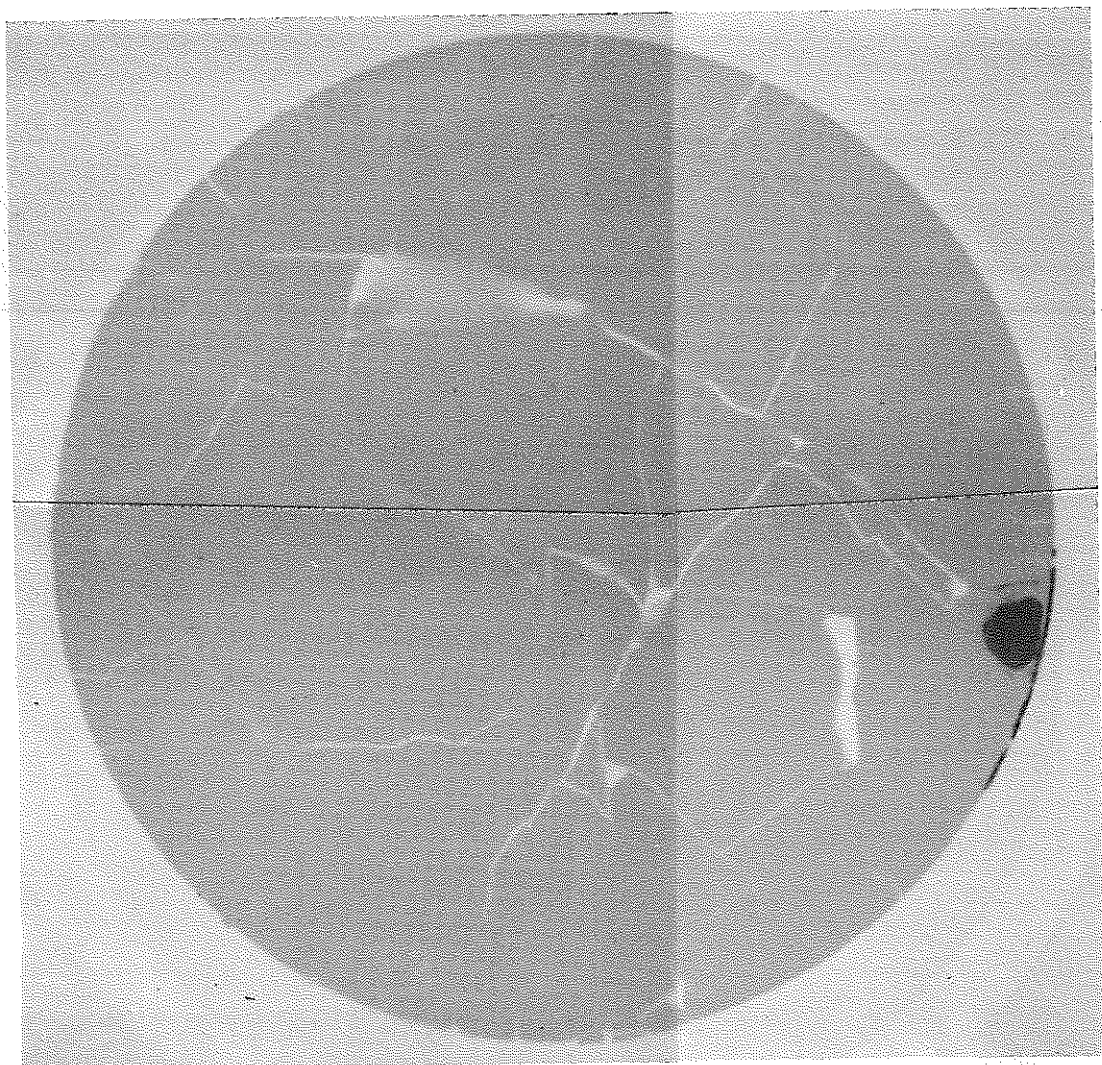


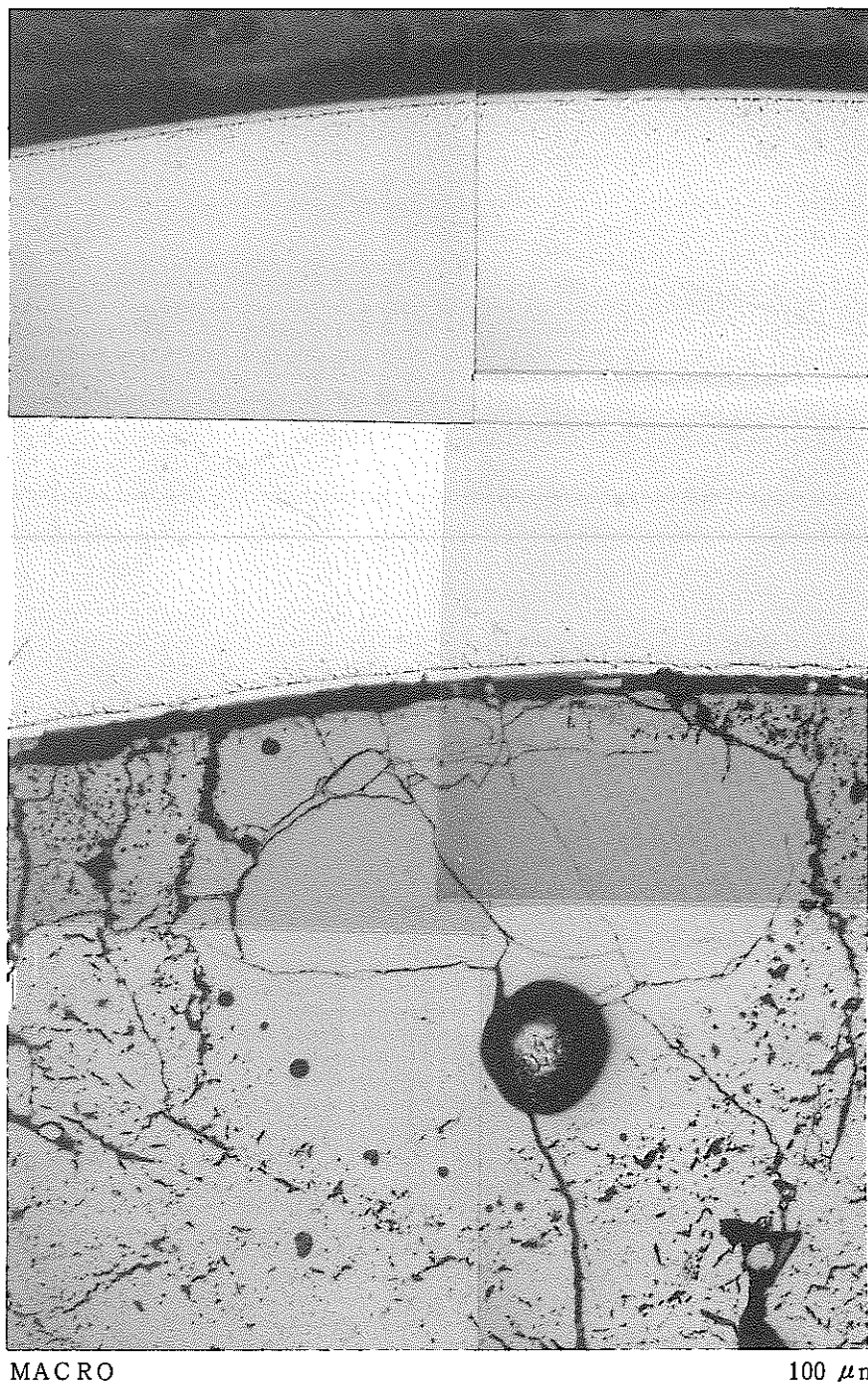
Photo 6

PNC SN8410 87-19

702-10
Pellet No 8

C E R A M O G R A P H Y

Pu スポット



MACRO

100 μ m

Photo 7

付 表

1. ペレット及び燃料棒重量・寸法
2. 熱電対取付け位置
3. 照射前・後に於ける燃料棒重量差
4. 燃料棒外径測定値
5. ペレット及び被覆管の結晶粒径測定値
6. 被覆管硬度測定値
7. 各測定点に於ける放射線量率

付表1 ペレット及び燃料棒重量・寸法

Fuel Pin	Core Pellet							Insulator Pellet				
	Plutonium				Uranium							
	M・O (g)	PuO ₂ (g)	Pu(g)	Pu-fiss(g)	EUO ₂ (g)	EU(g)	U* (g)	NUO ₂ (g)	NU(g)	U(g)	全長 (mm)	全重量 (g)
2-01	144.64	13.96	12.31	9.79	130.68	115.13	11.56	24.59	21.66	0.16	234.80	262.88
2-02	145.07	14.00	12.35	9.82	131.07	115.47	11.59	24.43	21.52	0.15	235.00	263.50
2-03	144.95	13.99	12.34	9.82	130.96	115.38	11.58	24.61	21.68	0.16	234.90	263.45
2-04	145.73	13.71	12.10	9.62	132.02	116.31	11.68	24.32	21.43	0.15	234.75	263.93
2-05	145.11	13.65	12.04	9.58	131.46	115.81	11.63	24.55	21.63	0.16	235.00	263.81
2-06	145.14	14.01	12.35	9.83	131.13	115.53	11.60	24.32	21.43	0.15	234.75	263.39
2-07	144.35	13.93	12.29	9.77	130.42	114.90	11.54	24.16	21.28	0.15	234.75	262.29
2-08	144.87	13.98	12.33	9.81	130.89	115.31	11.58	24.40	21.50	0.15	234.85	263.24
2-09	145.04	13.65	12.04	9.58	131.39	115.76	11.62	24.42	21.51	0.15	234.70	263.50
2-10	144.54	13.95	12.30	9.79	130.59	115.05	11.55	24.54	21.62	0.16	234.70	263.07
2-11	144.70	13.96	12.32	9.80	130.74	115.18	11.56	24.36	21.46	0.15	234.90	262.79
2-12	145.47	14.04	12.38	9.85	131.43	115.79	11.63	24.54	21.62	0.16	234.80	263.80
Total	1739.61	166.83	147.15	117.06	1572.78	1385.62	139.12	293.24	258.34	1.85		

付表2 熱電対取付け位置

区分 項目	燃 料 棒								
	熱電対取付け位置								
	1-1	1-2	A	2-1	2-2	B	3-1	3-2	C
品質規格									
検査試験方法									
試験燃料No.	スケール・ルーペ(mm)								
2-01	47.0	47.2	1.0	86.4	86.8	1.3	86.2	86.2	1.3
02	46.8	47.0	0.9	86.5	86.4	1.1	86.7	86.7	1.2
03	46.9	46.8	1.1	86.8	86.7	1.2	86.6	86.7	1.2
04	46.8	46.6	1.3	86.8	86.6	1.3	86.5	86.5	1.0
05	46.9	46.9	1.4	86.1	86.0	1.1	86.7	86.8	1.0
06	46.3	46.2	0.9	86.8	86.8	1.1	86.7	86.6	1.1
07	46.7	47.0	1.0	86.9	87.0	1.3	86.3	86.4	1.0
08	46.5	46.8	1.2	86.7	86.9	1.3	87.0	87.0	1.3
09	46.5	46.7	1.1	86.8	87.0	1.2	86.3	86.5	1.5
10	46.7	46.9	1.1	86.4	86.3	1.2	86.7	86.7	1.3
11	46.4	46.3	1.0	86.5	86.5	1.3	86.3	86.3	1.2
12	46.4	46.4	1.2	86.8	86.9	1.2	86.4	86.6	1.1

付表3 照射前・後に於ける燃料棒重量差

試験番号	燃料棒番号	被覆管 表面温度 (°C)	照射前重量 (g)	照射後重量 (g)	重 量 差 (g)	特 徴
702-01	2-01	1350	262.88	262.73	-0.15	有効長全域に黒色に酸化 下部側に一部はく離有
702-02	2-02	820	263.50	263.68	+0.18	有効長全域に亘り斑点状 に褐色に着色
702-03	2-03	1540	263.45 (回収粉5.13) 258.44		+0.12	破損 T/C 部穴
702-04	2-04	1500	263.93	263.40	-0.53	破損 はく離
702-05	2-05	1260	263.81	263.56	-0.25	燃料棒「く」の字に変形
702-06	2-06	1280	263.39	263.16	-0.23	有効長全域に亘り黒色に 酸化
702-07	2-07		262.29	262.50	+0.21	下部側全周に亘り黒色に 酸化
702-08	2-08	1640	263.24 (回収粉8.11) 250.98		-4.15	破断
702-09	2-09	970	263.50	263.28	-0.22	有効長全域に亘り黒色に 酸化
702-10	2-10	1400	263.07	262.82	-0.25	黒色酸化、はく離
702-11	2-11	1460	262.79	262.61	-0.18	酸化、一部IP部酸化
702-12	2-12	1240	263.80	263.62	-0.18	酸化、下部側脹れ

付表4(3) 燃料棒外径測定値

702-09

$\theta \backslash \ell$	0	10	20	30	40	50	60	70	80	90	100	110	120 mm
0°	14.720	14.718	14.735	14.683	14.600	14.512	14.513	14.706	14.701	14.652	14.660	14.907	14.446
45°	14.684	14.620	14.603	14.682	14.644	14.639	14.710	14.796	14.646	14.536	14.582	14.831	14.496
90°	14.685	14.619	14.549	14.574	14.730	14.779	14.852	14.669	14.561	14.777	14.651	14.842	14.489
135°	14.735	14.651	14.616	14.555	14.600	14.657	14.558	14.496	14.668	14.843	14.753	14.868	14.466

702-10

$\theta \backslash \ell$	0	10	20	30	40	50	60	70	80	90	100	110	120 mm
0°	14.448	14.469	14.486	14.490	14.493	14.526	14.588	14.496	14.520	14.512	14.512	14.563	14.506
45°	14.474	14.479	14.511	14.505	14.515	14.527	14.530	14.555	14.518	14.469	14.530	14.621	14.509
90°	14.463	14.504	14.509	14.489	14.497	14.486	14.530	14.575	14.520	14.511	14.540	14.589	14.508
135°	14.446	14.475	14.504	14.470	14.489	14.483	14.535	14.530	14.525	14.548	14.545	14.542	14.492

702-11

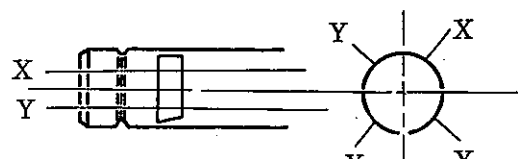
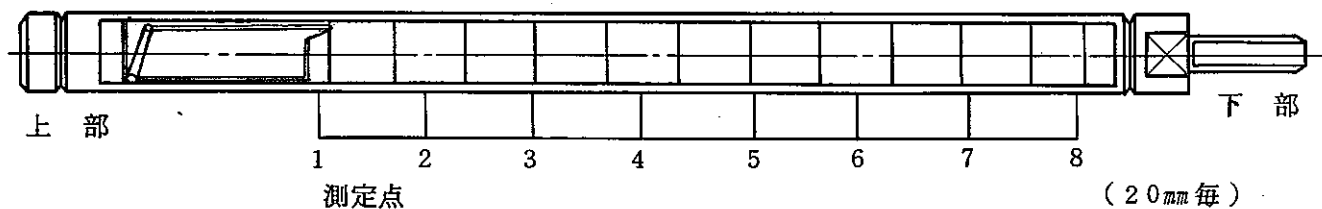
$\theta \backslash \ell$	0	10	20	30	40	50	60	70	80	90	100	110	120 mm
0°	14.498	14.500	14.478	14.478	14.473	14.528	14.548	14.541	14.495	14.504	14.568	14.555	14.453
45°	14.553	14.530	14.494	14.530	14.517	14.520	14.513	14.518	14.479	14.480	14.529	14.567	14.498
90°	14.494	14.476	14.514	14.548	14.558	14.505	14.503	14.513	14.533	14.522	14.515	14.522	14.471
135°	14.494	14.448	14.464	14.474	14.514	14.504	14.521	14.548	14.579	14.548	14.503	14.488	14.436

付表4(4) 燃料棒外径測定値

702-12

$\theta \backslash \ell$	0	10	20	30	40	50	60	70	80	90	100	110	120 ^{mm}
0°	14.732 ^{mm}	14.676	14.697	14.665	14.666	14.585	14.529	14.656	14.749	14.754	14.806	15.137	14.485
45°	14.693	14.804	14.749	14.653	14.672	14.680	14.670	14.634	14.566	14.574	14.661	15.052	14.493
90°	14.607	14.641	14.655	14.713	14.740	14.731	14.840	14.742	14.560	14.540	14.651	15.086	14.473
135°	14.638	14.530	14.578	14.702	14.732	14.666	14.695	14.680	14.685	14.776	14.805	15.140	14.469

付表 4(5) 燃料棒外径測定値（照射前・後）


 $14.50^{+0}_{-0.08} \text{mm}$

Pin No.2-03を真上にした時 右45°がX
左45°がY

測定機器 マイクロメータ
JIS 1級

測定点		1	2	3	4	5	6	7	8
X	照射前	14.460	14.459	14.459	14.459	14.458	14.458	14.458	14.459
	照射後	14.465	14.712	14.600	14.562	14.514	14.556	14.686	14.456
Y	照射前	14.458	14.457	14.457	14.464	14.456	14.452	14.453	14.454
	照射後	14.534	14.706	14.613	14.697	14.555	14.594	14.716	14.450

(mm)

付表6(1) 被覆管硬度測定値

測定点	照射前 (185.7)			702-01-1 (342)		
	外側	中心	内側	外側	中心	内側
①	182 183 182 182 183	188 191 192 187 189	188 188 185 185 185	383 356 394 410 435	457 396 394 330 284	334 324 344 359 378
	HV 182.4	HV 189.4	HV 186.2	HV 395.6	HV 372.2	HV 347.8
	185 174 185 188 184	184 182 188 187 184	183 193 186 186 191	376 350 293 290 288	258 312 333 310 308	329 346 368 330 356
	HV 183.2	HV 185	HV 187.8	HV 319.4	HV 304.2	HV 345.8
	181 186 189 179 180	174 195 181 181 179	185 179 207 192 190	288 288 231 286 279	286 226 298 326 302	474 425 473 281 285
③	HV 183	HV 182	HV 190.6	HV 274.4	HV 287.6	HV 387.6
	187 188 183 185 189	187 191 183 182 181	182 190 187 182 193	256 260 337 313 235	449 329 279 318 424	606 409 317 416 397
	HV 186.4	HV 184.8	HV 186.8	HV 280.2	HV 359.8	HV 429
	平均	183.8	185.3	187.9	317.4	331.0
						377.6
測定点	702-01-5 (246.5)			702-01-9		
①	246 245 222 241 202	206 219 208 209 215	294 318 313 372 343			
	HV 231.2	HV 211.4	HV 328			
	230 217 210 205 198	214 200 272 201 205	222 261 260 291 272			
	HV 212	HV 218.4	HV 261.2			
	266 245 255 228 227	197 216 230 259 228	278 369 305 288 329			
④	HV 244.2	HV 226	HV 313.8			
	222 202 226 203 223	206 179 202 229 221	234 234 333 313 328			
	HV 215.2	HV 207.4	HV 288.4			
	平均	225.7	215.8	297.9		

付表 6(2) 被覆管硬度測定値

測定点	702-02-1 (203.5)			702-02-5 (212.4)		
	外 側	中 心	内 側	外 側	中 心	内 側
①	184 198 185 182 191	206 222 206 210 206	145 162 153 176 186	193 189 185 181 196	186 178 184 181 179	181 183 194 184 189
	HV 188	HV 210	HV 164.4	HV 188.8	HV 181.6	HV 186.2
②	224 197 195 198 203	210 204 217 215 217	205 221 200 211 209	226 240 229 230 227	224 217 232 206 215	217 214 204 190 160
	HV 203.4	HV 212.6	HV 209.2	HV 230.4	HV 218.8	HV 197
③	197 224 225 210 213	219 226 205 220 214	225 226 215 217 208	223 255 257 218 247	223 219 226 234 222	228 213 204 193 206
	HV 213.8	HV 216.8	HV 218.2	HV 240	HV 224.8	HV 208.8
④	194 196 192 194 179	205 205 206 196 213	210 216 212 204 206	224 226 232 232 240	231 223 230 219 231	229 220 215 209 200
	HV 191	HV 205	HV 209.6	HV 230.8	HV 226.8	HV 214.6
平均	199.1	211.1	200.4	222.5	213	201.7
測定点	702-02-9 (231.4)			702-03-1 (327.9)		
①	219 215 214 219 227	230 237 224 234 228	241 231 224 228 220	323 341 284 270 234	287 354 315 282 313	203 282 321 455 521
	HV 218.8	HV 230.6	HV 228.8	HV 290.4	HV 310.2	HV 356.4
②	230 262 243 270 227	224 243 231 239 237	234 233 272 226 252	445 319 468 434 505	258 254 280 283 324	347 293 246 269 256
	HV 246.4	HV 234.8	HV 243.4	HV 434.2	HV 279.8	HV 282.2
③	222 229 235 230 236	230 240 230 227 238	240 241 222 223 231	309 293 322 341 404	260 265 207 235 270	261 312 307 243 253
	HV 230.4	HV 233	HV 231.4	HV 333.8	HV 247.4	HV 275.2
④	218 236 222 235 224	225 231 240 249 230	219 217 216 229 207	392 372 514 465 228	278 289 310 285 323	416 348 356 450 597
	HV 227	HV 235	HV 217.6	HV 394.2	HV 297	HV 433.4
平均	230.7	233.4	230.3	363.2	283.6	336.8

付表 6(3) 被覆管硬度測定値

測定点	702-03-5 (361.0)			702-03-9 (398.8)		
	外側	中心	内側	外側	中心	内側
①	242 330 357 399 352	472 376 396 377 397	441 434 409 400 500	272 260 304 234 251	282 346 521 371 383	469 389 402 411 386
	HV 336	HV 403.6	HV 436.8	HV 264.2	HV 380.6	HV 411.4
②	272 436 359 317 356	408 381 379 562 356	497 331 459 460 369	323 339 366 311 387	353 397 369 430 457	558 546 385 330 339
	HV 348	HV 417.2	HV 423.2	HV 345.2	HV 401.2	HV 431.6
③	266 457 450 448 344	307 363 297 294 315	376 334 301 310 324	450 401 467 453 497	437 504 559 423 581	556 500 501 464 603
	HV 393	HV 315.2	HV 329	HV 453.6	HV 500.8	HV 524.8
④	265 245 288 349 433	251 288 319 272 295	377 351 261 300 352	337 294 308 299 267	337 456 472 346 384	327 330 310 361 531
	HV 316	HV 285	HV 328.2	HV 301	HV 399	HV 371.8
平均	348.3	355.3	379.3	341	420.4	434.9
測定点	702-04-1 (292.0)			702-04-5 (298.0)		
①	293 265 262 276 263	264 282 266 269 286	246 258 258 266 253	333 297 286 279 287	244 280 302 236 281	284 324 297 246 304
	HV 271.8	HV 273.4	HV 256.2	HV 296.4	HV 268.6	HV 291
②	299 313 262 252 243	502 310 278 259 248	461 364 343 324 360	305 292 299 311 259	314 272 282 265 249	370 345 328 266 264
	HV 273.8	HV 319.4	HV 370.4	HV 293.2	HV 276.4	HV 314.6
③	322 305 223 238 204	321 310 315 314 310	337 331 251 264 271	404 307 364 342 333	329 285 319 299 377	341 326 375 311 314
	HV 258.4	HV 314	HV 290.8	HV 350	HV 321.8	HV 333.4
④				307 296 309 363 261	239 262 250 270 261	253 308 262 281 229
				HV 307.2	HV 256.4	HV 266.6
平均	268	302.3	305.8	311.7	280.8	301.4

付表 6(4) 被覆管硬度測定値

測定点	702-04-9 (259.3)			702-05-1 (220.9)		
	外 側	中 心	内 側	外 側	中 心	内 側
①	257 263 252 243 253	239 243 255 247 236	308 332 298 255 257	229 226 214 215 223	232 231 233 231 228	255 250 250 225 228
	HV 253.6	HV 244	HV 290	HV 221.4	HV 231	HV 241.6
②	248 273 270 259 267	268 259 254 252 251	405 365 415 390 251	215 209 219 211 210	204 212 213 215 216	228 213 209 211 208
	HV 263.4	HV 256.8	HV 365.2	HV 212.8	HV 212	HV 213.8
③	241 230 229 247 236	236 226 235 242 254	232 229 230 248 250	181 184 190 189 190	221 206 205 213 214	215 216 215 208 225
	HV 236.6	HV 238.6	HV 237.8	HV 186.8	HV 211.8	HV 215.8
④	270 241 226 240 235	256 250 241 248 237	234 226 240 239 245	213 213 212 207 216	218 208 217 205 209	246 304 287 281 279
	HV 242.4	HV 246.4	HV 236.8	HV 212.2	HV 211.4	HV 279.4
平均	249	246.5	282.5	208.3	216.6	237.7
測定点	702-05-5 (214.6)			702-05-9 (220.4)		
①	231 234 228 226 233	231 228 235 224 229	227 226 228 228 235	250 257 246 250 245	237 256 228 233 239	214 223 232 239 236
	HV 230.4	HV 229.4	HV 228.8	HV 249.6	HV 238.6	HV 228.8
②	178 169 177 180 178	189 180 183 177 176	192 190 199 191 187	207 203 219 229 233	205 203 207 200 197	226 218 244 225 224
	HV 176.4	HV 181.0	HV 191.8	HV 218.2	HV 202.4	HV 227.4
③	226 224 218 221 222	212 237 225 223 216	213 227 218 217 223	249 185 240 262 253	167 173 171 165 181	163 167 177 180 189
	HV 222.2	HV 222.6	HV 219.5	HV 237.8	HV 171.4	HV 175.2
④	220 216 215 205 219	207 206 223 215 213	278 207 268 250 221	284 226 239 244 252	204 190 203 203 234	245 234 228 252 238
	HV 215.0	HV 212.8	HV 244.8	HV 249	HV 206.8	HV 239.4
平均	211.0	211.5	221.3	238.7	204.8	217.7

付表 6(5) 被覆管硬度測定値

測定点	702-06-1 (229.6)			702-06-5 (196.6)		
	外側	中 心	内 側	外側	中 心	内 側
①	244 236 236 225 236	234 251 240 209 230	238 243 248 251 251	199 215 192 207 204	189 191 175 189 184	188 192 194 199 187
	HV 235.4	HV 232.8	HV 246.2	HV 203.4	HV 185.6	HV 192
	240 245 234 231 239	240 244 244 233 236	227 235 234 251 240	186 173 184 175 164	190 178 179 177 188	186 185 176 176 186
	HV 237.8	HV 239.4	HV 237.4	HV 176.4	HV 182.4	HV 181.8
	210 222 222 228 228	229 225 233 220 227	220 224 211 220 218	183 194 226 213 199	229 223 206 218 213	221 222 213 211 195
	HV 222	HV 226.8	HV 218.6	HV 203	HV 217.8	HV 212.4
④	217 233 220 214 221	215 228 236 219 205	214 217 212 226 218	189 172 204 210 221	210 212 195 212 206	213 230 204 181 161
	HV 221	HV 220.6	HV 217.4	HV 199.2	HV 207	HV 197.8
	平均	229.1	229.9	229.9	195.5	198.2
						196.
	702-06-9 (218.8)			702-07-1 (220.6)		
	227 212 222 205 214	202 205 212 197 215	227 222 221 225 214	250 216 217 222 210	214 214 217 215 209	211 209 247 272 232
②	232 236 233 246 231	230 223 219 222 230	233 232 227 237 226	264 250 256 253 214	228 227 217 220 208	217 205 219 215 194
	HV 235.6	HV 224.8	HV 231	HV 247.4	HV 220	HV 210
	219 226 229 225 233	222 217 216 220 217	225 228 210 211 223	218 230 220 227 231	212 195 198 205 209	193 202 203 209 230
	HV 226.4	HV 218.4	HV 219.4	HV 225.2	HV 203.8	HV 207.4
	222 214 201 212 207	206 209 207 201 213	216 216 205 201 200	251 240 240 236 231	188 195 191 194 202	211 236 228 215 242
	HV 211.2	HV 207.2	HV 207.6	HV 239.6	HV 194	HV 228.4
平均	222.3	214.2	220	233.8	207.9	220

付表6(6) 被覆管硬度測定値

測定点	702-07-5 (194.5)			702-07-9 (187.1)		
	外側	中心	内側	外側	中心	内側
①	181 174 176 186 181	197 202 179 189 189	177 187 188 187 187	195 190 186 192 180	186 181 174 187 191	190 176 206 179 195
	HV 179.6	HV 191.2	HV 185.2	HV 188.6	HV 183.8	HV 189.2
	211 227 201 208 225	172 194 184 181 186	192 178 178 179 188	188 189 175 181 184	179 179 188 180 184	183 183 177 188 181
	HV 214.4	HV 183.4	HV 183	HV 183.4	HV 182	HV 182.4
	200 205 196 194 196	194 202 190 191 208	177 202 192 200 198	181 178 175 176 176	195 187 190 186 204	196 189 185 197 194
	HV 198.2	HV 197	HV 193.8	HV 177.2	HV 192.4	HV 192.2
④	221 211 200 206 201	203 199 204 202 212	199 199 194 191 196	188 199 185 201 185	194 205 188 201 188	184 184 191 186 188
	HV 207.8	HV 204	HV 195.8	HV 191.6	HV 195.2	HV 186.6
平均	200	193.9	189.5	185.2	188.4	187.6
測定点	702-08-5 (263.0)			702-08-9 (271.2)		
①	271 270 273 250 270	263 275 266 267 252	259 284 380 429 400	246 264 299 283 299	244 237 208 241 227	239 235 239 250 227
	HV 266.8	HV 264.6	HV 350.4	HV 278.2	HV 231.4	HV 238
	263 256 243 228 226	232 245 247 227 221	245 228 232 259 268	276 266 287 243 234	251 249 236 243 232	322 288 276 285 277
	HV 243.2	HV 234.4	HV 246.4	HV 261.2	HV 242.2	HV 289.6
	268 265 252 240 236	232 238 236 227 231	249 253 258 281 277	281 292 321 309 298	251 250 246 247 239	401 380 346 350 320
	HV 252.2	HV 232.8	HV 263.6	HV 300.2	HV 246.6	HV 359.4
④	300 282 282 269 258	247 255 247 240 235	270 261 262 286 310	294 303 275 280 288	261 239 252 253 242	276 282 261 254 276
	HV 278.2	HV 244.8	HV 277.8	HV 288	HV 249.4	HV 269.8
平均	260.1	244.2	284.6	281.9	242.4	289.2

付表 6(7) 被覆管硬度測定値

測定点	702-09-1 (229.4)			702-09-5 (234.6)		
	外側	中心	内側	外側	中心	内側
①	196 198 203 205 192	205 205 205 204 201	227 218 224 222 218	237 243 230 242 247	240 227 244 215 230	219 224 242 207 253
	HV 198.8	HV 204	HV 221.8	HV 239.8	HV 231.2	HV 229
	239 249 240 252 254	249 252 241 238 251	350 296 349 394 269	239 223 223 241 224	232 245 234 242 223	226 215 226 219 220
	HV 246.8	HV 246.2	HV 331.6	HV 230	HV 235.2	HV 221.2
	237 248 226 241 249	233 237 241 235 240	331 356 344 333 305	252 244 245 238 240	247 263 258 254 231	255 251 261 233 259
②	HV 240.2	HV 237.2	HV 333.8	HV 243.8	HV 250.6	HV 251.8
	154 155 147 151 162	169 166 167 172 172	178 170 170 173 172	233 235 218 242 241	214 238 224 232 217	229 217 221 217 235
	HV 153.8	HV 169.2	HV 172.6	HV 233.8	HV 225	HV 223.8
	平均	209.9	214.2	265.0	236.9	235.5
	平均	231.5				
測定点	702-09-9 (230.1)			702-10-1 (234.8)		
①	191 199 198 200 192	208 209 196 215 223	210 229 218 227 291	261 239 247 252 247	231 235 223 225 226	231 224 225 229 223
	HV 196	HV 210.2	HV 235	HV 249.2	HV 228	HV 226.4
	247 240 237 233 237	246 235 235 235 232	230 232 234 358 355	226 262 240 243 261	232 239 232 231 244	227 231 231 228 242
	HV 238.8	HV 236.6	HV 281.8	HV 246.4	HV 235.6	HV 231.8
	240 232 216 216 210	216 221 209 211 211	220 228 226 215 224	265 254 262 245 277	226 229 239 230 233	226 220 226 226 228
③	HV 222.8	HV 213.6	HV 222.6	HV 260.6	HV 231.4	HV 225.2
	230 236 235 240 221	229 241 231 243 233	238 231 237 240 233	224 213 226 207 253	219 221 231 240 243	237 221 227 228 226
	HV 232.4	HV 235.4	HV 235.8	HV 224.6	HV 230.8	HV 227.8
	平均	222.5	224.0	243.8	245.2	231.5
	平均	227.8				

付表6(8) 被覆管硬度測定値

測定点	702-10-5 (201.1)			702-10-9 (223.5)		
	外 側	中 心	内 側	外 側	中 心	内 側
①	242 205 224 214 195	200 213 193 195 203	201 217 186 189 176	212 214 203 219 222	219 212 202 226 198	208 203 213 209 217
	HV 216	HV 200.8	HV 193.8	HV 214	HV 211.4	HV 210
	200 188 204 207 186	200 206 198 201 201	221 205 222 204 201	229 221 220 222 232	224 237 223 230 231	218 245 233 231 217
	HV 197	HV 201.2	HV 210.6	HV 224.8	HV 229	HV 228.8
	198 185 194 208 226	194 204 198 188 193	199 192 206 185 194	233 231 229 216 235	230 223 230 236 231	221 228 235 224 225
	HV 202.2	HV 195.4	HV 195.2	HV 228.8	HV 230	HV 226.6
④	207 199 202 194 196	207 209 200 203 204	190 182 218 191 202	223 237 211 221 228	231 232 223 233 241	230 217 211 225 228
	HV 199.6	HV 204.6	HV 196.6	HV 224	HV 232	HV 222.2
	平均	203.7	200.5	199.1	222.9	225.6
	平均	203.7	200.5	199.1	222.9	225.6
	平均	203.7	200.5	199.1	222.9	221.9
	平均	203.7	200.5	199.1	222.9	221.9
測定点	702-11-1 (237.4)			702-11-5 (212.5)		
	外側	中 心	内 側	外 側	中 心	内 側
①	247 235 239 234 239	239 243 241 241 223	223 227 222 230 248	214 199 198 193 247	209 202 222 199 200	191 205 211 180 220
	HV 238.8	HV 235.4	HV 230	HV 210.2	HV 206.4	HV 201.4
	259 242 245 248 241	236 251 258 240 241	225 234 247 245 247	201 215 207 203 205	208 212 215 207 202	223 223 205 228 212
	HV 247	HV 245.2	HV 239.6	HV 206.2	HV 208.8	HV 218.2
	229 237 239 235 236	222 234 228 218 223	218 213 228 228 222	199 215 208 191 223	228 195 224 202 224	211 211 228 211 224
	HV 235.2	HV 225	HV 221.8	HV 207.2	HV 214.6	HV 217
④	259 256 248 247 247	236 230 237 244 233	246 251 246 230 241	215 214 219 202 225	226 214 213 219 229	220 225 221 233 233
	HV 251.4	HV 236	HV 242.8	HV 215	HV 220.2	HV 224.4
	平均	243.1	235.4	233.6	209.7	212.5
	平均	243.1	235.4	233.6	209.7	215.3

付表 6(9) 被覆管硬度測定値

測定点	702-11-9 (222.7)			702-12-1 (312.0)		
	外側	中心	内側	外側	中心	内側
①	234	228	239	233	267	229
	242	242	232	256	281	229
	237	233	235	243	296	221
	238	237	229	242	287	258
	236	225	232	248	333	327
	HV 237.4	HV 233	HV 233.4	HV 244.4	HV 292.8	HV 252.8
②	231	244	237	394	395	334
	229	284	250	264	288	415
	226	236	240	249	460	397
	221	237	234	251	371	385
	203	217	233	239	396	379
	HV 222	HV 233.6	HV 238.8	HV 279.4	HV 382	HV 382
③	203	187	200	443	264	469
	202	198	190	458	256	241
	195	184	194	375	270	235
	195	199	192	332	311	321
	193	194	193	276	306	479
	HV 197.6	HV 192.4	HV 193.8	HV 376.8	HV 281.4	HV 349
④	222	242	237	432	234	225
	229	235	235	465	236	223
	223	233	236	474	220	228
	220	236	232	478	224	221
	207	240	229	413	207	235
	HV 220.2	HV 237.2	HV 233.8	HV 452.4	HV 224.2	HV 226.4
平均	219.3	223.9	225.0	338.3	295.1	302.6
測定点	702-12-5 (218.6)			702-12-1 (227.3)		
①	201	226	240	220	226	230
	214	230	219	216	206	204
	211	213	212	217	204	234
	211	224	219	223	204	299
	216	206	209	237	221	342
	HV 210.6	HV 219.8	HV 219.8	HV 222.6	HV 212.2	HV 261.8
②	202	213	215	209	222	211
	200	201	222	206	211	205
	209	218	211	208	202	225
	200	202	197	210	206	293
	211	205	216	200	197	377
	HV 204.4	HV 207.8	HV 212.2	HV 206.6	HV 207.6	HV 262.2
③	222	222	237	209	218	320
	216	228	241	200	190	329
	221	222	243	208	204	324
	212	217	241	189	225	279
	228	227	236	216	199	351
	HV 219.8	HV 223.2	HV 239.6	HV 204.4	HV 207.2	HV 320.6
④	218	220	237	219	185	214
	230	210	242	199	195	207
	217	220	232	202	212	200
	213	203	237	188	202	229
	215	219	217	206	188	264
	HV 218.6	HV 214.4	HV 233	HV 202.8	HV 196.4	HV 222.8
平均	213.4	216.3	226.2	209.1	205.9	266.9

付表 6(10) 被覆管硬度測定値

	Puspot 702-10-8 (248.6)					
測定点	外側	中心	内側	外側	中心	内側
①	262 266 255 247 260	261 256 254 253 242	242 263 253 255 268			
	HV 258	HV 253.2	HV 256.2			
②	259 248 257 249 250	242 242 216 223 236	256 242 235 245 241			
	HV 252.6	HV 231.8	HV 243.8			
③	213 216 243 212 221	238 230 230 237 230	241 235 232 223 233			
	HV 221	HV 233	HV 232.8			
④	262 259 259 269 272	266 268 275 268 269	264 266 268 261 277			
	HV 264.2	HV 269.2	HV 267.2			
平均	249.0	246.8	250.0			

付表 7(1) 各測定点に於ける放射線量率

試験番号: 702-01

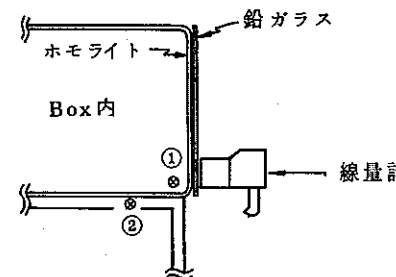
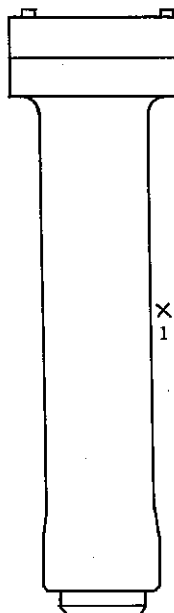
測定年月日 S.59.4.04

1. インナーカプセル表面 72 mR/Hr

鉛ガラス (2 mm Pb相当) 使用

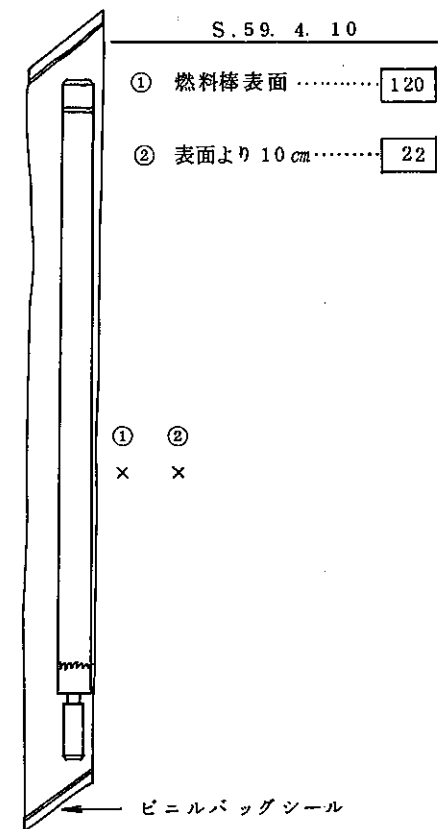
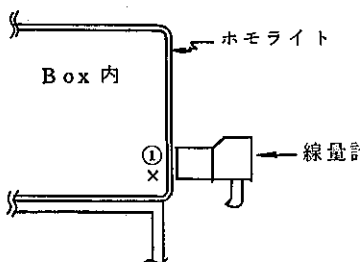
S.59.4.05

	カプセル化 (燃料棒入)	カプセルのみ	燃料棒のみ
① パネル部へ密着	16 mR/Hr	6.5 mR/Hr	40 mR/Hr
② Box 床部密着	52	12	100



鉛ガラス未使用

	燃料棒のみ
① パネル部へ密着	72 mR/Hr



付表 7 (2) 各測定点に於ける放射線量率

試験番号：702-02

測定年月日 S.59.4.05

1. インナーカプセル表面 64 mR/Hr

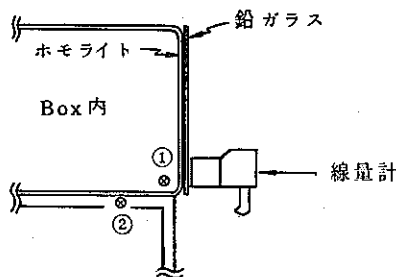
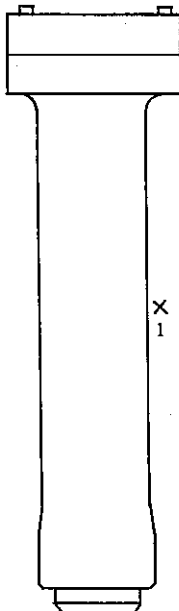
鉛ガラス (2 mm Pb相当) 使用

S.59.4.26

	カブセル(燃料棒入)	カブセルのみ	燃料棒のみ
① パネル部へ密着	11 mR/Hr	4 mR/Hr	24 mR/Hr
② Box 床部密着	37	10	84

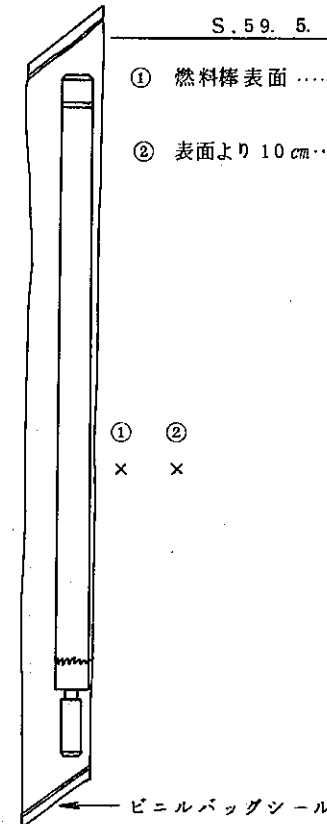
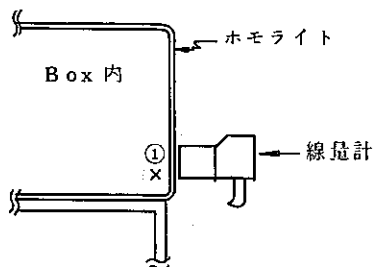
S.59.5.07

- ① 燃料棒表面 86
 ② 表面より 10 cm 14



鉛ガラス未使用

	燃料棒のみ
① パネル部へ密着	78 mR/Hr



付表 7(3) 各測定点に於ける放射線量率

試験番号: 702-03

測定年月日 S.59. 10. 03

1. インナーカプセル表面 [100] mR/Hr

鉛ガラス (2 mm Pb相当) 使用

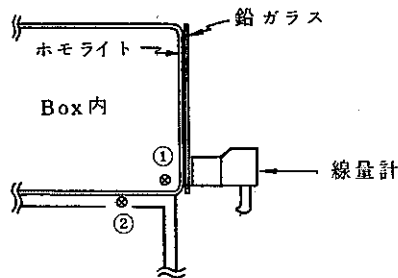
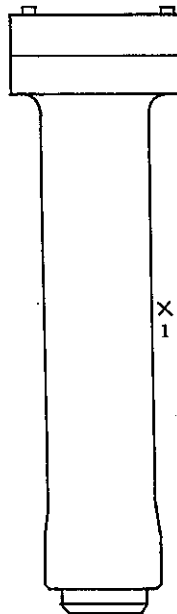
S. 60. 10. 03

	カプセル (燃料棒入)	カプセルのみ	燃料棒のみ
① パネル部へ密着	31 mR/Hr	9.2 mR/Hr	45 mR/Hr
② Box 床部密着	100	25	220

S. 59. 10. 12

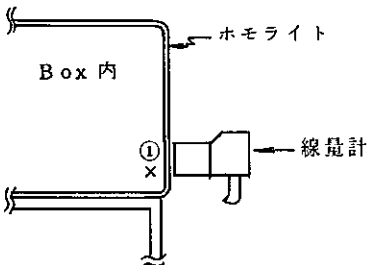
① 燃料棒表面	[140]
② 表面より 10 cm	[30]

- 107 -



鉛ガラス未使用

	燃料棒のみ
① パネル部へ密着	200 mR/Hr



付表 7(4) 各測定点に於ける放射線量率

試験番号: 702-04

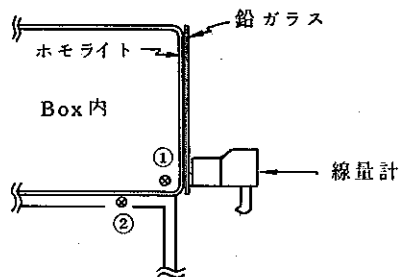
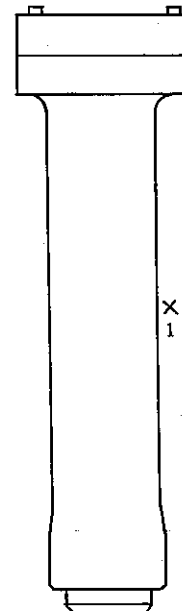
測定年月日 S. 59. 11. 06

1. インナーカブセル表面 [250] mR/Hr

鉛ガラス (2 mm Pb相当) 使用

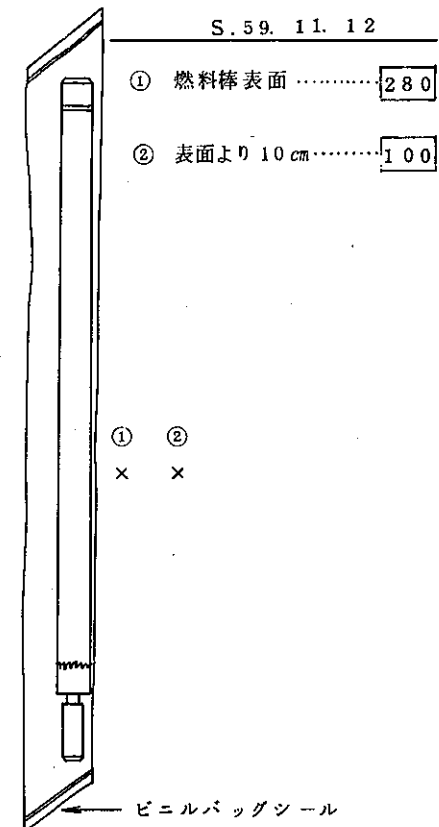
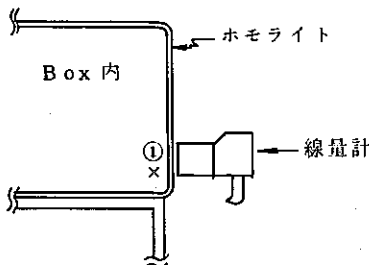
S. 59. 11. 07

	カブセル (燃料棒入)	カブセルのみ	燃料棒のみ
① パネル部へ密着	54 mR/Hr	9.6 mR/Hr	122 mR/Hr
② Box 床部密着	120	14	300



鉛ガラス未使用

	燃料棒のみ
① パネル部へ密着	160 mR/Hr



付表 7(5) 各測定点に於ける放射線量率

試験番号: 702-05

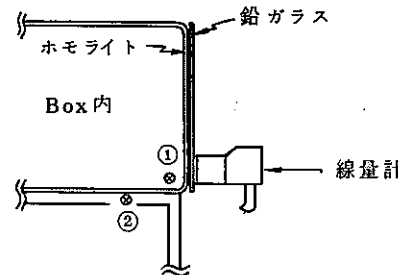
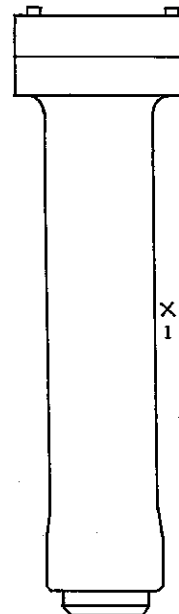
測定年月日 S. 60. 1. 16

1. インナーカプセル表面 150 mR/Hr

鉛ガラス (2 mm Pb相当) 使用

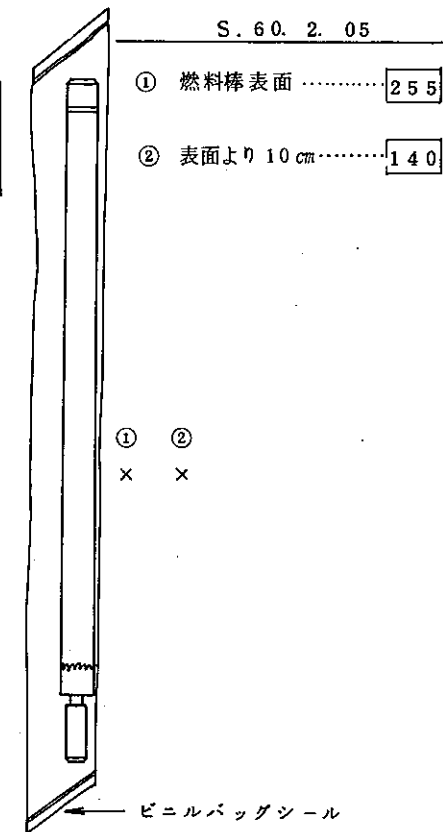
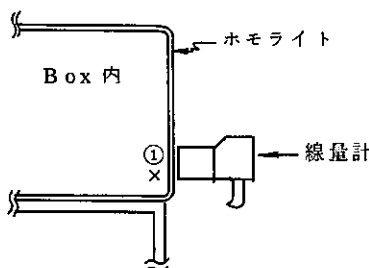
S. 60. 1. 17

	カプセル(燃料棒入)	カプセルのみ	燃料棒のみ
① パネル部へ密着	33 mR/Hr	6 mR/Hr	93 mR/Hr
② Box 床部密着	95	10	280



鉛ガラス未使用

	燃料棒のみ
① パネル部へ密着	260 mR/Hr



付表 7(6) 各測定点に於ける放射線量率

試験番号：702-06

測定年月日 S. 60. 2. 19

1. インナーカプセル表面 205 mR/Hr

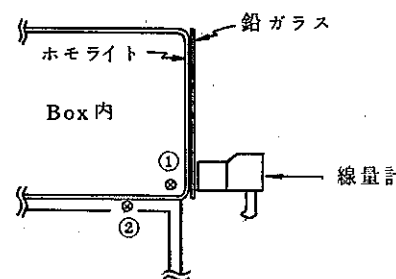
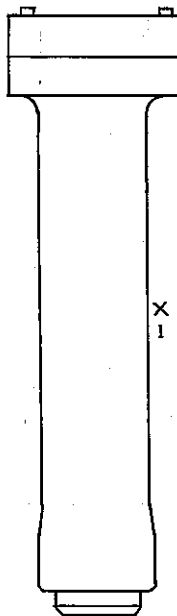
鉛ガラス(2 mm Pb相当)使用

S. 60. 2. 20

	カプセル (燃料棒入)	カプセルのみ	燃料棒のみ
① パネル部へ密着	50 mR/Hr	9 mR/Hr	120 mR/Hr
② Box 床部密着	70	20	360

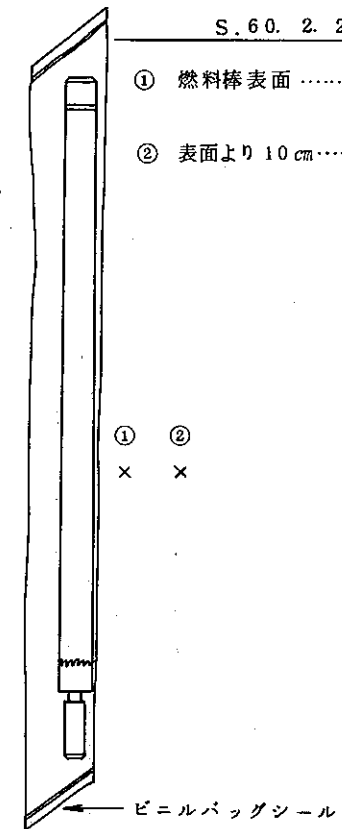
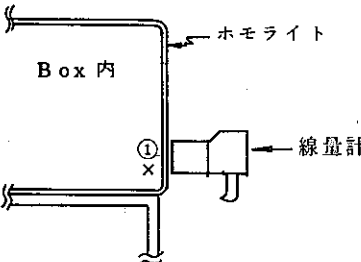
S. 60. 2. 26

- ① 燃料棒表面 300
 ② 表面より 10 cm 50



鉛ガラス未使用

	燃料棒のみ
① パネル部へ密着	370 mR/Hr



付表 7(7) 各測定点に於ける放射線量率

試験番号：702-07

測定年月日 S 60. 4. 1

1. インナーカプセル表面 180 mR/Hr

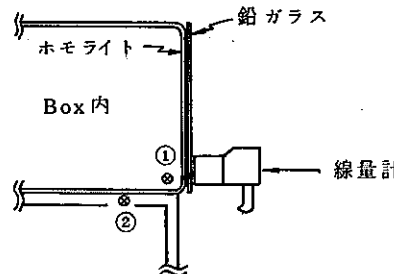
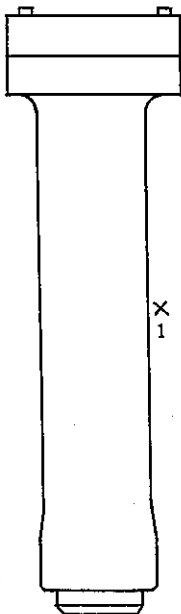
鉛ガラス (2 mm Pb相当) 使用

S. 60. 4. 02

	カプセル (燃料棒入)	カプセルのみ	燃料棒のみ
① パネル部へ密着	40 mR/Hr	8 mR/Hr	120 mR/Hr
② Box 床部密着	120	18	250

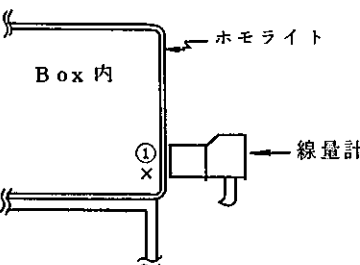
S. 60. 4. 10

- ① 燃料棒表面 280
 ② 表面より 10 cm 50



鉛ガラス未使用

	燃料棒のみ
① パネル部へ密着	310 mR/Hr



① ②
 X X

付表 7(8) 各測定点に於ける放射線量率

試験番号: 702-08

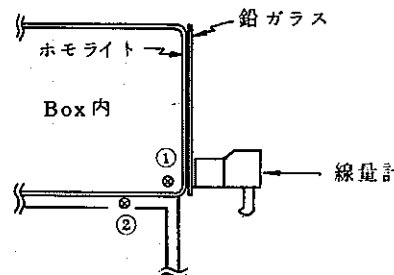
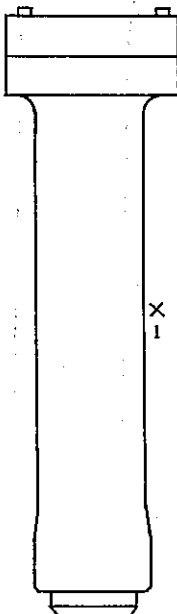
測定年月日 S 60. 4. 26

1. インナーカプセル表面 280 mR/Hr

鉛ガラス (2 mm Pb相当) 使用

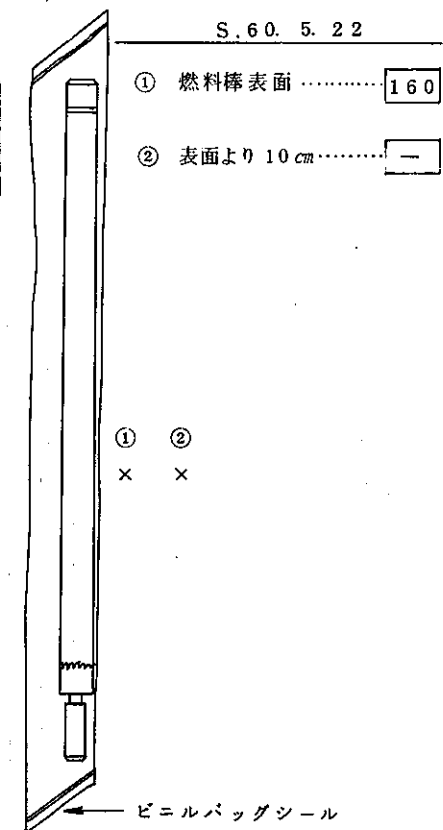
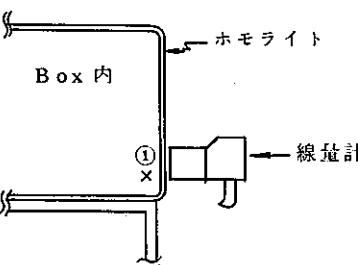
S. 60. 4. 30

	カプセル (燃料棒入)	カプセルのみ	燃料棒のみ
① パネル部へ密着	— mR/Hr	14 mR/Hr	200 mR/Hr
② Box 床部密着	—	20	450



鉛ガラス未使用

	燃料棒のみ
① パネル部へ密着	500 mR/Hr



付表 7(9) 各測定点に於ける放射線量率

試験番号 : 702-09

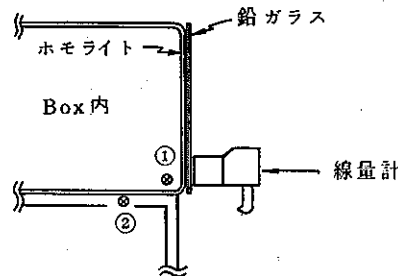
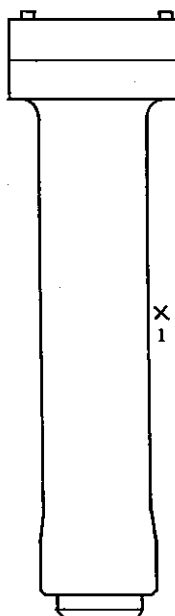
測定年月日 S 60. 6. 06

1. インナーカプセル表面 140 mR/Hr

鉛ガラス (2 mm Pb 相当) 使用

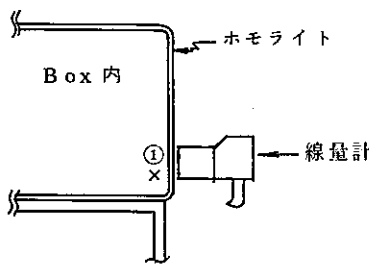
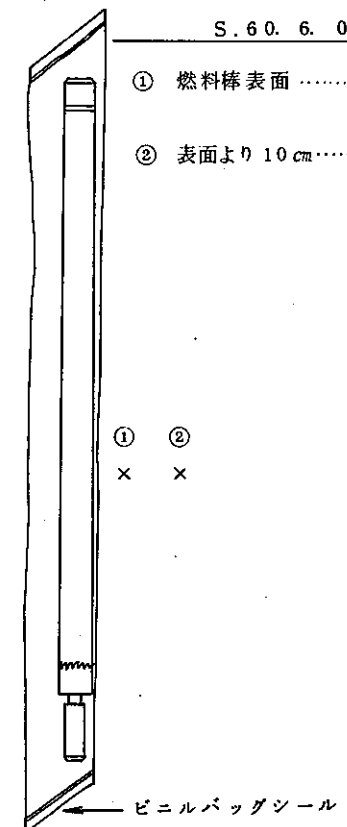
S. 60. 6. 07

	カプセル (燃料棒入)	カプセルのみ	燃料棒のみ
① パネル部へ密着	40 mR/Hr	10 mR/Hr	150 mR/Hr
② Box 床部密着	120	24	300



鉛ガラス未使用

	燃料棒のみ
① パネル部へ密着	280 mR/Hr



付表 7 (1) 各測定点に於ける放射線量率

試験番号 : 702-10

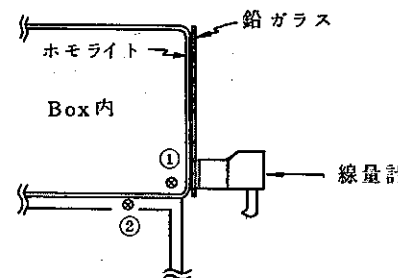
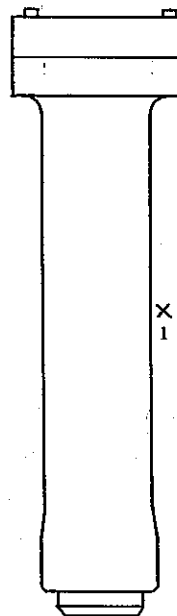
測定年月日 S. 60. 3. 04

1. インナーカプセル表面 150 mR/Hr

鉛ガラス (2 mm Pb 相当) 使用

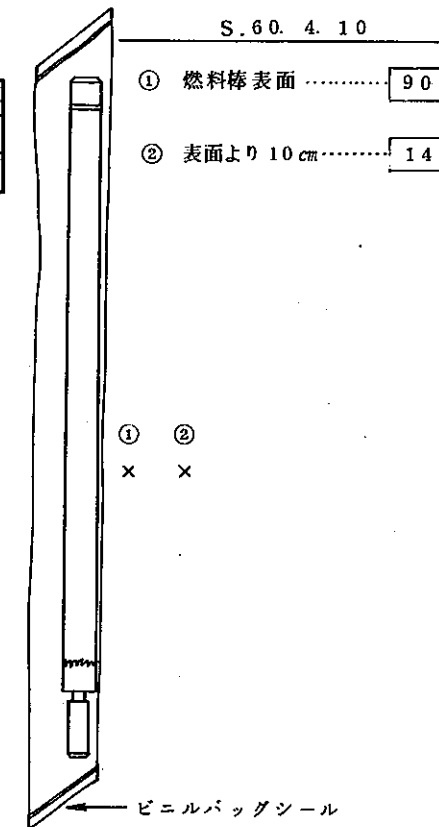
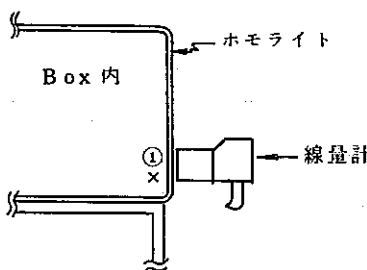
S. 60. 3. 05

	カプセル (燃料棒入)	カプセルのみ	燃料棒のみ
① パネル部へ密着	40 mR/Hr	5.8 mR/Hr	75 mR/Hr
② Box 床部密着	—	10	190



鉛ガラス未使用

	燃料棒のみ
① パネル部へ密着	220 mR/Hr



① 燃料棒表面	90
② 表面より 10 cm	14

付表 7(1) 各測定点に於ける放射線量率

試験番号: 702-11

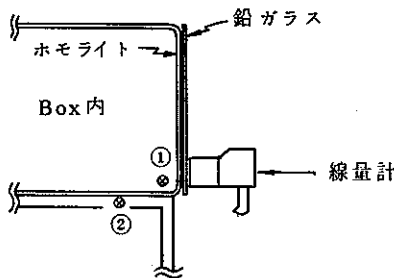
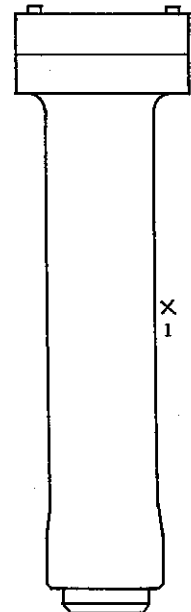
測定年月日 S 60. 5. 23

1. インナーカブセル表面 160 mR/Hr

鉛ガラス (2 mm Pb相当) 使用

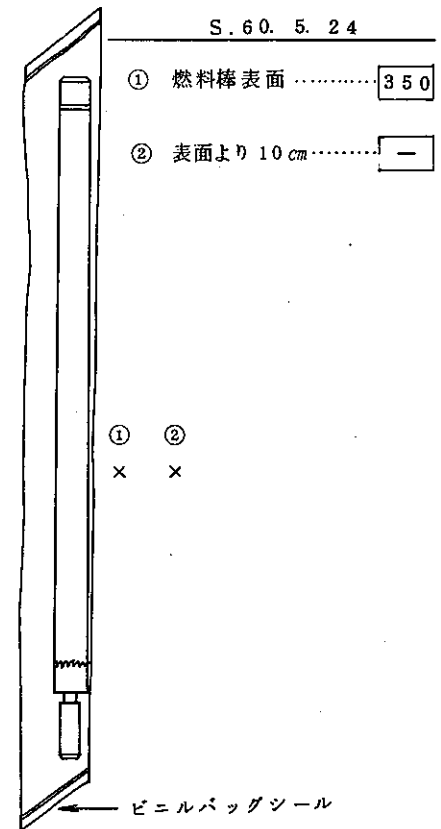
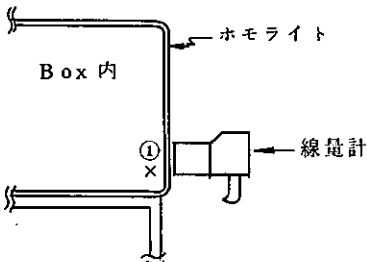
S . 60. 5. 24

	カブセル (燃料棒入)	カブセルのみ	燃料棒のみ
① パネル部へ密着	40 mR/Hr	7.4 mR/Hr	94 mR/Hr
② Box 床部密着	100	18	300



鉛ガラス未使用

	燃料棒のみ
① パネル部へ密着	300 mR/Hr



① 燃料棒表面	350
② 表面より 10 cm	—

付表 7(2) 各測定点に於ける放射線量率

試験番号: 702-12

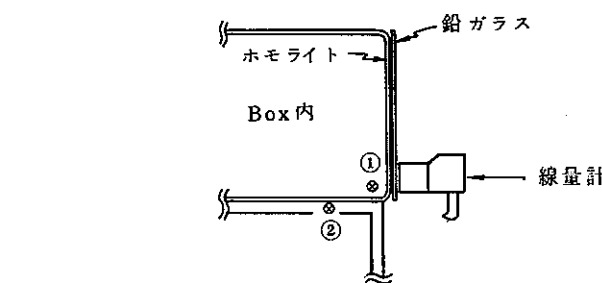
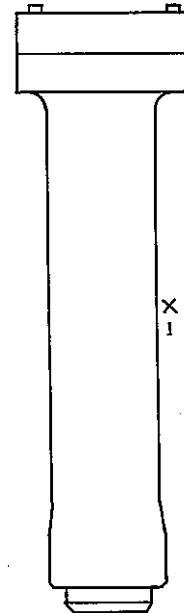
測定年月日 S 60. 10. 08

1. インナーカプセル表面 180 mR/Hr

鉛ガラス (2 mm Pb 相当) 使用

S . 60. 10. 28

	カ (燃料棒入)	カプセルのみ	燃料棒のみ
① パネル部へ密着	40 mR/Hr	10 mR/Hr	80 mR/Hr
② Box 床部密着	—	15	160



鉛ガラス未使用

	燃料棒のみ
① パネル部へ密着	200 mR/Hr

